

Instituto Tecnológico de Costa Rica
Vicerrectoría de Investigación y Extensión
Dirección de Proyectos

**Informe Final
Código del Proyecto:
5401-1510-9801**

Documento I

Búsqueda de Genes de Uña de Gato (*Uncaria tomentosa*) mediante diseño bioinformático de primers basados en los datos obtenidos por microarreglos heterólogos de *Arabidopsis thaliana*, (II parte).

**Centro de Investigación en Biotecnología
Escuela de Biología**

Enero 2013 a diciembre 2014

Contenido

Investigadores participantes:.....	3
Agradecimiento:.....	3
RESUMEN	4
INTRODUCCIÓN.....	5
Antecedentes:	5
Definición del problema.....	5
OBJETIVOS.....	6
OBJETIVO GENERAL.....	6
OBJETIVOS ESPECÍFICOS	6
REVISIÓN DE LITERATURA.....	7
Uso de genes constitutivos en análisis de expresión genética mediante RT-qPCR.....	8
Elicitación.....	10
MATERIALES Y MÉTODOS	11
RESULTADOS Y DISCUSIÓN	14
CONCLUSIONES Y RECOMENDACIONES.....	23
APORTES Y ALCANCES.....	24
BIBLIOGRAFÍA.....	25
ANEXO 1. Análisis bioinformático para la detección de genes de importancia en la producción de alcaloides oxindólicos en <i>Uncaria tomentosa</i>	27
ANEXO 2 Secuencias obtenidas a partir de muestras de ADN de <i>U. tomentosa</i> utilizando los imprimidores diseñados en el proyecto.....	37
ANEXO 3 Protocolo de extracción de alcaloides de <i>Uncaria tomentosa</i>	41
ANEXO 4 Propiedades de los alcaloides de <i>U. tomentosa</i>	42
ANEXO 5 Secuencias de posibles genes de <i>Uncaria tomentosa</i> obtenidas a partir de ARN ..	431
ANEXO 6. Otros genes y secuencias genómicas	

Búsqueda de Genes de Uña de Gato (*Uncaria tomentosa*) mediante diseño bioinformático de primers basados en los datos obtenidos por microarreglos heterólogos de *Arabidopsis thaliana*, (II parte)

Investigadores participantes:

M.Sc. Silvana Alvarenga Venutolo
M.Sc. Alejandro Hernández Soto
MBA. Karla Valerín Berrocal
Ing. David García Gómez

salvarenqa@itcr.ac.cr
alejandro.hernandez.s@gmail.com
kvalerin@itcr.ac.cr
dagarcia@itcr.ac.cr

Coordinadora

Estudiantes participantes:

Silver Ceballos Valenciano
Alddo Chaverri Juarez
Jimmy Gerardo Villalta Villalobos
Sofía Miranda Durán
Claudia Thomsen Chumpitasi
Josue Morales Chinchilla
Mariel Obando Coronado

Agradecimiento:

Agradecemos al ingeniero David García por todos sus aportes al proyecto mediante sugerencias, asesoramiento y colaboración en el trabajo de laboratorio. También al ingeniero Marcelo Solano por su trabajo en la investigación bioinformática.

Al Dr. Francisco José Torres Rojas y a MGP. Adriana Álvarez Figueroa, que en conjunto con los estudiantes Oscar Fernández, José Pablo Garbanzo y José Zheng, colaboraron con el software que facilitó el manejo y análisis de la base de datos de microarreglos. A Oswaldo Dávila Padrón que colaboró con el análisis de datos obtenidos a partir del transcriptoma.

Agradecemos a Jorge Ramírez, Lorena Chávez, José Luis Santillán y Simón Guzmán, de la unidad de Microarreglos de la Universidad Autónoma de México (UNAM) por el análisis de microarreglos.

RESUMEN

Debido a la importancia medicinal de *Uncaria tomentosa*, se han realizado varias investigaciones referentes a la producción de metabolitos secundarios de dicha planta. Con base a esto surge la necesidad de identificar a nivel genético secuencias que estuvieran relacionadas con metabolismo secundario. Gracias a un proyecto previo se contaba con mucha información que podía ser utilizada para identificar más secuencias de importancia por lo que se planteó este proyecto con el objetivo de obtener secuencias de genes de *Uncaria tomentosa* mediante diseño bioinformático de imprimadores basados en los datos obtenidos por microarreglos heterólogos de *Arabidopsis thaliana*. Para lograr los objetivos planteados, se desarrolló un software con el que se puede analizar la información obtenida mediante microarreglos de una forma más eficiente. Por otro lado, se obtuvo el transcriptoma a partir de muestras de ARN y los resultados obtenidos fueron analizados con la herramienta CLC Bio, complementando con otras como Blastx, Primer 3 y BioEdit. Con la información obtenida se diseñaron 4 pares de imprimadores para enzimas de metabolismo secundario y 2 pares de imprimidores para genes constitutivos. Con todos los imprimidores se obtuvieron amplicones que fueron secuenciados a través de la empresa Macrogen. Además, con los datos obtenidos del transcriptoma se elaboró una tabla con posibles secuencias genómicas de *U. tomentosa*, utilizando el software CLC Bio. Paralelamente se realizaron pruebas de elicitation en plantas *in vitro* y de invernadero utilizando los hongos *Trichoderma* sp y *Penicillium* sp para determinar si el estrés inducido por la presencia de estos microorganismos podría incrementar la producción de metabolitos secundarios. Se realizó una cromatografía de capa fina que parecía indicar que el estrés al que el hongo *Trichoderma* sp somete a la planta podría estimular la producción de metabolitos secundarios. Como producto de este proyecto, se cuenta con 4 posibles secuencias parciales de genes presentes en el ADN genómico de *U. tomentosa* que codifican para enzimas de metabolismo secundario así como los imprimidores respectivos para amplificarlos, además de dos pares de imprimidores para posibles genes constitutivos. Por otro lado, se facilitó el manejo de grandes bases de datos como la generada por microarreglos mediante el software E-Pathway. Se cuenta con el transcriptoma analizado y con un manual que servirá de guía para trabajar con los datos generados a partir de transcriptomas de otras especies. Además de 81 posibles secuencias genómicas de *U. tomentosa*.

Palabras clave: *Uncaria*, metabolismo secundario, imprimidores, transcriptoma.

INTRODUCCIÓN

Antecedentes:

En enero 2011, en el Centro de Investigación en Biotecnología del Instituto Tecnológico de Costa Rica, se inició una investigación enfocada a identificar secuencias genéticas de *Uncaria tomentosa* conocida comúnmente como Uña de gato. Anteriormente, se habían realizado investigaciones dirigidas a su reproducción *in vitro*, así como inducción a callogénesis y establecimiento de suspensiones celulares. Esto debido al interés por sus propiedades medicinales.

En una investigación anterior se logró obtener una base de datos de secuencias homólogas de Uña de gato con respecto al genoma de *Arabidopsis thaliana*, mediante la técnica de microarreglos. Además de dos secuencias específicas para *U. tomentosa* que corresponden a enzimas que participan en la síntesis de metabolitos secundarios. La primer secuencia identificada fue la de la enzima 3-deoxy-d-arabino-heptulosonato 7-fosfato sintasa (DAHPS) que participa en la ruta metabólica del *shikimato* donde el producto final es el *Corismato*, a partir del cual se producen fenilalanina, tirosina y triptófano que posteriormente son convertidos en metabolitos secundarios (Weaver y Herrmann, 1997). Posteriormente se identificó la secuencia de la enzima *estrictosidina sintasa* (Str 1), que, participa en la ruta de la biosíntesis de alcaloides indol-terpénicos, catalizando la síntesis de strictosidina, que es considerado precursor universal en la formación de los alcaloides indol-terpénicos. (Santos & Ramos, 2009).

Además, se estableció el protocolo de extracción de ADN y ARN. Con toda esta información generada se sentaron las bases para seguir estudiando dicha especie a nivel genético.

Definición del problema.

En la literatura se puede encontrar gran cantidad de información sobre la actividad medicinal de *Uncaria tomentosa*, enfocada sobre todo en los compuestos a los que se le atribuyen dichas propiedades y la forma en la que actúan, sin embargo, a nivel de genoma es muy limitada la información existente.

Mediante estudios genéticos es posible identificar secuencias de interés, que estén relacionadas con características deseables de la planta, por ejemplo, resistencia a

enfermedades, sequías e incluso el potencial para una alta producción de oxi-indol-alcaloides, compuestos que se han analizado como posibles responsables del poder medicinal de la Uña de gato.

El Centro de Investigación en Biotecnología, ha venido trabajando con *U. tomentosa* durante varios años para su reproducción y obtención de metabolitos secundarios. Sin embargo, hasta hace 4 años se tomó la iniciativa de complementar todo este conocimiento generado con estudios genéticos que permitieran generar información no existente en la literatura que podría ser utilizada para potencializar el aprovechamiento de esta especie.

La carencia de información y de investigaciones sobre el genoma de *U. tomentosa*, motivaron el planteamiento de un proyecto inicial en esta área (2011-2012). La información generada debe ser utilizada para avanzar en esta línea con el objetivo de que a futuro los resultados obtenidos puedan ser utilizados para la identificación y/o desarrollo de materiales con características deseables.

OBJETIVOS

OBJETIVO GENERAL

- Obtener genes de *Uncaria tomentosa* mediante diseño bioinformático de primers basados en los datos obtenidos por microarreglos heterólogos de *Arabidopsis thaliana*.

OBJETIVOS ESPECÍFICOS

- Obtener imprimadores específicos para *U. tomentosa* mediante bioinformática usando los datos generados a partir de microarreglos para secuenciar parte de su genoma.
- Determinar si existe co-relación entre la presencia o ausencia de las secuencias obtenidas, con una alta o baja producción de metabolitos, mediante comparaciones genotípicas entre individuos identificados como altamente productores de aquellos que no lo son.

- Lograr la caracterización de las secuencias obtenidas mediante microarreglos utilizando diferentes herramientas informáticas disponibles en la web para facilitar el manejo de la información y poder relacionar las secuencias con las diferentes bases de datos libres como la del NCBI.
- Obtener el transcriptoma de ARNm extraído de individuos sometidos a elicitation, para inducir la activación de genes involucrados en la producción de metabolitos secundarios.

REVISIÓN DE LITERATURA

U. tomentosa conocida por su nombre común como Uña de gato, es una planta originaria del Perú, que sintetiza oxindol-alcaloides como parte de su metabolismo secundario, estos compuestos se han estudiado como responsables de las propiedades medicinales de la misma, entre las que se mencionan: actividad antileucémica, inmunoestimulante y anticancerígena (Laus *et al.*, 1997; Keplinger *et al.*, 1999; Laus, 2004; Winkler *et al.*, 2004)

En la formulación de productos naturales de uso medicinal el aspecto más importante que se debe considerar es el contenido de sustancias químicas con actividad biológica representada por los metabolitos secundarios, entre los que se encuentran alcaloides, glicósidos, taninos, esencias y resinas. Todos estos componentes (excepto las resinas), se encuentran almacenados en el interior de la célula vegetal, encerrados en vacuolas especializadas ubicadas en cualquier parte de la planta. Así se tiene que los alcaloides pueden concentrarse en hoja, corteza, tallo, raíz, etc.; su presencia depende del metabolismo de la planta y éste es variable de una especie vegetal a otra, e inclusive, de una variedad a otra (Domínguez, 2010)

La producción de metabolitos secundarios normalmente es baja (menos de 1% de peso seco) y depende en gran medida del estado fisiológico y de desarrollo de la planta (Namdeo, 2007). Los compuestos secundarios tienen una implicación ecológica como defensa contra herbívoros, virus, hongos, bacterias, como sustancias alelopáticas, fitoalexinas o disuasorios nutritivos (Bourgaud *et al.*, 2001 citado por Pérez-Alonso, 2011). Otros tienen una función fisiológica, por ejemplo, las pectinas que pueden servir para el transporte de nitrógeno tóxico y compuestos de almacenamiento, mientras los compuestos fenólicos como los flavonoides realizan una función

como protectores de rayos ultravioletas (Wink, 2007 citado por Pérez-Alonso, 2011). Además, son una fuente importante de principios activos de medicamentos y de valiosos productos químicos.

Las vías de síntesis de metabolitos secundarios involucra la participación de muchas enzimas que intervienen en la síntesis de un compuesto a partir de otro, la expresión de los genes que codifican para estas enzimas depende en gran parte del ambiente y condiciones de estrés en las que se encuentre la planta. Con el empleo de diferentes técnicas como son: cromatografía, electroforesis de proteínas, Reacción en cadena de la polimesa (PCR), secuenciación de genes y de transcriptomas, se ha logrado identificar muchas de las enzimas que participan en estos procesos metabólicos.

Uso de genes constitutivos en análisis de expresión genética mediante RT-qPCR.

La transcriptómica se refiere al estudio del transcriptoma. El transcriptoma es el conjunto de ARN mensajeros presentes en una célula, tejido u organismo. El transcriptoma muestra qué genes se están expresando en un momento dado, es decir, va a variar dependiendo de las condiciones de la planta y su interacción con el entorno.

Como complemento en estudios de transcriptoma se cuenta con la herramienta de PCR Tiempo Real. La combinación de la transcripción reversa y el PCR tiempo Real (RT-qPCR) es el método más usado para caracterizar o confirmar patrones de expresión de genes y comparar los niveles de ARNm en diferentes muestras (Bustin, 2002). El RT-qPCR combina tres pasos: la transcripción reversa (RT) en la que se sintetiza ADNc a partir del ARN, el segundo paso es la amplificación del ADNc utilizando la técnica de PCR y el tercer paso implica la detección y cuantificación de los productos de amplificación utilizando un PCR-Tiempo Real (Nolan, 2006). Esta técnica es usada en estudios de expresión incluyendo estudios de splicing alternativo, verificación de los resultados de microarreglos, y para diagnóstico molecular (Brunner, 2004).

La técnica de PCR en tiempo real (qPCR) utiliza colorantes fluorescentes que funcionan como indicadores durante la reacción de PCR detectando la amplificación en el momento en que ocurre. El ensayo se basa en la medición del aumento de la señal fluorescente, que es proporcional a la cantidad de ADN producido durante cada ciclo de PCR. Además, el uso de sondas marcadas con diferentes colorantes permite la detección y cuantificación de varios

genes de interés, todo en un mismo tubo de reacción (multiplex). Durante la reacción de PCR, llega un punto en el que la fluorescencia se eleva por encima de un punto definido o patrón, este punto se conoce como el ciclo umbral o Ct (Threshold Cycle) o punto de cruce o Cp (Crossing point). Cuanto más ADN de interés hay en la muestra, menor será el Ct. Esta correlación entre la fluorescencia y la cantidad de producto amplificado es lo que permite la cuantificación, siendo más sensible y específico que el PCR convencional de punto final (Nolan, 2006).

A pesar de ser una técnica muy utilizada, se pueden obtener resultados contradictorios si no se hace un buen trabajo de normalización, ya que, las variaciones en las cantidades de muestra inicial pueden afectar la cuantificación. Debido a esto es que la expresión de los genes que se están investigando se describen en términos de proporción (ratio) de los niveles de ARNm de interés con respecto al nivel de ARNm de un gen de referencia, este gen se expresa de forma estable y su abundancia está fuertemente correlacionada con las cantidades totales de mRNA presente en cada muestra (Gutierrez *et al*, 2008) Este gen se conoce como gen constitutivo o *Housekeeping gen* (HK), el cual está relacionado con funciones vitales de la planta por lo que se espera que se exprese siempre, independientemente de las condiciones.

La expresión del gen de referencia debe permanecer constante entre las células de los diferentes tejidos y en diferentes condiciones experimentales; de lo contrario, puede dar lugar a resultados erróneos. Los genes comúnmente utilizados han sido: 18S rRNA, la ubiquitina (UBQ), actina (ACT), b-tubulina (TUB), y la gliceraldehído-3-fosfato deshidrogenasa (GAPDH), que por estar involucrados en procesos celulares básicos funcionan como controles internos para el análisis de la expresión génica, ya que se supone que tiene una expresión uniforme. Sin embargo, se ha reportado que los niveles de expresión de estos genes varían considerablemente bajo diferentes condiciones experimentales, por lo que también es importante evaluar la expresión del gen de referencia bajo condiciones específicas (Jain *et al*, 2006)

Al utilizar la técnica de RT-qPCR se puede determinar la expresión del gen de interés esto debido a que si se trabaja con ADN genómico se estaría amplificando todo aún si los genes no se activan, mientras que al trabajar con el ARN, se está identificando únicamente lo que se expresó. Hay que tomar en cuenta que esto está muy relacionado con el ambiente por lo que

diferentes condiciones ambientales pueden inducir que un gen se exprese o no. Es importante complementar estos estudios con análisis de proteínas para completar y validar el proceso.

Elicitación.

Un elicitor es una sustancia que cuando es introducido en pequeñas cantidades en un organismo vivo, induce la producción o mejora la biosíntesis de compuestos específicos, por lo que con la elicitation se pretende producir o incrementar la producción de metabolitos al introducir trazas de elicidores.

Los elicidores en plantas desencadenan respuestas fisiológicas y morfológicas y la acumulación de fitoalexinas. Estos pueden ser de tipo abióticos tales como iones metálicos y compuestos inorgánicos o elicidores bióticos por ejemplo hongos, bacterias, herbívoros, fragmentos de la pared celular vegetal, así como sustancias químicas que se liberan en el lugar de la planta donde hubo lesión por patógenos o herbívoros. Se sabe que el tratamiento con elicidores en plantas desencadena una serie de mecanismos de defensa que incluyen la producción y acumulación de metabolitos secundarios tanto en plantas completas como en cultivos celulares (Namdeo, 2007)

Se ha visto que la presencia de metales pesados induce el estrés oxidativo en cultivos celulares favoreciendo la producción de metabolitos secundarios antioxidantes y sobre todo alcaloides. En una prueba en la que se agregó Ag+1, Pb+2 y Butionina sufoximina (BSO) se obtuvo un incremento en la producción de flavonoides en cultivos celulares de *U. tomentosa*, y al usar dichos elicidores de forma individual, se favoreció la producción de alcaloides de tipo indólicos y oxi-indólicos. (Trujillo *et al*, S.F.)

MATERIALES Y MÉTODOS

Análisis de transcriptoma a partir de ARN total y obtención de imprimadores.

Se realizó un análisis de la información obtenida en una investigación previa basado en microarreglos de ADN de *U. tomentosa*. Esta información se complementó con datos reportados en la literatura así como en bases de datos en la web. Se hizo una selección de genes conocidos como **constitutivos**, que son aquellos genes que se expresan siempre, ya que son indispensables para las funciones normales de los seres vivos. El objetivo de localizar estos genes dentro del genoma de *U. tomentosa*, es poder utilizarlos en la validación de pruebas de PCR y qPCR. Si a la hora de realizar el análisis se logra obtener una amplificación de estos genes, se tiene mayor certeza de que la prueba funcionó adecuadamente.

Además se utilizó la información obtenida con el análisis del transcriptoma para obtener imprimadores que tuvieran mayor probabilidad de amplificar en el genoma de *U. tomentosa*. Inicialmente, se utilizó el software CLC Bio de QIAGEN para analizar el transcriptoma, posteriormente se hizo una comparación utilizando el algoritmo megablast del NCBI (National Center for Biotechnology Information) de todas las secuencias obtenidas contra la base de datos de secuencias nucleótidas (Nucleotide collection nr/nt) del reino *Viridiplantae*, específicamente, esto con el fin de encontrar homologías e identificar proteínas de interés.

El archivo obtenido con el transcriptoma se transformó en un documento FASTA mediante el software BioEdit, ya que los archivos FASTA son capaces de ser abiertos por el algoritmo de BLAST. Luego se exportó usando una extensión XML, para poder visualizar los alineamientos realizados de una forma amigable. De esta forma se pudo visualizar un cuadro con resultados que incluían: “E-value”, “Ident”, “Accession” y “Max score”. Esta información fue exportada a Excel, donde se pudo filtrar para hacer el análisis respectivo y seleccionar secuencias de interés.

El archivo FASTA debió ser fragmentado en sub-archivos con un rango de secuencias menor a 7000 bp, esto para poder ser manejado mediante los softwares disponibles. Se utilizó el algoritmo blastx para realizar el análisis de las secuencias comparándolas con *Catharanthus roseus*, *Mitragyna speciosa* y *Cinchona sp*, también productoras de oxindolalcaloides.

Debido a que se desconoce la distancia evolutiva entre *Uncaria tomentosa* y las plantas anteriormente mencionadas, se utilizó la matriz de sustitución BLOSUM 50 en lugar de BLOSUM 62 ya que es menos rigurosa y parte de una mayor distancia entre las especies, por ende, acepta un mayor número de mutaciones.

Se seleccionaron las enzimas discriminando por longitud de alineamiento, tomando en cuenta aquellos alineamientos mayores a 250 aminoácidos, lo que equivale a alineamientos mayores a 750 nucleótidos. Las secuencias seleccionadas se analizaron con el software CLC Bio, para determinar homologías con las enzimas de las especies anteriormente mencionadas. Las secuencias homólogas se convirtieron a formato FASTA y se analizaron nuevamente con blastx, se seleccionaron solamente los segmentos donde hubo alineamiento para diseñar los imprimadores. Los imprimidores fueron diseñados utilizando el programa **Primer 3**. En el anexo 1 se describe en forma detallada el procedimiento utilizado para el análisis del transcriptoma. Este manual servirá para futuras investigaciones en este campo.

Con base en la información descrita en la literatura sobre el metabolismo de *Catharanthus roseus*, se consideraron cuatro enzimas de principal importancia que podrían generar interés para futuras investigaciones en *U. tomentosa*, incluyendo cuantificación por RT-PCR (PCR tiempo real). Estas son: **strictosidina sintasa, strictosidina β-glucosidasa, triptófano descarboxilasa y geraniol-10-hidroxilasa**. Además, se seleccionaron secuencias de genes constitutivos, ya que estos son necesarios para validar cualquier análisis que se haga en PCR tiempo real. Los imprimidores diseñados son específicos para las siguientes enzimas: **Factor de Remoción de Cromatina** (CRF: Cromatine Removal Factor) y un **Factor de Conjugación de Ubiquitina** (UCF: Ubiquitin Conjugation Factor)

Posteriormente se procedió a hacer una amplificación de ADN utilizando los imprimidores diseñados. El protocolo de amplificación se detalla en el cuadro 1. Se realizó una electroforesis en gel de agarosa al 1%. Las bandas fueron purificadas a partir del gel utilizando en kit de purificación QIAquick PCR® de Qiagen, estas muestras fueron enviadas a secuenciar con la empresa Macrogen en Korea. Las secuencias obtenidas fueron analizadas mediante Megablast y comparadas con las bases de datos del NCBI.

Cuadro 1. Protocolo de PCR utilizado para amplificar posibles enzimas de interés en ADN de *U. tomentosa*.

Reactivos	Volumen
Go Taq Buffer	10 ul
dNTP's	1 ul
Primer mix (10 uM)	2 ul (0,2uM con final)
Poly Taq	0,25 ul
ADN	100 ng
Agua	Hasta completar 50 ul de reacción

Base de datos de Microarreglos.

Para el manejo de la base de datos obtenida mediante microarreglos se trabajó en conjunto con estudiantes de la carrera de ingeniería en computación, los cuales desarrollaron un software que permite el manejo amigable de dicha información, este software estaba siendo desarrollado para otro proyecto de investigación denominado “Identificación de factores de transcripción putativos en *Stevia rebaudiana* y *Tagetes patula* como herramienta para posterior uso en la descripción de las rutas metabólicas de interés”, el cual está enfocado en la línea de la bioinformática, por lo que se les solicitó a los estudiantes que parte de este programa se enfocara en el manejo de la base de datos de microarreglos y poder relacionarla con la información y las herramientas disponibles en la Web.

Elicitación en individuos de *U. tomentosa*.

Se tomaron plantas de invernadero de *U. tomentosa*, las cuales fueron sometidas a elicitation, inoculándolas con los hongos *Trichoderma* sp y *Penicillium* sp. con el fin de inducir “estrés” en la planta, para activar los mecanismos de defensa y un eventual incremento en la producción de oxi-indol-alcaloides.

Los hongos se crecieron en medio PDB, luego de tres días de incubación se inoculó la planta con 100 ml de medio líquido, que se agregó al follaje. Se mantuvieron en invernadero durante cuatro días y posteriormente se realizó una cromatografía de capa fina (TLC) de las plantas inoculadas y de plantas control. La metodología empleada para hacer la prueba TLC se describe en el Anexo 3.

RESULTADOS Y DISCUSIÓN

Análisis de transcriptoma y obtención de imprimadores.

Trabajar a nivel de transcriptoma presenta la ventaja de que el ARNm incluye solamente las regiones codificantes para proteínas, es decir, está libre de intrones, mientras que si se trabaja a nivel de ADN, se estaría obteniendo tanto exones como intrones, es decir, se tendrían muchas secuencias que no codifican para ninguna proteína. El realizar inicialmente una comparación de ARNm contra una base de datos de ácidos nucleicos podría generar resultados aleatorios, sin embargo, se decidió hacer un análisis inicial de este tipo para identificar posibles proteínas de interés que pudieran estar presentes en el genoma de *U. tomentosa*. Esto serviría como una vista previa de la cual partir para realizar una investigación más profunda. En el Cuadro 2A del Anexo 5, se presenta una lista de 68 secuencias obtenidas a partir de la comparación del ARN de Uña de gato contra la base de datos de secuencias nucleótidas (Nucleotide collection nr/nt) del reino *Viridiplantae*. Se resaltan con amarillo dos secuencias que podrían ser de interés. Además, en el Anexo 6, se presenta una lista adicional de 13 secuencias.

Posteriormente, se decidió cambiar las secuencias obtenidas a partir del transcriptoma a formato FASTA, para facilitar su análisis con las herramientas libres disponibles en la Web y de esta forma hacer el análisis utilizando el algoritmo Blastx para comparar estas secuencias contra una base de datos de proteínas, ya que este algoritmo traduce secuencias de ácidos nucleicos a secuencias de aminoácidos para luego hacer comparaciones proteína-proteína. Esto debido a que las proteínas son las unidades funcionales de procesos celulares, además, se presenta mayor conservación a nivel de aminoácidos que de ácidos nucleicos y los genes pueden acumular mutaciones a través del tiempo que no necesariamente implican una variación en la función de la proteína.

Posteriormente se hizo el análisis, seleccionando solamente tres especies: *Catharanthus roseus*, *Mitragyna speciosa* y *Cinchona* sp., esto debido a que, de acuerdo a la literatura, también son productoras de alcaloides oxindólicos. Se parte de la premisa que debe existir cierto nivel de homología entre las enzimas metabólicas de estas plantas y *Uncaria tomentosa*, ya que los sustratos comparten similitud estructural. Además, los alcaloides de estas plantas comparten dos rutas metabólicas de interés, la del (i) ácido shikímico y la del (ii) triptófano (De

Luka y Benoit, 2000) (Matsuura et al, 2013). Comparar el transcriptoma de *Uncaria tomentosa* con estas tres plantas es una búsqueda más concentrada y específica.

Las rutas metabólicas y celulares para la biosíntesis de alcaloides han sido esclarecidas en *Catharanthus roseus*, mas no en *Uncaria tomentosa*. A pesar que los alcaloides de estas especies difieren en su estructura final, la biosíntesis inicial de precursores es la misma (Anh Tran , 2008), (Ramani et al. 2013).

Con base en análisis realizado a partir del transcriptoma en conjunto con la información disponible en las bases de datos referente a las enzimas anteriormente mencionadas se lograron diseñar los siguientes imprimadores:

Cuadro 2. Descripción de los imprimadores diseñados para amplificar los genes que codifican para las enzimas: G10H, TDC, STR y SGD.

Nombre del imprimador	Possible enzima	Secuencia	*Tm °C	%GC*	Tamaño esperado del producto
SS-F	Strictosidina Sintasa	TTTGAAACCACGCTTATGCC	56.7	47.40	712 bp
SS-R	Strictosidina Sintasa	GTGAATTTGCTCAAGATGTCG	56.8	40.90	
SG-F	Strictosidina-β-glucosidasa	GGTCGAGGCCAAGTATATG	57.7	55.00	654 bp
SG-R	Strictosidina-β-glucosidasa	CTGCTGAAAGTATTCTCGGTATAG	56.9	41.70	
TDC-F	Triptófano descarboxilasa	TGTACCATTAAAGCCACTTGATCC	59.2	41.70	1459 bp
TDC-R	Triptófano descarboxilasa	ATTCTCTTAATCACAGCGTCAGC	59.9	41.70	
1_G10H-F	Geraniol-10-hidroxilasa	CATCGTGCTAGGTTGATATTG	57.9	43.50	1424 bp
1_G10H-R	Geraniol-10-hidroxilasa	ATGTAATGCCAAACTTCTCCTCC	58.9	43.50	

*Tm: Temperatura melting.

%GC: Porcentaje de Guaninas y Citocinas

La enzima **geraniol-10-hidroxilasa (G10H)** transforma el geraniol en 10-hidroxigeraniol a partir del cual se sintetiza la secologanina, mientras que la enzima **triptófano descarboxilasa (TDC)** sintetiza triptamina a partir del aminoácido triptófano. La enzima **strictosidina sintasa (STR)** cataliza la unión de estos dos compuestos (triptamina y secologanina) para formar strictosidina. La eliminación de la glucosa que posee la strictosidina es catalizada por la enzima **strictosidine-β-glucosidasa (SGD)**. El producto resultante al eliminar la glucosa, es una

dialdehido altamente reactivo a partir del cual y dependiendo de las condiciones (como pH, solventes, etc) pueden formarse diferentes tipos de oxi-indol-alcaloides (Figura 1), por ejemplo, bajo condiciones de incubación ligeramente ácidas, el producto principal en *C. roseus* es cathenamina. (Geerlings *et al.*, 2000)

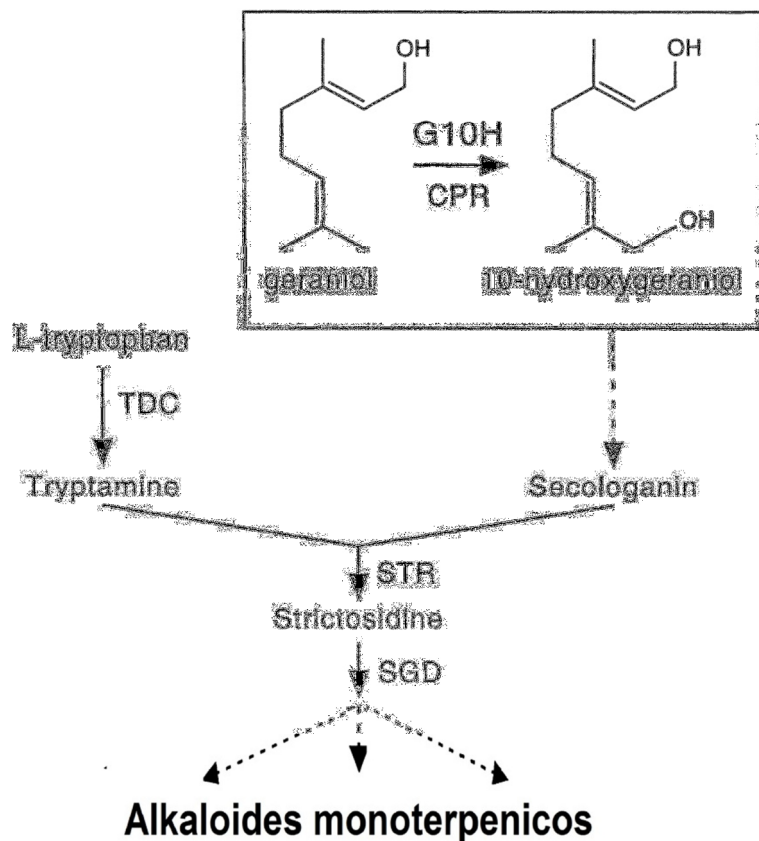


Figura 1. Esquema de la biosíntesis de Alcaloides monoterpénicos. Las flechas punteadas indican múltiples reacciones enzimáticas. (Tomado de: Collu *et al.*, 2001)

En el cuadro 3 se describen los imprimadores diseñados para los genes constitutivos (HK), los cuales se expresan en todo momento, independientemente de las condiciones a las que se someta la planta esto debido a que son indispensables para los procesos vitales de la misma. Un gen de referencia debe ser considerado como válido únicamente cuando se utiliza bajo las mismas condiciones que el gen que se está estudiando (Dheda *et al.*, 2005). Por lo general, se asume que los genes HK que codifican para proteínas necesarias para actividades básicas,

tales como: traducción de proteínas o mantenimiento del citoesqueleto, se expresan de manera uniforme en los diferentes tejidos y órganos. Sin embargo, se ha encontrado que la expresión de estos genes, aunque es constante en algunas condiciones experimentales, varía considerablemente en otros casos (Gutierrez *et al.*, 2008).

Cuadro 3. Descripción de los imprimadores diseñados para amplificar los genes que codifican para las enzimas: Factor de Conjugación de Ubiquitina y Factor de Remoción de Cromatina

Nombre del imprimador	Possible enzima	Secuencia	Tm °C	%GC	Tamaño esperado del producto
UCF-F	Factor de Conjugación de Ubiquitina	TTCTATGACAAGTTAACATCCGCC	59.8	40.00	128 bp
UCF-R	Factor de Conjugación de Ubiquitina	AAGTTCAAATAAACGCCCTTCTCC	60.0	41.70	
CRF-F	Factor de Remoción de Cromatina	CTTCTTGAGGGCAAACCTTCTC	60.4	45.80	111 bp
CRF-R	Factor de Remodelación de Cromatina	TCTGGTGAGAATGATCAACAGGAG	60.3	45.80	

Un **factor de conjugación de Ubiquitina (UCF)** es una del conjunto de enzimas que intervienen en la ubiquitinación de las proteínas que van a ser degradadas. La ubiquitinación se define como la marcación selectiva de proteínas blanco o sustrato con moléculas de ubiquitina (Ub). La proteína ubiquitinada es degradada por el complejo enzimático proteosoma 26S. Este proceso, que se ha encontrado en organismos eucariotas, impide la sobreacumulación de proteínas, evitando así respuestas autoinmunes en el organismo (Huang *et al.*, 2014), (Niño, 2011).

El **factor de remodelación de cromatina (CRF)**, es una enzima que forma parte de un complejo enzimático dependiente de ATP, que se encargan de desempaquetar el ADN reestructurando el nucleosoma (que es la unidad de repetición primaria de la estructura de la cromatina). Los remodeladores de cromatina controlan el embalaje y desembalaje de modo que se ejecuten correctamente diversos procesos, tales como la transcripción de genes, la replicación, la reparación, y la recombinación. (Clapier y Cairns, 2009)

Al realizar la amplificación mediante la técnica de PCR utilizando los imprimadores diseñados se obtuvo bandas de buena intensidad, (Figura 2) esto permitió hacer una purificación a partir del gel, para poder secuenciarlas. Las secuencias obtenidas se presentan en el Anexo 2. Luego de realizar un Megablast, se determinó que había una alta similitud entre las secuencias obtenidas a partir del genoma de *U. tomentosa* y las secuencias reportadas en el NCBI. (Figura 3)

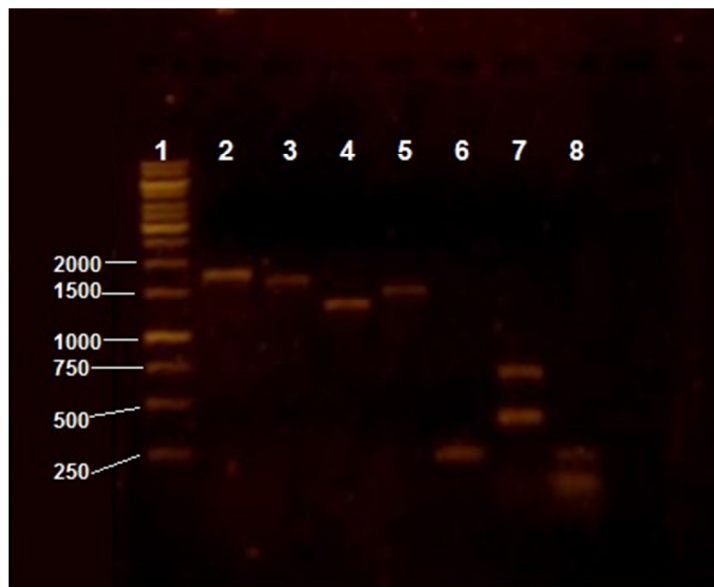


Figura 2. Amplificación de muestras de ADN de *U. tomentosa*, utilizando los imprimadores diseñados a partir del transcriptoma y la información obtenida mediante microarreglos. **1.** Marcador de peso molecular 1Kb de fermentas. **2.** Amplicón obtenido a partir de imprimadores G10H. **3.** Amplicón obtenido a partir de imprimidores SS. **4.** Amplicón obtenido a partir de imprimidores SG. **5.** Amplicón obtenido a partir de imprimidores TDC. **6.** Amplicón obtenido a partir de imprimidores UCF. **7.** Amplicones obtenidos a partir de imprimidores CRF, en este caso se obtuvieron 2 bandas, ambas fueron purificadas y secuenciadas. **8.** Marcador de bajo peso molecular de Fermentas.

Sequences producing significant alignments:

	Description	Max score	Total score	Query cover	E value	Ident	Accession
<input type="checkbox"/>	Mitragyna speciosa tryptophan decarboxylase (Tdc) mRNA, complete cds	1334	1334	86%	0.0	89%	JN643922.1
	Description	Max score	Total score	Query cover	E value	Ident	Accession
<input type="checkbox"/>	Cinchona calisaya geraniol 10-hydroxylase-like protein mRNA, complete cds	881	881	63%	0.0	86%	KF415104.1
<input type="checkbox"/>	Ophiorrhiza pumila G10H mRNA for geraniol 10-hydroxylase, complete cds	760	760	62%	0.0	84%	LC010422.1
<input type="checkbox"/>	Mitragyna speciosa geraniol 10-hydroxylase (G10H) mRNA, partial cds	246	246	18%	6e-61	85%	JF412818.1
	Description	Max score	Total score	Query cover	E value	Ident	Accession
<input type="checkbox"/>	Cinchona calisaya geraniol 10-hydroxylase-like protein mRNA, complete cds	701	701	39%	0.0	91%	KF415104.1
<input type="checkbox"/>	Ophiorrhiza pumila G10H mRNA for geraniol 10-hydroxylase, complete cds	588	735	55%	9e-164	88%	LC010422.1
<input type="checkbox"/>	Catharanthus roseus geraniol 10-hydroxylase (G10H) mRNA, complete cds	381	381	39%	2e-101	80%	KF561461.1
	Description	Max score	Total score	Query cover	E value	Ident	Accession
<input type="checkbox"/>	PREDICTED: Glycine max probable ubiquitin conjugation factor E4-like (LOC100811444), mRNA	117	117	50%	6e-23	90%	XM_003554669.2
<input type="checkbox"/>	PREDICTED: Fragaria vesca subsp. vesca probable ubiquitin conjugation factor E4-like (LOC101303727), mRNA	117	117	50%	6e-23	90%	XM_004304214.1
<input type="checkbox"/>	Phaseolus vulgaris hypothetical protein (PHAVU_004G033100g) mRNA, complete cds	100	100	50%	6e-18	87%	XM_007151218.1
<input type="checkbox"/>	PREDICTED: Glycine max probable ubiquitin conjugation factor E4-like (LOC100806175), mRNA	100	100	50%	6e-18	87%	XM_003543842.2

Alignments	Download	GenBank	Graphics	Distance tree of results			
	Description	Max score	Total score	Query cover	E value	Ident	Accession
<input type="checkbox"/>	Sorghum bicolor hypothetical protein, mRNA	69.4	69.4	9%	5e-08	92%	XM_002457791.1

Figura 3. Resultados del alineamiento de las secuencias de *U. tomentosa*, realizado mediante Megablast contra las secuencias reportadas en el NCBI

Los porcentajes de identidad obtenidos fueron bastante altos, siendo 89% para la enzima Triptofano descarboxilasa (TDC) con respecto a la secuencia reportada para *Mitragyna speciosa*. En el caso de Geraniol-10-hidroxilasa (G10H), se obtuvo un porcentaje de identidad de 91% en una secuencia y 86% en otra, ambas comparadas contra *Cinchona calisaya*; para esta misma enzima se obtuvo 85% al comparar con *Mitragyna speciosa* y 80% con *Catharanthus roseus*. Con factor de conjugación de Ubiquitina (UCF) el porcentaje mayor obtenido fue de 90% en *Glycine max*, y para el caso del Factor de remodelación de cromatina (CRF), una helicasa del ARN, se obtuvo un porcentaje de identidad de 92% con una secuencia reportada como proteína de ARNm en *Sorghum bicolor*, a esta última secuencia de *S. bicolor*, se le realizó un megablast para obtener más información y se obtuvo un porcentaje de 95% de identidad con una secuencia de *Zea mays* reportada como probable factor de remodelación de cromatina.

Caracterización de secuencias y análisis de transcriptoma de ARN total.

Se logró desarrollar un software que facilita el manejo de la base de datos que contiene los resultados de los microarreglos, ya que, este programa los presenta de una forma más amigable y a su vez los relaciona con la información disponible en la WEB, permitiendo además almacenar información como imprimadores diseñados, además de que está conectado en forma directa a herramientas como Primer 3, Blast (NCBI) y KEGG para rutas metabólicas.

El link para ingresar a este programa es: www.ic-itcr.ac.cr/ePathway. (Figura 4 y 5)

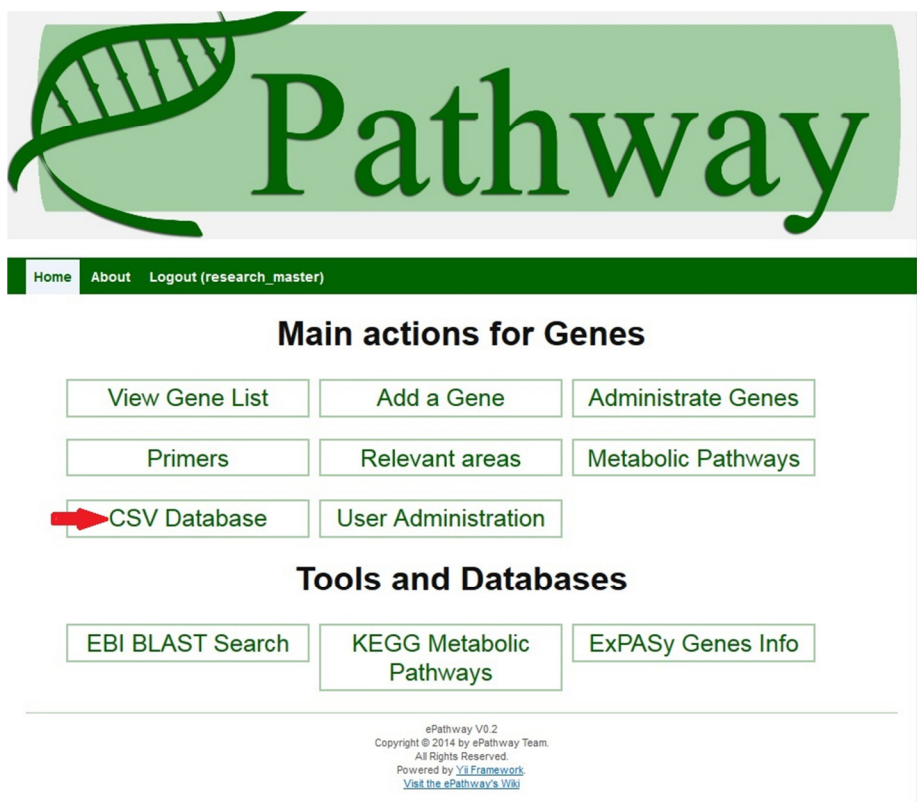


Figura 4. Pantalla de inicio del programa e-Pathway, el cual tiene una parte destinada al manejo de datos generados por microarreglos. (Señalado con flecha roja)

ID	Gene Name	Species	COG_ONTOLOGY	GOTERM_BP_FAT
At4g16740	(E)-beta-ocimene synthase, chloroplastic	Arabidopsis thaliana		GO:0006720-isoprenoid metabolic process, GO:0006721-terpenoid metabolic process, GO:0008299-isoprenoid biosynthetic process, GO:0008810-lipid biosynthetic process, GO:0009611-response to wounding, GO:0016098-monoterpeneoid metabolic process, GO:0016099-monoterpeneoid biosynthetic process, GO:0016114-terpenoid biosynthetic process, GO:0019748-secondary metabolic process,
At1g48130	1-Cys peroxiredoxin PER1	Arabidopsis thaliana	Posttranslational modification, protein turnover, chaperones,	GO:0003006-reproductive developmental process, GO:0009269-response to desiccation, GO:0009414-response to water deprivation, GO:0009415-response to water, GO:0009628-response to abiotic stimulus, GO:0009719-response to endogenous stimulus, GO:0009725-response to hormone stimulus, GO:0009737-response to abscisic acid stimulus, GO:0009791-post-embryonic development, GO:0010033-response to organic substance, GO:0010154-fruit development, GO:0010162-seed dormancy, GO:0010231-maintenance of seed dormancy, GO:0010431-seed maturation, GO:0019725-cellular homeostasis, GO:0022611-dormancy

Figura 5. Visualización parcial de la base de datos de microarreglos de *U. tomentosa*, basada en el genoma de *Arabidopsis thaliana*.

Este programa permite introducir la información que se encuentra en la base de datos de microarreglos y utilizando los números de accesión, realizar los análisis correspondientes de forma más eficiente. De esta forma se puede obtener la secuencia del gen, a su vez diseñar imprimadores ya que se encuentra ligada con la herramienta Primer 3, además de correlacionar con la ruta metabólica a la que pertenece, esto mediante el botón KEGG Metabolic Pathway.

Se cuenta con un manual de usuario en el que se explica paso a paso el uso de esta herramienta bioinformática, el cual puede ser visualizado ingresando al link: http://epathway.wikia.com/wiki/Epathway_Wiki

Elicitación en individuos de *U. tomentosa*.

Al realizar la prueba TLC a las plantas *in vitro*, no se logró obtener bandas definidas que pudieran ser medidas. Se cree que esto se debe a que la concentración de alcaloides producida a nivel *in vitro* es muy baja, por lo que la prueba no las puede detectar, para solventar este problema sería conveniente realizar el análisis utilizando la técnica de HPLC, con la cual se pueden medir concentraciones más pequeñas, otra opción sería utilizar un número mayor de plantas y luego concentrarlas todas. Esta opción no fue posible, debido a que

no se contaba con suficiente material *in vitro*. Sin embargo, se realizó la misma prueba en plantas de invernadero, se logró obtener una banda en las plantas que fueron tratadas con *Trichoderma* sp, esta banda podría indicar la presencia de los compuestos de interés (Figura 6). Al calcular el Rf de la misma se obtuvo un valor de 0,50, que coincide con el Rf reportado en la literatura para el metabolito denominado Mitrafilina (presente en *U. tomentosa*) (Anexo 4, Cuadro 1A) (Lock, 1995). En las plantas tratadas con *Penicillium* sp y en las plantas control no se logró identificar ninguna banda, lo que hace suponer que *Penicillium* sp no estimula la producción de oxindolalcaloides por elicitation.

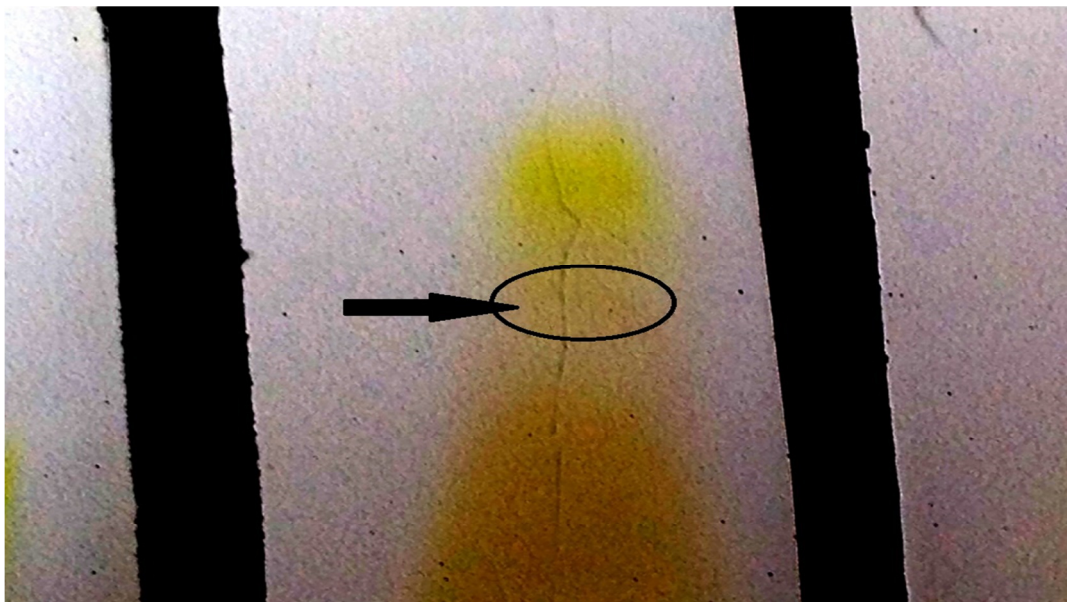


Figura 6. Prueba de TLC realizada a plantas de invernadero sometidas a elicitation. Se señala la banda obtenida en plantas tratadas con *Trichoderma*.

CONCLUSIONES

1. Existe probabilidad muy alta de que las secuencias amplificadas en el ADN de *U. tomentosa* correspondan a las enzimas Triptofano descarboxilasa, Geraniol-10-hidroxilasa, un factor de Ubiquitinación y una enzima del complejo de remodelación de cromatina.
2. Se obtuvo amplificación con los imprimadores diseñados para las enzimas anteriormente mencionadas utilizando ADN extraído de *U. tomentosa*, lo que permite tener secuencias genómicas parciales de dichas proteínas. De igual forma se obtuvo amplificación con los imprimadores diseñados para genes constitutivos (HK genes)
3. El uso del transcriptoma es una herramienta más efectiva para el diseño de imprimadores específicos y en consecuencia para la obtención de secuencias proteicas, en comparación con el uso de microarreglos.
4. Según la banda obtenida por TLC, existe probabilidad de que el hongo *Trichoderma* sp funcione como elicitor, favoreciendo la producción de metabolitos secundarios en *Uncaria tomentosa*.

RECOMENDACIONES

1. Se recomienda hacer más pruebas de elicitation sólo con *Trichoderma* sp aumentando el número de individuos para verificar su efectividad como elicitor.
2. Se recomienda hacer pruebas por Cromatografía líquida de alta eficiencia (HPLC) para cuantificar la producción de metabolitos secundarios obtenidos por elicitation.
3. CLC Bio de Qiagen, es un software necesario para facilitar el análisis de transcriptomas, por lo que se recomienda a la institución adquirir la licencia del mismo.
4. Se recomienda diseñar nuevos imprimadores específicos para hacer pruebas de PCR Tiempo Real, basados en las secuencias obtenidas a partir de los amplicones de *U. tomentosa*.
5. Una vez diseñados los imprimadores para PCR tiempo real, se recomienda hacer estandarizaciones para poder usar los imprimadores de HK en pruebas de cuantificación.

APORTES Y ALCANCES

1. Se cuenta con una metodología para análisis de transcriptoma usando las diferentes herramientas bioinformáticas.
2. Se logró diseñar cuatro pares de imprimadores para *U. tomentosa*, que amplifican posibles genes de enzimas de metabolismo secundario. Además de dos pares de imprimadores que amplifican para genes constitutivos de *U. tomentosa*.
3. Se cuenta con el software E-Pathway para el manejo más eficiente de la información obtenida mediante microarreglos.
4. Se lograron identificar secuencias correspondientes a proteínas obtenidas a través del transcriptoma de *U. tomentosa*, complementado con la información disponible en la base de datos del NCBI.
5. Toda la información descrita en este documento, sirve de base para futuras investigaciones más amplias, que den continuidad al presente proyecto y con el que se pueda llegar a hacer selección de individuos de interés o secuenciación del genoma de *U. tomentosa*.
6. El conocimiento generado se ha incorporado a la docencia no solo en los cursos que se imparten sino también en el aprendizaje de todos los estudiantes asistentes que participaron en la investigación.
7. Como producto de esta investigación, se cuenta con una tabla de 81 posibles secuencias de genes de *U. tomentosa*, además de toda la información obtenida a través del transcriptoma, a la cual se le puede sacar mucho provecho. Es importante recalcar este último punto, ya que esta investigación surgió debido a la carencia de información a nivel genético de una planta considerada como de gran importancia por sus propiedades medicinales, con toda la información obtenida en este proyecto se llena el vacío que había existido hasta ahora.

BIBLIOGRAFÍA

- Brunner, A.M., Yakovlev, I.A.& Strauss, S.H. 2004. Validating internal controls for quantitative plant gene expression studies.*BMC Plant Biology*, 4(14)1-7. doi:10.1186/1471-2229-4-14. <http://www.biomedcentral.com/1471-2229/4/14>
- Bustin , S.A. 2002. *Quantification of mRNA using real-time reverse transcription PCR (RT-PCR): trends and problems.* Journal of Molecular Endocrinology. 29: 23–39 <http://www.endocrinology.org>
- Clapier, C.R. y Cairns, B.R. 2009. The Biology of Chromatin Remodeling Complexes. Annual Review of Biochemistry. 78:273–304 doi:10.1146/annurev.biochem.77.062706.153223
- Collu, G., Unver, N., Peltenburg-Looman, A.M.G., van der Heijden, R., Verpoorte, R., Memelink, J. 2001. *Geraniol 10-hydroxylase, a cytochrome P450 enzyme involved in terpenoid indole alkaloid biosynthesis.* Federation of European Biochemical Societies. 215-220
- De Luca, V.y Benoit, S.P. 2000. The cell and developmental biology of alkaloid biosynthesis. Trends in Plants Science. 5(4):168-173
- Dheda, K., Huggett, J.F., Chang, J.F., Kim, L.U., Bustin, S.A., Johnson, M.A., Rook, G.A.W., Zumla, A. 2000. *The implications of using an inappropriate reference gene for real-time reverse transcription PCR data normalization.* Analytical Biochemistry. 344: 141–143. doi:10.1016/j.ab.2005.05.022
- Domínguez, G., García, J.J., Guzmán, D., Alanoca, R. 2010. *Contenido de alcaloides en corteza de Uncaria tomentosa (Wild.) DC procedente de diferentes hábitats de la región Ucayali–Perú.* Revista de la Sociedad Química del Perú. 76 (3) http://www.scielo.org.pe/scielo.php?pid=S1810-634X2010000300008&script=sci_arttext
- Geerlings, A., Martinez-Lozano Ibañez, M., Memelink, J., Van der Heijden, R., and Verpoorte, R. 2000. Molecular Cloning and Analysis of Strictosidine α -D-Glucosidase, an Enzyme in Terpenoid Indole Alkaloid Biosynthesis in *Catharanthus roseus*. THE JOURNAL OF BIOLOGICAL CHEMISTRY. 275 (5) 3051–3056
- Gutiérrez, L. Mauriat, M., Guénin, S., Pelloux, J., Lefebvre, J.F., Louvet, R., Rusterucci, C., Moritz, T., Guerineau, F., Bellini, C. and Van Wuytswinkel, O. 2008. *The lack of a systematic validation of reference genes: a serious pitfall undervalued in reverse transcriptionpolymerase chain reaction (RT-PCR) analysis in plants.* Plant Biotechnology Journal. 6. pp. 609–618 doi: 10.1111/j.1467-7652.2008.00346.x
- Huang, Y., Minaker, S., Roth, C., Huang,S., Hieter, P., Lipka, V., Wiermer, M. & Li, S. 2014. An E4 Ligase Facilitates Polyubiquitination of Plant Immune Receptor Resistance Proteins in Arabidopsis. The Plant Cell. 26: 485–496.
- Jain, M., Nijhawan, A., Tyagi, A.K., Khurana, J.P. 2006. *Validation of housekeeping genes as internal control for studying gene expression in rice by quantitative real-time PCR.* Biochemical and Biophysical Research Communications. 345: 646–651 doi:10.1016/j.bbrc.2006.04.140

Lock, O. 1995. *Revisión del Género Uncaria. Uncaria tomentosa y Uncaria guianensis. Las Uñas de Gato*. Revista de Química. 9(1):49-61

Matsuura, H.N., Porto, D.D. y Fett-Neto, A.G. 2013. *Bioactive Alkaloids from South American Psychotria and Related Rubiaceae*. Natural Products. 119-147. DOI 10.1007/978-3-642-22144-6_101,

Keplinger, K.; Laus, G.; Wurm, M.; Dierich, M. P.; Teppner, H. 1999. *Uncaria tomentosa (Willd) D.C. Ethnomedicinal use and new pharmacological, toxicological and botanical results*. Journal of Ethnopharmacology; 64: 23-34.

Laus, G.; Brössner, D.; Keplinger, K. 1997. *Alkaloids of Peruvian Uncaria tomentosa*. Phytochemistry; 45: 855-860.

Laus, G. (2004) *Advances in chemistry and bioactivity of the genus Uncaria*. Phytotherapy Research; 18: 259-274.

Namdeo A. G. 2007. *Plant Cell Elicitation for Production of Secondary Metabolites:A Review*. Pharmacognosy Reviews. 1(1) 69-79 <http://www.phcogrev.com>

Niño, C.A. 2011. Análisis de la ubiquitinación de proteínas en la diferenciación de Giardia intestinalis. Tesis doctoral. Universidad Nacional de Colombia. 89p

Nolan, T., Hands, R. & Bustin, S.A. 2006. *Quantification of mRNA using real-time RT-PCR*. Nature Protocols. 1(3), 1559-1582. doi:10.1038/nprot.2006.236

Pérez-Alonso, N., Jiménez, E. 2011. Producción de metabolitos secundarios de plantas mediante el cultivo *in vitro*. Biotecnología Vegetal. 11(4):195-211.

Ramani, S., Patil, N., Nimbalkar, S. y Jayabaskaran, C. 2013. *Alkaloids Derived from Tryptophan: Terpenoid Indole Alkaloids*. Natural Products. 575-604. DOI 10.1007/978-3-642-22144-6_21

Santos, Y., Ramos, A. 2009. *Actividad de la estrictosidina sintasa y 1-deoxi-d-xilulosa-5 fosfato sintasa en raíces de Uncaria tomentosa productoras de alcaloides oxindólicos*. VII Simposio Internacional de Producción de Alcoholes y Levaduras. México, DF: SIPAL.

Tran, A.T. 2008. *The Occurrence, Biological Activity, Biosynthesis, and Synthesis of Pteropodine*. Chemistry 150.

Trujillo, M.N., Cerda, C.M., Dendooven, L., Ponce, M.T., Ramos, A. S.F. Efecto del estrés oxidativo sobre la producción de metabolitos secundarios en cultivos de *Uncaria tomentosa*. Pág 1.

Winkler, C.; Wirleitner, B.; Schroecksnadel, K.; Schennach, H.; Mur, E.; Fuchs, D. 2004. *In vitro effects of two extracts and two pure alkaloid preparations of Uncaria tomentosa on peripheral blood mononuclear cells*. Planta Medica; 70(3): 205-2010.

ANEXO 1.

Análisis bioinformático para la detección de genes de importancia en la producción de alcaloides oxindólicos en *Uncaria tomentosa*

- A. El archivo del transcriptoma con extensión “.gb” se logró abrir con el software BioEdit y transformar en un archivo FASTA de la siguiente manera:
1. Abrir BioEdit
 2. File -> Open...
 3. Escoger el archivo con terminación “.gb”
 4. File -> Save as...
 5. Escoger en tipo “Fasta (*.fas, *.fst, *.fsa)”
 6. Guardar en ubicación de preferencia

El archivo generado se guardó con el nombre de “UNCARIA”.

- B. Los archivos FASTA son capaces de ser abiertos por el algoritmo de [BLAST](#) de la siguiente manera:
1. Click en el hipervínculo de BLAST
 2. Escoger el algoritmo de preferencia
 3. En “Or, upload file”, dar click en “Seleccionar archivo”
 4. Escoger parámetros de preferencia
 5. BLAST!
- C. Los resultados de BLAST pueden ser exportados en una extensión XML, la cual es muy utilizada por desarrolladores de páginas web, además de ser capaz de visualizarla mediante exploradores de Internet (e.g. Google Chrome, Internet Explorer, etc.) de la siguiente manera:
1. Abrir BLAST
 2. Escoger el algoritmo de preferencia
 3. Subir el archivo FASTA de preferencia
 4. Escoger parámetros
 5. BLAST!

6. Una vez obtenidos los resultados, escoger en el panel superior la opción “Download”, dar click en “XML” y guardar en la ubicación de preferencia.

The screenshot shows the NCBI BLAST search interface. At the top, there's a navigation bar with links for Home, Recent Results, Saved Strategies, and Help. Below the navigation bar, the title is 'NCBI/ BLAST/ blastx/ Formatting Results - BWP55WWK016'. A message box says 'Your search is limited to records matching entrez query: txid3702 [ORGN]'. Below this are buttons for Edit and Resubmit, Save Search Strategies, Download (with sub-options Text, XML, ASN.1, Hit Table(text), Hit Table(csv)), YouTube (How to read this page), and Blast report description. The main content area shows a summary of the search: '1 (333 letters)' and 'Results for: 1:cl|93338 1(333bp)'. It includes fields for RID (BWP55WWK016), Query ID (lcl|93338), Description (1), Molecule type (nucleic acid), and Query Length (333). To the right, it lists Database Name (nr), Description (All non-redundant GenBank CDS translations+PDB+SwissProt+PIR+PRF excluding environmental samples from WGS projects), and Program (BLASTX 2.2.30+). The XML download button is circled in red.

7. Abrir con un explorador web como Internet Explorer

Una vez abierto con un explorador web como Internet Explorer:

The screenshot shows a Microsoft Internet Explorer window displaying an XML file. The address bar shows 'C:\Users\Silver Ceballos\Desktop\Intento.xml'. The XML content is a BlastOutput document. It includes the XML declaration, DOCTYPE declaration, and various XML tags such as <blastoutput_program>, <blastoutput_version>, <blastoutput_reference>, <blastoutput_db>, <blastoutput_query_id>, <blastoutput_query_def>, <blastoutput_query_len>, <blastoutput_param>, <parameters>, <iteration>, <iteration_query_id>, <iteration_query_def>, <iteration_query_len>, <iteration_hits>, <hit>, <hit_num>, <hit_id>, and <hit_def>. The XML also contains several URLs and protein identifiers like NP_565836.1, NP_566969.1, XP_010504006.1, and XP_010426881.1. The status bar at the bottom shows '07:37 a.m. 20/01/2015'.

```

<?xml version="1.0"?>
<!DOCTYPE BlastOutput SYSTEM "http://www.ncbi.nlm.nih.gov/dtd/NCBI_BlastOutput.dtd" PUBLIC "-//NCBI//NCBI BlastOutput/EN">
<BlastOutput>
  <BlastOutput_program>blastx</BlastOutput_program>
  <BlastOutput_version>BLASTX 2.2.30+</BlastOutput_version>
  <BlastOutput_reference>Stephen F. Altschul, Thomas L. Madden, Alejandro A. Schäffer, Jinghui Zhang, Zheng Zhang, Webb Miller, and David J. Lipman (1997), "Gapped BLAST and PSI-BLAST: a new generation of protein database search programs", Nucleic Acids Res. 25:3389-3402.</BlastOutput_reference>
  <BlastOutput_db>nr</BlastOutput_db>
  <BlastOutput_query_ID>93338</BlastOutput_query_ID>
  <BlastOutput_query_def>1</BlastOutput_query_def>
  <BlastOutput_query_len>333</BlastOutput_query_len>
  <BlastOutput_param>
    <Parameters>
      <Parameters_matrix>BLOSUM62</Parameters_matrix>
      <Parameters_expect>10</Parameters_expect>
      <Parameters_gap-open>11</Parameters_gap-open>
      <Parameters_gap-extend>1</Parameters_gap-extend>
      <Parameters_filter>L;</Parameters_filter>
    </Parameters>
  </BlastOutput_param>
  <BlastOutput_iterations>
    <Iteration>
      <Iteration_iter_num>1</Iteration_iter_num>
      <Iteration_query_ID>93338</Iteration_query_ID>
      <Iteration_query_def>1</Iteration_query_def>
      <Iteration_query_len>333</Iteration_query_len>
      <Iteration_hits>
        <Hit>
          <Hit_num>1</Hit_num>
          <Hit_id>gi|18404062|ref|NP_565836.1|</Hit_id>
          <Hit_def>60S ribosomal protein L40-1 [Arabidopsis thaliana]>gi|18409639|ref|NP_566969.1| ubiquitin extension protein 1 [Arabidopsis thaliana]>gi|727444959|ref|XP_010504006.1| PREDICTED: ubiquitin-60S ribosomal protein L40-2 [Camellia sativa]>gi|727467678|ref|XP_010515730.1| PREDICTED: ubiquitin-60S ribosomal protein L40-2 [Camellia sativa]>gi|302425250|sp|Q42202.2|RL40B_ARATH RecName: Full=Ubiquitin-60S ribosomal protein L40-2; AltName: Full=Protein EARLY-RESPONSIVE TO DEHYDRATION 16; AltName: Full=Protein EMBRYO DEFECTIVE 2167; AltName: Full=Protein HAPLESS 4; Contains: RecName: Full=Ubiquitin; Contains: RecName: Full=60S ribosomal protein L40-2; AltName: Full=CEP52; Flags: Precursor [Arabidopsis thaliana]>gi|302425250|sp|Q42202.2|RL40B_ARATH RecName: Full=Ubiquitin-60S ribosomal protein L40-2; AltName: Full=Protein EARLY-RESPONSIVE TO DEHYDRATION 16; AltName: Full=Protein EMBRYO DEFECTIVE 2167; AltName: Full=Protein HAPLESS 4; Contains: RecName: Full=Ubiquitin; Contains: RecName: Full=60S ribosomal protein L40-2; AltName: Full=CEP52; Flags: Precursor [Arabidopsis thaliana]
```

La siguiente imagen, muestra la forma en cómo se traduce la información de interés a nivel informático:

Sequences producing significant alignments:

Select: All None Selected:0

Alignments Download GenPept Graphics

	Description	Max score	Total score	Query cover	E value	Ident	Accession
<input type="checkbox"/>	60S ribosomal protein L40-1 [Arabidopsis thaliana]	74.3	74.3	29%	3e-17	100%	NP_565836.1
<input type="checkbox"/>	anthranilate phosphoribosyltransferase-like protein [Arabidopsis thaliana]	28.9	28.9	28%	1.8	41%	BAF01685.1
<input type="checkbox"/>	AT3g57880/T10K17_90 [Arabidopsis thaliana]	28.5	28.5	28%	1.8	41%	AAK53020.1
<input type="checkbox"/>	C2 domain-containing plant phosphoribosyltransferase-like protein [Arabidopsis thaliana]	28.5	28.5	28%	1.8	41%	NP_191347.1
<input type="checkbox"/>	calcium-dependent lipid-binding (CaLB domain) plant phosphoribosyltransferase family protein [Arabidopsis thaliana]	28.5	28.5	30%	1.8	35%	NP_175568.1
<input type="checkbox"/>	calcium-dependent lipid-binding domain-containing plant phosphoribosyltransferase-like protein [Arabidopsis thaliana]	28.1	28.1	35%	2.6	36%	NP_196801.1
<input type="checkbox"/>	FT-interacting protein 1 [Arabidopsis thaliana]	28.1	28.1	35%	2.6	38%	NP_568175.2
<input type="checkbox"/>	AT5g06850/MOJ9_2 [Arabidopsis thaliana]	27.7	27.7	29%	3.6	42%	AAL15320.1
<input type="checkbox"/>	anthranilate phosphoribosyltransferase-like protein [Arabidopsis thaliana]	26.9	26.9	25%	5.0	39%	BAD95264.1
<input type="checkbox"/>	triose phosphate/phosphate translocator TPT [Arabidopsis thaliana]	26.9	26.9	41%	6.4	35%	NP_001032017.1
<input type="checkbox"/>	triose phosphate/phosphate translocator TPT [Arabidopsis thaliana]	26.6	26.6	41%	9.1	35%	NP_851138.1
<input type="checkbox"/>	triose phosphate/phosphate translocator TPT [Arabidopsis thaliana]	26.6	26.6	41%	9.2	35%	NP_001078720.1
<input type="checkbox"/>	phosphate/triose-phosphate translocator precursor [Arabidopsis thaliana]	26.6	26.6	41%	9.3	35%	AAM65042.1

Esto tiene una gran ventaja ya que muestra datos relevantes como “E-value”, “Ident”, “Accession” y “Max score”. El archivo XML puede ser convertido a un archivo Excel, el cual permite filtrar la información de varias maneras, como se verá más adelante.

- D. El archivo FASTA que se generó mediante BioEdit, nombrado como “UNCARIA”, consta de más de 50 mil secuencias. Esto trae complicaciones a la hora de subir un archivo al BLAST ya que (i) la plataforma es incapaz de subir archivos con tantas secuencias (estos no deben exceder las 7000 secuencias, 6000-6500 secuencias es un rango recomendable), además de que (ii) un proceso de tal magnitud consumiría demasiados recursos de la computadora. Por lo que se dividió el archivo en 9 documentos denominados “UNCARIA subset 1 al 9”.
- E. Se utilizó el algoritmo de BLAST llamado **blastx** para realizar el análisis de las secuencias. El algoritmo de BLAST **blastx** traduce secuencias de ácidos nucleicos a secuencias de aminoácidos para luego hacer comparaciones proteína-proteína.
- F. Los datos se compararon contra las especies *Catharanthus roseus*, *Mitragyna speciosa* y *Cinchona sp.* debido a que son plantas productoras de alcaloides oxindólicos, se parte de la premisa que debe de existir cierto nivel de homología entre las enzimas metabólicas de estas plantas y *Uncaria tomentosa*, ya que los sustratos comparten similaridad estructural. Además, los alcaloides de estas plantas comparten dos rutas metabólicas de interés, la del (i) ácido shikímico y la del (ii) triptófano.

G. Se seleccionaron cuatro enzimas que participan en la síntesis de oxindolalcaloides en las especies anteriormente citadas. Estas son: strictosidina sintasa, strictosidina β -glucosidasa, triptófano descarboxilasa y geraniol-10-hidroxilasa.

H. Debido a que se desconoce la distancia evolutiva entre *Uncaria* y las plantas anteriormente mencionadas, se recomienda utilizar la matriz de sustitución BLOSUM 50 en lugar de BLOSUM 62 ya que es menos rigurosa y parte de una mayor distancia entre las especies, por ende, acepta un mayor número de mutaciones.

Los parámetros utilizados para la búsqueda en el BLAST fueron:

- Database: *non-redundant protein sequences* (nr)
- Organism: *Catharanthus roseus* (taxid:4058), *Mitragyna speciosa* (taxid:170351), *Cinchona* (taxid:43462).
- Max target sequences: 10
- Expect threshold: 1*
- Matrix: BLOSUM 50

*en caso de que una secuencia no generara resultados, el expect threshold se aumentó a 10, 20, 50 y 100, respectivamente.

I. Los resultados obtenidos fueron recopilados en archivos XML, que posteriormente se convirtieron a documentos de Excel, los datos obtenidos se copiaron y pegaron de forma manual en un solo archivo llamado “*Uncaria – Cinchona – Completo*”.

La información en el documento Excel se visualiza de la siguiente manera:

				/BlastOutput	/BlastOutput	/BlastOutput
				/BlastOutput_t_iterations	/BlastOutput_t_iterations	/BlastOutput_t_iterations
1	/BlastOutput					
2	/BlastOutput	/BlastOutput	/BlastOutput			
3	nr	1	1 AHX24365	CYP76A26-like protein [Cinchona calisaya]	26	26
4	nr	2			24.0489	24.0489
5	nr	3			0.55891	0.55891
6	nr	4	2 CAB90052	ATP synthase beta subunit [Cinchona pubescens]	25	25
7	nr	5			20.1507	20.1507
8	nr	6			0.912252	0.912252
9	nr	7				
10	nr	8				
11	nr	9				
12	nr	10				
13	nr	11	3 CAB64911	NADH dehydrogenase, putative [Cinchona pubescens]	33	33
14	nr	11	4 ADI46534	NADH dehydrogenase subunit F [Cinchona calisaya]	33	33
15	nr	11	5 AGX93057	7-deoxyloganic acid 7-hydroxylase-like protein [Cinchona calisaya]	40	40
16	nr	11	6 AGX93045	secologanin synthase-like protein, partial [Cinchona calisaya]	23	23
17	nr	12	7 AGX93057	7-deoxyloganic acid 7-hydroxylase-like protein [Cinchona calisaya]	32	32
18	nr	12	8 AGX93045	secologanin synthase-like protein, partial [Cinchona calisaya]	31	31

	AJ	AK	AL	AM	AN	AO	AP	AQ	AR	AS	AT	AU
1	<pre>/BlastOutput t_iterations /Iteration/It eration_hits /Hit/Hit_hs ps/Hsp/Hsp /BlastOutput_iterations/Iteration_hits/Hit/Hit_id /Hit/Hit_len /tagg score/#agg ion/Iteration_hits/Hit/Hit_def</pre>											
2	<pre>/BlastOutput /BlastOutput /BlastOutput /BlastOutput_t_iterations t_iterations t_iterations /BlastOutput /BlastOutput t_iterations /Iteration/It /Iteration/It /Iteration/It /Iteration/It t_iterations t_iterations /Iteration/It iteration_hits iteration_hits iteration_hits /Iteration/It /Iteration/It /Iteration/It iteration_hits iteration_hits iteration_hits /Iteration/It /Iteration/It eration_it /BlastOutput_iterations/Iteration_iterations/Iteration_it /Iteration/Iteration_it /Iteration/Iteration_it iteration_qu iteration_qu iteration_qu iteration_qu iteration_qu iteration_qu iteration_qu ery-def</pre>											
3	<pre>69 gi 613399376 gb AHX24365.1 516 516 1 1 1 comp0_c0_seq1 len=3846 path=[0:0-453 454:454- 61989 61989 3846 2 2 comp10000_c0_seq1 len=700 path=[0:0-699] 61990 61990 700 3 3 comp10001_c0_seq1 len=720 path=[0:0-719] 61991 61991 720 4 4 comp10002_c0_seq1 len=567 path=[0:0-566] 61992 61992 567 5 5 comp10003_c0_seq1 len=1457 path=[0:0-67 1512] 61993 61993 1457 6 6 comp10004_c0_seq1 len=684 path=[0:0-683] 61994 61994 684 7 7 comp10005_c0_seq1 len=232 path=[0:0-231] 61995 61995 232 8 8 comp10006_c0_seq1 len=524 path=[0:0-442 443:] 61996 61996 524 9 9 comp10006_c0_seq2 len=477 path=[0:0-442 443:] 61997 61997 477 10 10 comp10007_c0_seq1 len=961 path=[0:0-960] 61998 61998 961 11 11 comp10008_c0_seq1 len=1080 path=[0:0-534 104] 61999 61999 1080 comp10008_c0_seq1 len=1080 path=[0:0-534 100] 61999 61999 1080 comp10008_c0_seq1 len=1080 path=[0:0-534 100] 61999 61999 1080 comp10008_c0_seq1 len=979 path=[0:0-534 535:] 62000 62000 218 comp10008_c0_seq2 len=979 path=[0:0-534 535:] 62000 62000 218</pre>											
12	<pre>71 gi 6687321 emb CAB64911.1 714 714 1 1 11 64 gi 297557437 gb AD146534.1 681 681 2 2 11 63 gi 550826677 gb AGX93057.1 519 519 3 3 11 62 gi 550826653 gb AGX93045.1 518 518 4 4 11 70 gi 550826677 gb AGX93057.1 519 519 1 1 12 53 gi 550826653 gb AGX93045.1 518 518 2 2 12</pre>											
13	<pre>... 11 12 13 14 15 16 17 18</pre>											
	Hoja1 Hoja2 Hoja3											

- J. Una vez realizado el archivo de Excel que contempla a todos los subarchivos, se seleccionaron únicamente las enzimas de interés. Este es un proceso manual y se realizó de la siguiente manera:
1. Abrir el archivo de Excel completo. Cabe destacar que en total, son dos de estos archivos, uno para cada organismo: *Cinchona* y *Mitragyna*.
 2. Seleccionar la celda en la columna E denominada como “/BlastOutput_iterations/Iteration/Iteration_hits/Hit/Hit_def”. Esto equivale a la columna de “Description” en el BLAST.
 3. En la pestaña “Datos”, dar click en “Filtro”.
 4. Seleccionar la flecha que aparece en la esquina inferior derecha de la celda.
 5. Seleccionar únicamente la enzima de interés*

*Nota importante: Es necesario hacer un estudio metabólico antes de iniciar con el análisis genético ya que se necesita conocer cuáles son las enzimas de interés para la investigación para luego poder filtrar los resultados.

6. Seleccionar la celda en la columna F denominada como “Hsp_align-len”. Esto equivale a la longitud del alineamiento.
7. Ordenar de mayor a menor.
8. Seleccionar las filas de únicamente aquellas secuencias con alineamientos mayores a 250 aminoácidos. Esto equivale a alineamientos mayores a 750 nucleótidos.
9. Copiar

10. Pegar en un documento de excel nuevo.
11. Repetir los puntos 6-10 para cada una de las enzimas de interés, tanto de *Mitragyna* como de *Cinchona*.

The screenshot shows an Excel spreadsheet titled "Uncaria - Cinchona - Completo - Microsoft Excel [Error de activación]". The ribbon tabs include Archivo, Inicio, Insertar, Diseño de página, Fórmulas, Datos, Revisar, and Vista. The Datos tab is active, showing various data manipulation tools like Conexiones, Actualizar todo, Propiedades, Editar vínculos, and Ordenar y filtrar. The Ordenar y filtrar tool is highlighted. The formula bar shows the address E2 /BlastOutput_iterations/Iteration/Iteration_hits/Hit/Hit_def. The main table has columns labeled A through E. Row 1 contains the header "/BlastOutput". Rows 2 and 3 show data starting with "nr" and "16" respectively. A filter dialog box is open over the table, listing enzyme names. The entry "secologanin synthase-like protein, putative" is checked. The status bar at the bottom indicates "Listo" and "Se encontraron 3836 de 85887 registros".

t_db	id	Hit/#id	session	
16	nr	11	6 AGX93045	secologanin synthase-like protein, putative
18	nr	12	8 AGX93045	secologanin synthase-like protein, putative
19	nr	13	9 AGX93045	secologanin synthase-like protein, putative
20	nr	14	10 AGX93045	secologanin synthase-like protein, putative
24	nr	18	12 AGX93045	secologanin synthase-like protein, putative
90	nr	57	56 AGX93045	secologanin synthase-like protein, putative
116	nr	81	66 AGX93045	secologanin synthase-like protein, putative
131	nr	96	69 AGX93045	secologanin synthase-like protein, putative
187	nr	124	108 AGX93045	secologanin synthase-like protein, putative
188	nr	124	108 AGX93045	secologanin synthase-like protein, putative
191	nr	126	110 AGX93045	secologanin synthase-like protein, putative
195	nr	130	112 AGX93045	secologanin synthase-like protein, putative
246	nr	163	141 AGX93045	secologanin synthase-like protein, putative
249	nr	165	143 AGX93045	secologanin synthase-like protein, putative
251	nr	166	145 AGX93045	secologanin synthase-like protein, putative
252	nr	167	146 AGX93045	secologanin synthase-like protein, putative

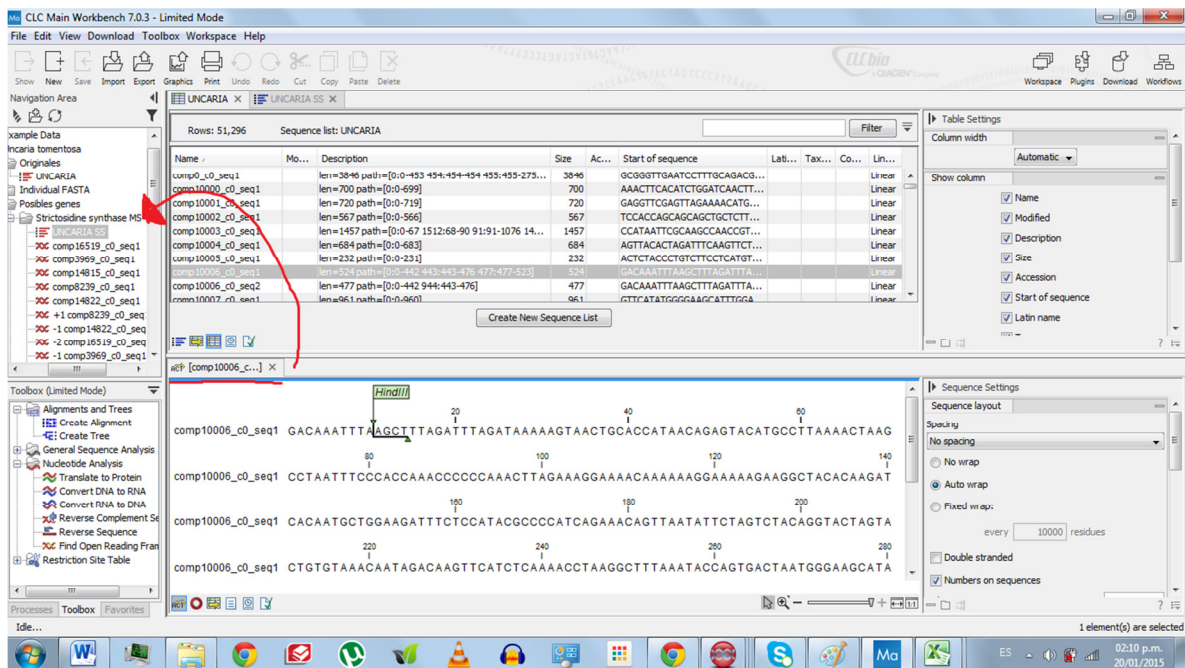
De esta manera, se logró recopilar todos los resultados que cumplieran las características anteriores en un documento nuevo. Estas se distribuyeron en hojas de cálculo, una hoja por cada enzima.

- K. La columna AK se denomina como “/BlastOutput_iterations/Iteration/Iteration_query-def” y contiene la secuencia del transcriptoma que genera el alineamiento descrito ya en la fila de la hoja de cálculo, en las celdas hacia la izquierda. Estas se analizaron mediante el software CLC Bio de la siguiente manera:

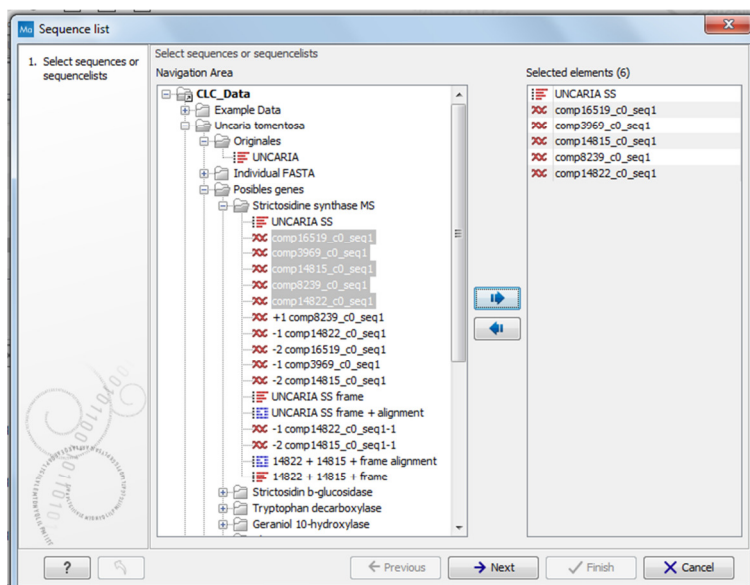
1. Abrir el CLC Bio
2. Dar click en “File” y luego en “Import...”
3. Abrir el archivo FASTA denominado “UNCARIA”, el cual contiene el transcriptoma.
4. En el panel de navegación denominado “Navigation Area” aparecerá el archivo FASTA. Abrir con un doble click. Esto generará una pantalla donde se puede visualizar todas las secuencias.

Name	Mod.	Description	Size	Acc...	Start of sequence	Lat...	Tax...	Com...	Linear
comp0_c0...		[len=384 path=[0:0-43 454:454-454 455:455-2756 27...	3846	GGGGGTGATACCTTTGCAGACAA...					Linear
comp1000...		[len=700 path=[0:0-699]	700	AAACTCACATCTGGTCACTTTG...					Linear
comp1000...		[len=720 path=[0:0-719]	720	GAGGTTGGTAGAAAACATGAGGA...					Linear
comp1000...		[len=567 path=[0:0-566]	567	TCCACCAAGCAGCTGCTTGTCC...					Linear
comp1000...		[len=1457 path=[0:0-67 1512:68 90 91:91 1076 1480:10...	1457	CCATAATTGCGAACCCAAACCTGTC...					Linear
comp1000...		[len=684 path=[0:0-683]	684	AGTTACACTAGATTCAGTTCTCA...					Linear
comp1000...		[len=232 path=[0:0-231]	232	ACTCTCCCTGCTCTCATGTCAG...					Linear
comp1000...		[len=477 path=[0:0-42 442:442-476 477:477-523]	477	GACAAATTAAAGCTTAGATTAGAT...					Linear
comp1000...		[len=961 path=[0:0-960]	961	GTTCATATGGAAAGCATTTTGGTC...					Linear
comp1000...		[len=1080 path=[0:0-534 1002:535-1079]	1080	AAAAAGCAGTCTTAGAAAAAACTCGA...					Linear
comp1000...		[len=979 path=[0:0-534 535:535-589 590:590-601 602:6...	979	AAAAAGCAGTCTTAGAAAAAACTCGA...					Linear
comp1000...		[len=967 path=[0:0-534 535:535-589 602:590-966]	967	AAAAAGCAGTCTTAGAAAAAACTCGA...					Linear
comp1000...		[len=676 path=[0:0-675]	676	CTCCATGACAGCTGACCTATGACAT...					Linear
comp1000...		[len=632 path=[0:0-631]	632	TTCCTGTTGTGTGCCATTACATA...					Linear
comp1000...		[len=415 path=[0:0-414]	415	ATTTCCCTTAATCTCTCAATCTGC...					Linear
comp1000...		[len=556 path=[0:0-144 145:145-555]	556	ATGCAGGAGAAATCAAAAGGCA...					Linear
comp1000...		[len=911 path=[0:0-910]	911	TTGGCTGCTGTTAGATGGACTCT...					Linear
comp1000...		[len=1103 path=[0:0-1102]	1103	GACCCACCTCAAAGCCCCCTCAGA...					Linear
comp1000...		[len=762 path=[487:0-153 641:154-188 805:189-215 83...	762	CGAGCCATCTGTTGATCCATCCA...					Linear
comp1000...		[len=641 path=[0:0-460 461:461-486 487:487-640]	641	CAGATGTATATGTACATGGCTTAT...					Linear
comp1000...		[len=581 path=[0:0-460 461:461-486 1876:487-490 144...	581	CAGATGTATATGTACATGGCTTAT...					Linear
comp1000...		[len=262 path=[1711:0-141 461:142-167 1876:168-171 ...	262	AGCGCTAAAGCTTCCAGAATCT...					Linear
comp1000...		[len=244 path=[0:0-243]	244	CACTCGAAATGTTCTCCGTTA...					Linear
comp1000...		[len=467 path=[0:0-466]	467	ATCATACAATGAGTTGATGTCG...					Linear
comp1000...		[len=1027 path=[0:0-279 280:280-324 423:325-394 151...	1027	TTACCGAATAAACTGGACACTTAA...					Linear
comp1000...		[len=435 path=[1030:0-94 1465:95-100 1131:101-494]	435	AGTCAAAAATCAGCAACCTTGCTC...					Linear
comp1000...		[len=259 path=[15550:0-115 280:116-160 325:161-258]	259	TGTCACTCTTGTAGTCGAACTTA...					Linear
comp1000...		[len=236 path=[0:0-94 95:95-128 129:129-235]	236	CAGGAACCCAACTCATCAGGACA...					Linear

5. En el mismo panel, crear un folder llamado “Posibles Genes” y una subcarpeta llamado como la enzima. Para este caso, “Strictosidine synthase”.
6. En el archivo Excel con el recopilado de enzimas, dirigirse a la columna AK y anotar las secuencias del transcriptoma cuyos resultados presentan homología con la enzima *strictosidine synthase*.
7. El CLC Bio presenta un filtro en una esquina superior derecha. Insertar el código de las secuencias anotadas y dar doble click sobre la secuencia. Esto abrirá la secuencia en una ventana aparte.
8. Arrastrar la pestaña hacia el subfolder ya creado.
9. Repetir 6-8 con todas las secuencias.



- L. Una vez seleccionadas apartadas las secuencias de interés dentro del folder, realizar una lista de secuencias de la siguiente manera:
1. Dar click en “New”, sobre el “Navigation Area”.
 2. Click en “Sequence list”
 3. Seleccionar las secuencias y desplazar al panel de la derecha mediante la flecha azul.
 4. Click en “Next”.
 5. Verificar que la casilla de “Save” esté seleccionada.
 6. Escoger la carpeta creada para almacenar ahí.
 7. Click en “Finish”.



Las listas de secuencias pueden ser exportadas en formatos FASTA, lo cual facilita un análisis posterior en BLAST mucho más detallado. Para ello:

1. Click en “Export”.
2. Seleccionar formato FASTA
3. Escoger la lista de secuencias deseada
4. Click en “Next”.
5. Click en “Next”.
6. Seleccionar la ubicación de preferencia.

M. Una vez exportada la lista de secuencias, se analiza mediante **blastx**, nuevamente, siguiendo la metodología anteriormente descrita.

The screenshot shows a BLAST search results page. At the top, it says "Your search is limited to records matching entrez query: txid170351 [ORGN]". Below that are links for "Edit and Resubmit", "Save Search Strategies", "Formatting options", and "Download". To the right are links for "YouTube", "How to read this page", and "Blast report description". The main search term is "comp16519_c0_seq1 len=1150 path=[0:0-1052]".

Results for: 5:cl|20885 comp14822_c0_seq1 len=825 path=[0:0-824](825bp)

RID: 1:cl|20881 comp16519_c0_seq1 len=1150 path=[0:0-1052 1053:1053-1149](1150bp)
2:cl|20882 comp3969_c0_seq1 len=158 path=[0:0-1157](1158bp)
3:cl|20883 comp14815_c0_seq1 len=914 path=[0:0-913](914bp)
4:cl|20884 comp8239_c0_seq1 len=1171 path=[0:0-1170](1171bp)
5:cl|20885 comp14822_c0_seq1 len=825 path=[0:0-824](825bp)

Query ID: comp16519_c0_seq1

Description: All non-redundant GenBank CDS translations+PDB+SwissProt+PIR+PRF excluding environmental samples from WGS projects

Molecule type: nucleic acid

Query Length: 825

Database Name: nr

Program: BLASTX 2.2.30+ ▶ Citation

Other reports: ▶ Search Summary ▶ Taxonomy reports

Graphic Summary

Distribution of 3 Blast Hits on the Query Sequence

Mouse-over to show details and scores, click to show alignments

Color key for alignment scores

<40	40-50	50-80	80-200	>=200	
Query 1	150	300	450	600	750

The distribution plot shows three horizontal red bars representing the alignment positions of the three hits across the query sequence. The x-axis represents the position from 1 to 750.

En el panel de “Alignments” en los resultados del BLAST se despliega información detallada del alineamiento. Es importante considerar el “frame” de la secuencia ya que indica en qué posición inicia el ORF en la secuencia obtenida tras la secuenciación.

The screenshot shows a BLAST alignment table. The top bar includes "Download", "GenPept", and "Graphics". The search parameters are "strictosidine synthase [Mitragyna speciosa]" and "Sequence ID: gb|ABZ79473.1| Length: 352 Number of Matches: 1".

Range 1: 65 to 324 GenPept Graphics

Score Expect Method Identities Positives Gaps Frame

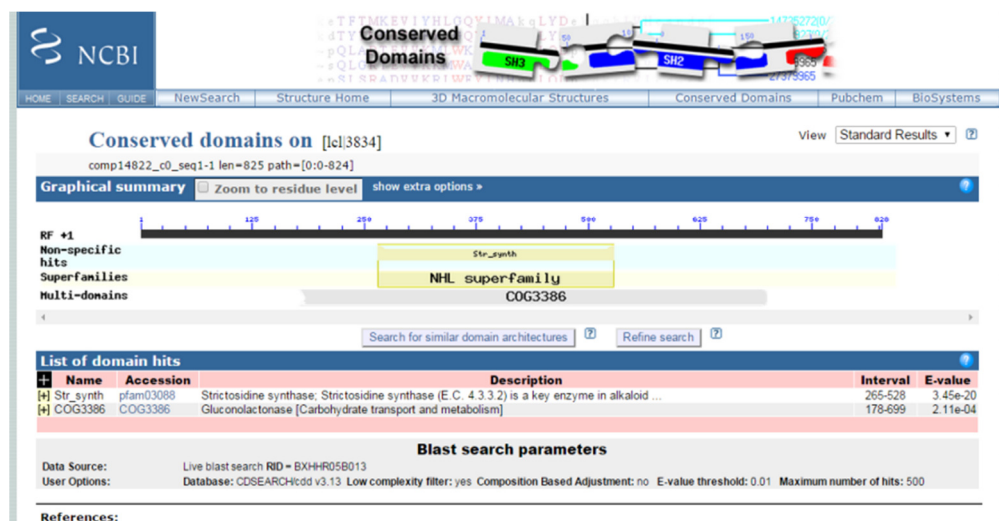
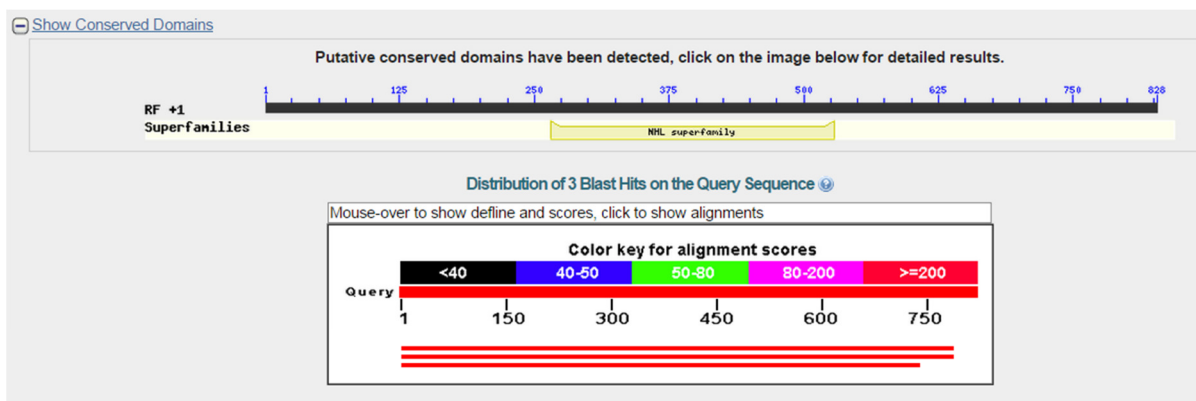
348 bits(1235) 3e-123 Compositional matrix adjust. 164/263(62%) 207/263(78%) 3/263(1%) -1

Query	Sbjct	Sequence Details	Frame
822	65	GGSGIVFLNHAYASPFWNETLCKSKNATIEPHLKPICGRVYDLGFNYATKKLYIVDGYG G S F HA ASPFWN +C++ E +LKP CGR YDLGF+Y T+LYI D YYG GSSNHGFSTHAVAASPFWNRKVCENEYT--ELQLKPFCGRTYDLCFHETQQLYIADCYYG	643
642	122	LGMVGPDDGLAIQVANGADGADFKWLALTVQRTGIVVYTFEVSSVYDRGVQDIMDTND LG+VGP+GG A QVA ADG DFKWLAL VDQ+TG VV+T+VS YDRGVQDIT+ ND LGVVGPEGGRATQVARSAVGVDFKWLALAVDQQTGFVYLTVDVSIKYDDRGVQDILRIND	463
462	182	TTGRLLKDYDPSTNEARVLMLNGLNVPGGTEVSKDGDFLVVAEFLSHRILKYWLKGPKANTS TTGRL-KYD P T + VLM GLNVPGGTE SKD +F+VAE+L ++ILKYWL+GPKAN+S	283
282	242	EILLEIPPGPNIKRTPAQDFIVPSTDENAPILTSIGVRFNEFGRILETVDLQPQYKNEHL E+LL++ GPGNIKRT AG+FVV S+D N +T ++F++FG IL+ V +P PYK EH+ EVLLKVGRGPNIKRTKAGEFWVASSDNNGITVTPTRAIKFDDFGNILQVWPVPPPYKGEHF	103
102	302	EQIHEHHNHALYVGSLFHNFIGVL 34 EQ +EHN +LY+G+LFH+F+G+L EQAQEHWGSLYIGTLFHDVGIL 324	301

N. Cuando se realizan los imprimadores sobre la secuencia es importante tomar únicamente la región donde existe alineamiento para de esta manera, asegurar que los imprimidores realizados puedan amplificar con éxito. Además, si el “frame” es negativo (ver imagen anterior), se recomienda cambiar la dirección de la secuencia en el CLC Bio de la siguiente manera:

1. Abajo del “Navigation Area”, abrir la carpeta de “Nucleotide Analysis”.
2. Click en “Reverse Complement”.
3. Seleccionar la(s) secuencia(s) deseadas.
4. Verificar que la casilla “Save” esté seleccionada.
5. Escoger la ubicación de preferencia para guardar.
6. Exportar la secuencia y repetir el análisis.

Cuando se analiza la secuencia con un ORF + por individual, el algoritmo de BLAST presenta la información de forma que se visualiza la presencia de dominios y motivos dentro de la secuencia, además de brindar información detallada al respecto.



ANEXO 2

Secuencias obtenidas a partir de muestras de ADN de *U. tomentosa* utilizando los imprimidores diseñados en el proyecto.

G10H-F 1282 bp

NNNNNNNNNNNNNTNNNNNNCTANTCTATCANGAAGAGCAAAGAGCTATCCTCCAGGCCAACCCCATTACCCATTATC
GGTAGCCTCCATTGCTGGCGACCAACCGACAAGTCTGGCAAACCTGCCAAAATCTATGCCCAACTCATGAGCTAAAAA
CTAGGCCAAATTACCACTATTGTAGTTACTCCTCAGGAATGGCGAAAGAAGTCTCCAAAAGCAAGATTAGCCTCTCCAGC
AGATCAATTCTGATGCACTCCATGCCACAATCAATATAAATTCCTGGTGTGGTGCCTGCGATCTGTTGGAGAACG
CTGCGTAAATCTGAACCTAACATGTTCTGGCAATAGGCTGGATGCTAACAGCACCTACGGCTAAGAAGATTAGGA
GCTCATTGCTTATTGCGAAAGAATTCTCAAACGGAGAGGCACTGGAGAGGAGTAGATGTTGGCGAGCAGCGTTAACGACTTCACTCAATT
ATTGTCCTAACCCCTTCTCCAAGGACTTGACCGATCCTATTCTGATTCTGCCAAAGAATTAGGACTTGGTGTGGCAGGTT
ATGTTGGAAGCTGGTAAACCCATCTGGTGATTCTCCCTGTGCTGAAAAAAATTGATCCCCAAGGTATCAGGCGTGTATG
ACCATTCACTGGAAAGAGATACTTAAGATGTTGGTGGCCTGGTCACTGGAGAGGAAATACCAAGTGGAA
ACAGTGATGTTGGATGTCATGCTGCTACAGGTGAAGAAGCACCTGAAGAGATTGACAGGACTCATATCGAGCGCTGTGC
TTGGTTGTACCATCTATTCTCTCCTACCTTAAGTTAGAACATCAGATAATGACCTGTTCTGCATTCTGCTTGTCTGA
TTTTTTTCACTTTACTAATTGTTTCACTCTATAGTTGGTCTTGACTATGTTCTAAACTATTGTAACACAGANAT
ATTCAAATAACGATCATGATGGAAACATGGATTCTTCTTGTGATTANTGACTGAAACATCTGAAGAAAGNNNANNATT
GATGACTTGACTACNTTCTCATTANANTGNNNNNTACCGNNNNCACTTNCNAACGTAAANANGNTANNGAC
TNNNTNNNNNNNNNTGNNNNNNNNNNNNCNTNNNNNNNNNNNGNNNNTNCNTNNNNNNNNNNGAANNCCANC
NNGACNGNNNNNNNNNNNCNNNTCGNNNAANNNN

G10H-R 1301 bp

SS-F 404 bp

GNNNNNNNNNNNNNNNNNATATAACAAATCTGTGCCAAAATATGCGTATTAGTAAAGTAAATAATTGGTT
TTTCCNATITGTTTAGGAATGAGACACTTGCAAGTGCAGAAATACCATGATGGAAGCACACCTAAAGCCCATTGTGGGAGG

GTATACAACCTGGGATTCAATTATGCCACAAAGAACCTTCATATAGATGATGGCTCTTATGGCTCGGCCGGTTGCCCTGAT
GGATGACTTGCCCTACAAANTGCCCATGATGCTTACCGAAATGATTACACTGTCTTTACCTTAACTTGTTNATACCTA
GAATCNCATACCCNNCGGAAATTAGNNNGCTTTAACCACTGGTCCCAGCTCACTGCAACACATCCTGA

SS-R 1088

GNNNNNTNNNNNGANNNAANNGNNTCCTTATTCTGCCAATCGGTGAGCCTACTCCTGTGGATGTAAGTATTGG
TGCATTTCATCGTGGATGGGACCCAAAGATCTCCAGCTGGAGTCCTTATGTTCCCTGGACCTGGAATTCCAATAAAATC
TCTGAAGAATTGCTTCAGGACCTCTAGCCAATACTTGAGAATTGTTGCCAAATATTCAAGAACAAAGGTGCTA
TCTTGCTGACTTCTGTACCACCTGGTACATTAATCCTTCATCAAAACTGTCACTTCTTAGTTAAGGGATCATACTTCATTAAT
CTTCCGGTTGTGTCGTCGTATCCATTATCCTGCACACCTCTAACATGAAAGGAATTGGTTAGGAATGAATTGAAAAAA
GTAATTCTCAGTTTCATTGAATATATTATTTTCCCTTCTCGAATCATTTCTCCGGGTTAATTCTAATTACCTTACCT
TGGCAAACTTTATTGGTAATCGAAATAACCAGGGAAATAAGGCCACTGGAAACCCCTAAATAAGGAAAAGGGAAAAAT
AAACAAAAAAACCTTATCCCTCTGCCATTAAATTAAATAAAATTAAACGATAATGGTAATCTTAGGTAACTTCCATTACCT
AGCCAGGGTACCAACCAAGAATTGGTAANGGNAAGGTTCTCCCCTGCACAAGTTGGAGTCAAACCTCACCTGTAA
CAGTTAATATGATATTCTCAAAACATTAAAAGGTGCAATAGTGTCTTCTGTCAAACGGTAGCTTATTCTCATCAACCT
TCCAAGTCTAATTGAACCATCTACTATAATGTGTTAGGAGTAAATTAAATGNTGAAACTTAATAAAAAAATNATGGAAAAG
GTATGACATTNTTCCANAAACNAANGANCAATCATTCTNTGTTGATAGATCCATTNGTTCNTCACTCATTNNAN
NNGGNACTATCTTGNNTCGGATCAAACTTANTCNAAACCATCATCATTNCNTAAAGGAAGGGGNNNGATACN

SG-F 1296 bp

NNNNNNNNNNNNCTCTGNAGATTGTAGATGGCAGCAATGGAATGGCTGTGGATCAATATCATCTATAACAAGGTA
TATTAGTCTGTTCAACTATAATTATCATATGTATTGACAGAAAAATGGATGAGTGAAACAGTGGAAAGTTAGACTGTGAAAATG
ATTCCAATATAGGTTCTGTTACATATTCAAATCTGCAGGAAGATGTGAAAATAATGAAGAAAATTGGTTAGATGCCTACAG
ATTTCAATTTCATGCCCTAGAGTATTGCCTGTAAGCTAGAATCAAGATTGAAATGCATCAATTTCCTCAATAAAAAAAAG
TCAATTCACTAATCAATAATGACACATCCACGTTCAAATTGAAATATTAGGTGGAAGATTAAGTGCGGTGAAACAAAGCA
GGAATTGATTACTATAACAATCTTACACGGAGCTCTGGCAAACGGAAATTCTGTCAAGTTTATCTGACAAAATAATTCA
CACAATACAATATTTGCCCTGGACTCATTACAAACCAGTGCAGATATCCAGGCCATTGTAACTCTTCCACTGGGATGTTCC
CCAAGCTCTAGAGGATGAATATGGTGGTTCTTAAATCGGAAAATTGTGTAAGTAGCTAACCGCATAATTGAAAACATCCTCG
TTTGCATTAAGTAAGAATCTAACATAGAGGGAGCAGAAAGTTCTATTGTAGACATGATAAGAAATTGAGAGATACCGAC
TTAATTGAGTATCTCTGCGAATACTGTTAGAATACTGACTGTAACGAATACCATTCTTATTTTAATAAAAGCCACCAT
GAGATGATTAACAAGTTGATTAGGGAAAACAGATCTGCTCTGATTGATTAACATATTCACTAAAATAAGAAAGTTAACAC
TATTGGAAAATCCTGAAATTACACCTTTCTTTTACCCAAATTCAAATCTAACATGAGGAATGACTCCGTGAATT
TGCTGAACTCTGTTGGAAATTGGANATCGAGTGGAAAATTNGGATCACATTGAACTGAAACCCGGCTTGGCTCGCAGC
TACGCAACTGGNNNATCCACCNNGNCAGGNGCAGCNCAGTGNNTATGAAANNNGCATNCAGCNNNANATGCATT
NNNTACNNCCNGGGNNNTGANCAGGANANCNNNNNNNNCCNCTNNNNCCANCNNNCNNNNNNNNNTNANN
NNNNNTANNNNNNNNNANANNNNNNTNTNNNNNNNNNNNNNNNNNN

SG-R 1265 bp

NNNNNNNNNNNANGNGCAGTAGCAATGGTGTGCTACCAAGTATGGCTCTGTGCCAGGATCTCCTGCTTACAATCCCCCG
CGAGTAAACAATGGCATCTGTGCTGAGGAATGGCATTTCATATGCTCAGTCGTGGCTGCACCTGACCAGGTGGATATGTG
CCAGTTGCGTAGCCTGCGGAGGCAAAGCCCAGGGTCATTCAATGTGATCCAATTTCACTCGATCTCAAATCCAAAAAA
CAGAGTTCAGCAAATTACCGGAAGTCATTCTGCAATTAAATTGAAATTGGTAAAAAAAAAAGGAAAAAAGGTGTAATCGA
TTGGACTTCCAATAGTGTAACTTCTTATTAGTGAATATGTTAACATCAAGAGCAGATCTGTTCCCTAACACTT
GTTAAATCATCTCATGGTGGTTTATTAAAAAATAAGAATGGTATTGTTACAGTCAAGTATTCTAAAACAAGTATTGACAG
AAGATACTCAATTAAAGTCGGTATCTCTGCAATTCTTATCATGTCACAAATAGAAACTTCTCCCTCTATGTTAGATTCTTA

CTTAATGCAAACGAGGATTTCAATTATGCGGTTGAGCTACTTACACAATTTCGATTAAGAAACCACCATATTCATCCT
CTAGAGCTGGGAACATCCCAGTGGAAAAGAGTTACGAATGGCTGGATATCTGCATGGTTGAAATGAGTCCAAGAGGCA
AAATATTGTATTGTGAATTATTCAGATAAAAACCTGACAGAAATTACCGTTGCCAGAAGCTCGTGATAAGATTGTT
ATAGTAATCAATTCCCTGTTTACACCGGCACTTAATCTTCCACCTAATATTCAATTGAAACGTGGATGTGTCATTATTG
ATTAGTGAATTGACTTTTTTATTGAGAGAAAATTGATGCATTCAATNCTGATTCTAGCTTACCGGCANTACTCTAGGCC
ATGAAATTGAAAATCTGTAGGCATCTAACNATTCTCATTATTCACATNNTCTGCANGATTGANATGTANNNNNN
NNNTNGNNCATTTCNCNGNNACTNCNCNGTNACTCATCATTCTGTCANACNNNTGANANNNNNNNNNNNNNN
NNNNNNNNNNNGAATTGATCCNANNNNNCNTNGCNGNCNTNNNNNNNNNNNNNNNNNNNNNNNN
NNNNNNNNNTGNNNNNN

TDC-F 793 bp

NNNNNNNNNNNNNNNANANANCNTNAATGGGCNCCATANCTGATTATTACGACAGTCAGGTTATCCTGTCAG
ANNAGTTGACTTGGACTCCCANTTTATTAAACAGGAGATAGCCCCCTGCTGAGGAAATTGAAAACATTCTGAAAA
AATATTCTAAAGATATACTNNCTGGAATGACCCTGTTAAGCCCCAACTTCTTAGCCCCCTTCCCTGAAAAGATAGCTCTG
CTGCTTTCTCACATAATGATGTGAAAAGGCTTAATTCTGTTTGAACNNAAAAGTTGCTCCCCCCCCCTCGAGCTCG
CCCCGATCGCGATGGATTGATGGTAACTGGATTGCTCTCACTAAATCCTCATGTTCTCTGGTATTGCCGGCGGTTTCCA
AGGAACCACCAATGAGGCCCTCTTGAAACCTTACGGCCAGCAACGGGATTCGAGAAATTCTGTGCAGACAACATTGC
AAAGCTGGTGNCTATGCTCTGATCTACTACACCCTTCTGCTAGACTTGCAAATTGNNAGGTATTTCCACGCAATATA
AGATTAACTCCTACCNCCGCTGAGACTACTTTCCATGTCCCCGAGGCTGTAGCCAAAACCAATTCAAGCTGACTTGAAGT
TGGGTTGATCCGCTTCTGTGCTACCGTGGAAACAACCTCCACCACTGCCATAGATTCAAGTGTGAGTCATCTAGCCGATAN
TGCAAATGAATTCAACGTGATTNCNGNNGATGGNGC

TDC-R 1220 bp

NNNNNNNCNNNTNANNNNNNNAGCAGCATAACATGCCATCCTCTGTTAGTGTAGCCCCACTGCAAATCTCAGCACG
TATACTCAGCAGCCTGGTGTGAGTCATGTATGCTCGGCCCTGAGTTGACCCGCTGAGTAGCTCTTATTAAAGCTCC
AAAGTGTGCTTCACTGGATCCTCAGAAGGATTAAGCCTGAAACATACAAGTAAAATGCACGAGGAACCTACGATTCAAATCT
TGGGTCACTCACAAACCCCTCGAACATCTGGCATTGAACTCGTGGATCTAATGTGGCTTGTAGGTTGGCAACTCCATA
ACAACGCATGACAAGCCATAATCGCAGTCTGAATTTCACCTGTAACCTGCAATTGCCAATCTTGAATCCACAACCGAGTC
AACTCACTCTTTATTCTCAAGTACTCGGGATTGGTGGCTAATGCCTCACCAACAAGTCTGTTCTGACCCACAAGCAAC
AACAAATCCAATAACAAAGCAGCCACTTATGAGGGCTCAGACTCAACGAGTCACCGCTCAACCCCTCAAATATTGCTGA
ACTCGGGACATATGCATGCACTGCCCGTAAGCACCCTAACGTGAATCCACACGTTGAATTCTGCAATATCGCTAGCT
GACTCACTGAATCAATGGCAGTGGTGGAAAGTTGCTCCACGGTAGCACAGAGGAAAAGTGGGATCAGCCATTCCACGTCA
GCTTGAATTGTTGCGTACAGCCTGGGGACATGAAAAGTAGTCTCAACAGTGGTAGGGATTATTCTTATTGCGTGG
GAAAATACCTGCAATTGCAAGTCTGACAAAAAAACTGTGTGTTGATCAGAACATAGACAACCAGCTTCAATGTC
TGCACCGAATTCTCGAAAGCCGGTCGCCGGCGATGAGGGTGCAGAACATGGCCTACTGGNGGTTCTGGAGANA
CACCGCCAGTCCAGANAACATGAAAGGACTTAGGAGATCAGCATGTTAGCCATCCAATCCATCAGATCATTCAAGCTNG
CGCGNNNGNAANCAAGNCANNNNCNTANGANTAAANNNNNNCANAANNTTCCGANAAGCANCNANCTAAC
NNNANNNNNNNNNGCAANANNGGNNTACCNNNNNGNCNTNCCNGGNNTNNATC

UCF-F 434 bp

ANNNNNCNNNCTTGATATCTATGGCAAGTCCCAGTCACCGAAATGCATGGAGACAGGTGTATCTTGTGACTGAATTCTT
TGAACTTGCCACTAGTCAGAAAATTGTGTGCTAACATCCTGTATGCTCACAGATTGCTAAAGAGGAGGAGAAGGGCG
TTTATTGAACNTAANNAGCATTGGAAGGGCATTAGNCTTNCNAATCCCCAATAACNAAAAATTAAAATACGA
GAAACCCACATGGGATTGCAAAAAATTGAAAAAATATGGCGCAAACATTACAATTGGCCCCCCTTTCAAATGTACCCC
GTGCCTCCCCGTGCTTAAAGGAATTCTACCTATAAANGAAAAGGAAAGAAAATATCCCCGAAAGTTAACAA
TTGCCCAAAGTTGAAA

CRF1-F. 470 bp

NNNNNNNNNTTNCCNNNNTANNANTGTATGGCAGTCNTATTCTGAAACCACGGAACCGACTCCCACCGCAGC
CCTCGCTCTATTACTACCACTTTATTANNTGAGTGCTAACATCCTGTATGCTGNCCGATTGCTCNAGGATGAGAAGGGAT
TTTTGAACCTGCTCTACCATGATCGGATATACTTCCAACGCNNAANCCCATNTTANAAAAACAATTAAATTCCNGAGG
ACCACCTTGGGAATTGAAAAATTGATAAAAANGTCGGAACACATATGAGTATTGACCACCTTGATGTGNCCGTG
AACCCACAGCGTGACCGTTAAAGTGAATATCACACAAATAAGGAAAAGGAAATGAAACTATATCCTGCAAGGTTTATTATA
TCGAGTGATTGAATACCGCTTCAAANNTAGAACGGATTCAATCAANAT

CRF1-R. 157 bp

NNNNNNNNNNNNNTTCCANACTCTGTAACCNCACCTTCTGAACTTAATAATGTTNANTATTCAACCTACA
CCTGTCTCCATGNTTNCNGTTGGAACTTGTATANNCTTAGACGCCTCAATATTATGGCGATGTTAAT

CRF2-F 513 bp

NNNNNNNNACTTCTGANAGAATGGCCGCAGAACCTAATATTGAGGAATGAAAGTAAATAACCTGAATAAGACAAAGA
ATACCAACGGCCATATAAACATTCTGAGCTAATAAGAGGAAAAGGGCTTCCAAATGTGGAGTAAAGCAATATAGTC
TAATCCAGCAACAGAAGAATAATTAAACAGTTGAAACCTATAATCACCACATATTGCAATAACACTACTTTGTCTGGCT
GCTCATTGACCTTCAGTCAAATGCACTATTACCAATAATACATGAACCTTGCCACATACCTGTGAAGCTGCTGGACAACC
TCCGTGATCATTCTCACCAGAAAATGAAATTCCACCCACTAGGGAAACGGGAATGCAACATATTCCCTGAAAGCTTAAT
TATATGGAAAATTAAAACCNCTTCAAATTAGAACGCATACTNACAAAACGGAATTGGGAATANAAATNAAATGA
TACCGCATTNNN

ANEXO 3.

Protocolo de extracción de alcaloides de *Uncaria tomentosa*

Plantas de invernadero

1. Se toman hojas frescas del invernadero (apices)
2. Se pesa 1 gramo de planta.
3. Se macera la planta utilizando un pistilo y mortero con nitrógeno líquido.
4. Se coloca el macerado en un tubo Falcon de 50 ml.
5. Se agrega 1 ml de solución de Hidróxido de amonio al 10%.
6. Se incuba por 5 minutos.
7. Se centrifuga la muestra a 14 mil rpm y se transvasa la solución de amonio a un tubo falcon de 50 ml nuevo.
8. Se agregan 5 ml de metanol a ambos tubos por separado.
9. El tubo con el precipitado se centrifuga y se transvasa el metanol a un tubo nuevo.
10. Se corren en una placa de TLC 40 ul de cada muestra.
11. Se observan bandas referentes a alcaloides de *U. tomentosa* en el metanol extraído del precipitado.

Plantas *in vitro*.

1. Se toman las hojas y se maceran utilizando pistilo y mortero con nitrógeno.
2. El macerado es colocado en tubos de 2 ml. Se pesa el macerado para uniformar las muestras.
3. Se agrega 300 ul de amoniaco 10%
4. Se incuba por 5 minutos
5. Se centrifuga por 20 minutos a 14 mil rpm
6. Se descarta el amoniaco.
7. Se agrega al pellet de células 300 ul de metanol
8. Se incuba por 10 minutos
9. Se centrifuga la muestra por 20 min a 14 mil rpm
10. Se pasa sobrenadante a un tubo nuevo (se descarta pellet)
11. Se incuba a 65 C hasta evaporar
12. Se agregan 25 ul de metanol
13. Se colocan los 25 ul de muestra en placa de TLC.
14. La placa de TLC se corre en una cámara cerrada con 10 ml de fase móvil (etil acetato-isopropanol-Hidróxido de amonio en proporción 100:2:1)
15. Se rocia la placa con reactivo Dragendorf y nitrato de sodio al 1%

ANEXO 4

Cuadro 1A. Propiedades de los alcaloides de *U. tomentosa*. En el recuadro se señalan los Rf correspondientes a cada oxindolalcaloide. (Fuente: Lock, 1995)

	Uncarina E	Uncarina C	Uncarina F (oxindolalcaloide)	Mitrafilina	Isopropetropodina	Mitragyna (oxindolalcaloide)	Uncarina P	Especiofilina (oxindolalcaloide)
Fórmula Molecular	C ₂₁ H ₂₄ N ₂ O ₄	C ₂₁ H ₂₄ N ₂ O ₄	C ₂₁ H ₂₄ N ₂ O ₄	C ₂₁ H ₂₄ N ₂ O ₄	C ₂₂ H ₂₈ N ₂ O ₄	C ₂₂ H ₂₈ N ₂ O ₄	C ₂₁ H ₂₄ N ₂ O ₄	C ₂₁ H ₂₄ N ₂ O ₄
Peso Molecular	368.432	368.432	368.432	368.432	384.474	384.474	368.432	368.432
P.f°C	204-209 209-211	214-219 212-213	96-105	264-268 265-266	138-141 144	214-216 214	amorfo	183-184 185-186
[α] _D ^{24°C}	-85.1 (cO.254/CHCl ₃)	+14.5 (cO.758/CHCl ₃)	-4.3 (cO.758/CHCl ₃)	+7.8 (cO.420/CHCl ₃)	-15.1 (cO.591/CHCl ₃)	+85 CHCl ₃	+91 (cO.21/CHCl ₃)	
UVλ _{max} /Média, nm	208,243,283b							
Actividad farmacológica atribuida	fagocitogénico	fagocitogénico	fagocitogénico	hipotensivo vaso dilatador, depressor	fagocitogénico	antipirético hipotensivo sedativo		
Origen	Mitragyna parvifolia, Uncaria spp.	Mitragyna U. dentata, U. longiflora	Mitragyna spp., Uncaria spp.	Mitragyna spp., Uncaria spp.	Mitragyna	Mitragyna spp., Cephaelanthus, occidentalis	Mitragyna spp.	Mitragyna spp.
Valores de Rf								
Configuración de los carbonos asimétricos								
Isopteropodina	0.73	0.48	0.83		3S, 7S, 15S, 19S, 20S			
Pteropodina	0.72	0.47	0.81		3S, 7R, 15S, 19S, 20S			
Isomitrafilina	0.71	0.47	0.80		3S, 7S, 15S, 19S, 20R			
Isorrinchofilina	0.71	0.42	0.70					
Mitrafilina	0.55	0.39	0.50		3S, 7R, 15S, 19S, 20R			
Rinchofilina	0.36	0.25	0.31					
Sistemas	CHCl ₃ :Acetona 5:4	CHCl ₃ :EtOH 95:5	EtOH: isop: NH ₃ 100:2:1					
Uncarina F					3R, 7R, 15S, 19S, 20S			
Especiofilina					3R, 7S, 15S, 19S, 20S			

ANEXO 5

CUADRO 2A. Secuencias de posibles genes de *Uncaria tomentosa* obtenidas a partir de ARN

IDENTIFICACION	SECUENCIA	SIMILAR A	DETALLE	SCORE	COVERAGE	E	MAX IDENTIDAD
12	TTTATATAGTTCTGTTAGCCCAAGTTCTGTGCATGGAATTCAAGGTTTACACGTTCTAGCCATTCTATAATCCAATGATTCTGATTAAGAAAGCGGTGATATTGGTACATCCACAAAACCGAATCAACAATTAAAGCCAAAAGGCCAAGTAATCACACATCAATCAGACGTTGATGGATTAAGACACCCATATCATCTTCCAGTTCAATTGCACCGTAAGAAAATTGGAACATGACAAAGACGATAAAAGGAGCTCTACGTGTTAGTTCTAAGAACTAGACATCACACACTTAAGTTCATGTTCATGTTATTTATTGTAACTGACTCCTAACATAGACTTTAGTTACTCGTGTAAATAGTGTAGCAACCGTTCCAGTCACCCGTAACCTATTATGCAAGCAGCAAGGCCTTCTCTGCGGGCTTGATTAAGATGCACTGTTGCTCTGGGGCTTGTGATTCAGGTCAGCTGGTGTCTTCCAGAAAGAGTCTCTTCCGGTTTTGAAACAGTGTGAGGACTGCTTCCGGCTGTACATTACCTTACTGTCATTCTGCTCTTAAGGTCAATGTCAAAGATTCCACACCTCCATTTCGCTAGCACCTATTACAGCTCCAACACACCTTGGCACGACATGCAACTTGAGGACAACAGTCTGAGACATGATTGATAATGGTTCTGAAATAAGATCAAAGCAATTATGCAAAATAGTAGAAGAAGAGAAAGCAGATAAGTGTAGTTGGCGTTCGGCTGTACATTACCCCTTACTGTCATTCTGCTCTTA	FJ619048 .1	Jatropha curcas copper chaperone (CCH) mRNA, complete cds "genetic determinants capable of conferring abiotic stress tolerance in Jatropha curcas"	242	0.28	2E-60	0.82
23	TTTTGTTACGCATATTTTCCACTCTTAAGTTAACCAACCACTAGCCCACCCCAATTGAACCTCTGTGCACTGCATTATGAAATCGAGAGGTGAAAAATTACAAACAAAACCTTGAAACATGGCTTCCATGACTATGACAGCCCCATTTCTGAGTGGCTCATCTGCAACCACCAAAAGAACTTCAAAACCGCCACC GCCGGCCGCCGCGGACCAGTCATGGTCAGGGCTCAAAGGTGTGAAGCTGAAAGATGGTAATGAAACAGGAAGAAAGCAACCGGAAGGAGGGATTG GTATTTGCTGGTGCAGCAGCTGTCATGCACCCCTGCTAAAGCTGCTTGCTGACGAAGTAGAGCCAAAACCTGGAACTCTGCAAGCAAAGAAGAAGTATGCACCTGTCGTGTTACGATGCCACTGCAAAAATTGCCGAAATGAGAA GATTGTTAGTTGAGTAATCTATTTTATGCTCATTTGTTGGTATTGGAAAGCGTAATGCTACTCTTCTATAATGCTAATCGTTCTCATTTCTAGA GAAATTTCATGTTCTCGTCATCAATTCTATGAGTGGAAACAATTGTT TAGAAACCTTTGGACATTACAATATTCCGTAGTTCACCCCTAGTGATTAATCTTAGTTCTATCTATGCAAGTTGGATAGAATTGTAAGACCATGTCACCCACACAGCATTGACATGAAAGAATCGACGTCCAATTGGAAATTGAA TTTCTAACACTCAATGCAAGTAAATTCTAAGTCCCCATCACGGCAAGACCTCTGAATACTCAGTCCCTTTATTGTTAAACGAATTATCTTGTCTGGTCAATGAAAGTAGGCAGAGGATTACCTGCTGAAGG	XM_00251 3448.1	Ricinus communis Photosystem II 5 kDa protein, chloroplast precursor, putative, mRNA	152	0.29	4E-33	0.7

	AGTGCCCTTCCTGCCCCGGTGAGCACTGCATTTCTTCCCTGGCT ATCACTAAGATCACTCCTTCAGGACTAGTAGTTGGTGAAGTCCTCCCT AGTTCATGCCATTCTAAGTTCATAGTAGCGATTACAACAAACCGCTG TGTAACCGTGCCATTCATCGAACAAATTCCACTGTGTAATCGTG						
53	TTTTTTTGAAACAATCTGAGCTGAATCTTGAGTAATAAAAACCAAGATT ATCTATTAAATGCACATGGAAAATATTCAAGAAGCAATCAAATCTGAACCT GATCAAATGCTTGACAACCTAAAAGCCCTAATTTTAAATAAAAGTT CCTAAATATCACACATTGTATAATCAAACCAAAATAAGATTAAATA TCACAAACACATTATAACAATCAAACACCACAAATAAGATTGAGGAGAACAC CGCTTAGTCACACCTCTCAATCTGGGTCCAGCTCCACTACCCACCGCTGGG AGTCGGACCATCATCATCATGGAAACCAACCCGTGTACCCACCCAGCACCCGT GTACATCTTAGCAATGATAGGGTGTGAGATGCTCCAGCTCCTCATTTT GTCTCAAACATCAGCCTCAGCTAGTGGTTGCCATCCAGCACTGGAT GCACTGCTCAATGGCATCTCAATACTTTCTTATCAGCTGGTGGAGTTT GGAACCAATCTCTCGCTTTCACTGTGTTCTCATATTGTATGCATAGTT CTCCAGAGCATTCTGGCCTCAACCTTTTCTGTGTTCTCATCCTCAGA CTTGTAATTCTGCTTCTGAACCATCTCTCAATATCCTCTAGAGAG TCTACCCCTGTATTGGTGTGATCTTATTCTCTGCCAGTAGCTT GTCTCAGCAGACACATTCAGGATACCTTACGATCAATGTCAAAGCACAC TGTGATCTGAGGAACCTCTGGAGCAGGAGGAATCCCAGAGAGCTCAAA CTTACCAAGCAAGTTATTGTCCTGGTCCTTGTCTCTCACCCCTCATAGAC CTGAATCAACACTCCAGGTTGATGTCCGAGTAGGTAGAAAAAAACTGCTC CTTCTGGTGGGATGGTGGTTCCTGGGAATCAAACAGTCATGACACC ACCAGCAGTTCAAACCAAGAGAGGTGGGGTGAACATCCAACACAGGAG ATCTTGACACCTCTCATACCCCTCACCGCTCAATATGGCAGCCTGAACAGC AGCACCGTAAGCAACAGCCTCATCCGGATTAAATACTCTGAGAGCTCCTT CCCATTAAAAAAAGTCTGCAACAAATTGCTGAACCTTGGGATTCTAGTGA ACCACCGACAAGTACAACATCATGTACGGAACCTTATCCATCTAGCATC CCTCAAACATTTCACAGGTTCCATACACTTCTGAATAGATCCATGTT GAGCTCTCAAACCTGGCACGGGTAAATGGTGGAGTAGAAATCAATGCCCTC GTATAGAGAATCAATCTCAATAGTTGTCAGCAGTGGATGACAGAGTCCTT CTTGGCCCTCTCACAGAAGTCCTCAACCTTCAAGAGAGCCCTAGGGTTACC GCTAATATCTTCTTATGTTCTCTTAAATCTGGACAAAGTGATTCAC CATTCTGTTGTCAAAGTCTCCCCCCCAGGTGGGTGTCCTCAGCAGTGGC CTTCACCTCAAAGATACTTCTCAATGGTGAGAAGGGAAACATCAAAGT TCCCCCACCAAGATCGAACATCAACACATTCTCACCACACTGGTGC CTTCTTGCCAGACCATAGCTATGGCAGCAGCTGTGGGTCATTAATAAT TCGCATGACATTGAGAC	XM_00252 7690.1	Ricinus communis heat shock protein, putative, mRNA "heat shock protein 70 mRNA"	1520	0.85	0	0.86
70	GTTCTTGTCAAGCCTCAGCTCTTCCCTCAACTCTTCCATAATCCCATGGTCAAGGGTTATCTCCATGGTCTTTGCTAGACATGTAGGAGCTCATGCTGCT GTCTCTTAGAGCCTGAGCCTCATGATCCTTCCATGTTGCCGTCCATCC ATACTCACCGGTACCAAACAGCATGGAGAGTCACAACTCTATCAGAGAC CACCACCTCTGACCTTGTCTCCAAGAATGTCCTGATGACCTTGCAGAG ATTCTCAAAGGACTCTTTCTGCTCTTTCTCCTCTCATCCTCACT CTCATCATCAAGTTCAAGACCCCTTGGTAGCAGAAACAGCTCTTGCCT TTCAATATTCTTCAATTGTCACAGGCATATTGCAATTGCAATCCACCAT GAAGAGCACTTCATAGCCCTTCTCCTCAGTCGCTCAAGGAACGGAGAGTT CTCAACGGCCTTCTGCTTCCGCGTAATGTTAGTAGATATCCTCTGGCC ATCTTCATCCTCGTCACATAGCTTAAAGACTCGTCAACTCATCACCCT	AF521007 .1	Hevea brasiliensis heat shock protein mRNA, complete cds Plant-pathogen interaction, organism-specific biosystem Protein	1225	0.99	0	0.86

	CTTGGTTGAGTGGTAACGGAGAACCTCAGCCAATTAGCTCTGGCT GTCCTCATGGATTCCAATTAAAGGTTCTTAGAGAAAGCTTCATAGAATT GTTGTAATCCTCCTTATTCTCAGCAATCTCATTAAACATCTCAATGCATT CTTCACAAGATTTCTGATGACCTTGAGAATCTGCTGCTGAGCGT CTCACGAGAGATGTTAAGTGGCAAGTCATCAGAATCAACAAACACCCTTGAC AAAAGTGGAGTATTCAAGGAATGAGTTCTCGCAGTTGTCCATAATAAAC CCTCCTCACATACAGCTTGATGTTGAGCTTTGCGGGTGTAAAGAG ATCAAACGGAGGCCCTTCGGAACAAAGAGAATTGCTTGAACTCAAGCTG ACCTCCACAGAGAAGTGCTTGACAGCAAGATGGCTCCAGTCATTGGT CAAGCTTATAGAAAGAGGCATACTCTCCTGGTGTACTCTCAGGCTT GCGCAACCAGATGGCTCTGCTTGTGATAAGCTGCCACTCATGAGAAC TTCCTTGATCTC		processing in endoplasmic reticulum, organism- specific biosystem <i>N.tabacum</i> mRNA for heat shock protein 82				
91	CTATTTGAAAGGCCGAAATTCTGCCACAGATAAACTCTACATCCA CTCCACCCCCACACAAGCCAACCCCTCATCCACAACAGTCTCTCACTTC CTCCCTCAACTTCACTCTCCATTCCAACCCCCACTCTCCATCTCTCA AATCTCAATTCTCCATAGCCCACAAAAGGATATGGCTCAATTCTCAGC AACTACAGCAACGTCATCTACATCTCCACAAAATCATCTACCCATATAC CCCTTCTCTCTGCTTCTACCCACTCTCTCAGTTCAATTGACCCC AAAACCCACAAAAGTATCTTATCCTCATCCTTATTTCATCTCTTCAAC CCTTTCATCCACTCACCCCTCCTGTTCCCCACCGCGGCCGCTTCAC TGTAAAGGCTGCCAGGGGAAGTTGAGAGGAAGAAACCCATGTCAATAT TGGTACTATTGGCCATGTTGACCATGGAAGACAACTCTCACCGCTGCTT GACTATGCCCTGGCAGCTATGGAAACTCTCGCTCCAAAGAAATATGATGA GATTGATGCTGCCCTGAAGAAAGGGCTCGGGGATTACTATTAAACACGGC TACCGTGGAGTATGAAACTGAGAACCGCATTATGCCATGTTGATTGTC AGGACATGCTGATTATGTCAGAATATGATTACTGGTGCTGCGCAGATGGA TGGTGCGATTCTTGTGGTTCCGGGGCGATGGCGATGCCGAGACGAA AGAGCATATTGTTGGCTAAGCAAGTGGAGTACCTAATATGGTTTT CTTGAAATAACAGGAGGCTGATGATGAGGAGTTGCTTCAGCTGTTGA GATGGAGGTAAGGGAGCTTGTCTTATGAAATTCCGGTGAATGATGAT TCCTATTATTTCGGGCTTGGCTTGTGGCTTGGAAAGCTTGATGGCTAA TCCTGGTATTAAATAGGGGTGAAATCAATGGGTGATAAGATTTATGAGCT AATGGATTCTGTTGATAGTTATTCCTATCCCACAAAGGCAGACTGATT GCCATTGGTGGCTGTTGAAGATGTTGTTCAATTACGGGAAGAGGGAC AGTGGTACTGGGAGGGTTGAGAGAGGGACTGTTAAGGTTGGGAAACTGT TGATCTAGTGGGTTGAAGGAAACTAGGAATACTACTGTTACTGGGTTGA GATGTTCAGAAGATTTGGACGAGGCAATGGCTGGGATAATGTGGGTT GTTGTTGAGAGGTATTCAAGGGCTGATATTCAAGAGGGATGGTTAGC AAAGCCTGGGACAATTACGCCTCATACTAAGTCGAGGCTATAGTTATGT GTTGAAGAAAGAGGGGGTGGAAAGACATTCTCCCTTTTCGAGGGTACAG GCCGAGTTTACATGAGGACTACTGATGTTACTGGGAGAGTGACACAGAT TATGAATGATAAGGATGAGGAATCAAAGATGGTATGCCCTGGTACCGTGT GAAGATGGTGGTGAAGCTCATTATGCCCTGTTGCTGTGAGCAGGGCATGAG GTTGCTATTCAAGGAGGGGGAGACTGTTGGAGCTGGTGTATTCAATC CATTATCGAGTGTATGGTCGATTGTCATTCATTGTCGTATATGATGAAGTCTT GCTTATCCATTCAAATGGTATTTCATTGTCGTATATGATGAAGTCTT TTTACTCTTATCTTATTGTTAGCTTAGTTAAGAAACTGCTGTT TGATCAATGCAAGTAAACTCTTATTGCCTAGCTGTTTTTATTTCTT TACTATTGCTCTGTTAGTGCTCAGGTGCTGTAGGACTATCTAAC CTTCTGATATGGTGTAACTGTTACAAGCTGTTAAATAAGAAGTCTCTGCTA TTGCAATTAGTTCCATCAGTGAATTCAATGCTTATCTGCTGCCAAAA	M94204.1	Nicotiana tabacum translation elongation factor EF-Tu gene, complete cds Plant-pathogen interaction, organism- specific biosystem	1252	0.63	0	0.84

	TTTATTTAG						
92	CAAGCTCCTCAAGAGGGAGAATCCCACCAGCTGTTCCCTGGAATCATGTTCTT ATCTGGTGGGCAATCTGAAGTTGAAGCGACCTTAAACTTGAATGCCATGAA TCAAGCTCCAACCCATGGCATGTCTCCTTCATACGCCAGGGCACTCCA GAACACCTGTTGAAGACATGGGGTGGACGTCTGAGAATGTTAAGGCTGC TCAGGAGACTTGCTTATCAGGGCGAAAGCGA	XM_00251 2947.1	Ricinus communis fructose- bisphosphate aldolase, putative, mRNA D-fructose 1,6- bisphosphate = glycerone phosphate + D- glyceraldehyde 3-phosphate.	255	0.94	7E- 65	0.88
141	CAATCAAAAGAGTTGAAAAACAAAATAAATTAAACGGGTGAGTATCC ATCATGTAACCAACAAGCTAAAGGAGAATTGGCAGGCCAATTCAACCAT GAAAACAAAAGGCAGGCAATAATATCCATCCATACAACCTAAATTCTGC ACCTCAAGCTAAAATAGTACCATTTCCAATAACATGGAGTTACTGCTG AACTGATAAGTTTGATTGGACAAAAGAAGCAAGCTTACAGCCTCTTCC CCGTCTGCCACCCCTTCGGCGAGTGCTATCGTAGGAATTGGAGTTACATC CTCTATACGACCAATTTCATTCTGAACCGAGCAAGGGCACGAAGAGCAGA CTGAGCACCAAGGGCTGGAGTCTTGTCTTGTACCGCCAGTGGCTCGGAG CTTAATATGAAGAGCAGTGATGCCAAGCTCTTGCATCTTGAGCAATATC TTGTGCTGCAAGCATAGCTGCATATGGAGATGATTCACTCTATCAGCCTT AACTTCATACCAACCAGTAATCGAACCATGGTTCTCGTCCAGACAAATC AGTACATGAATGAAGGTGTCTGAAGGGAGGCAGAAATATGGGCGACCCC AAAAACATGCTCCCTCCCTCGTAGCTGGCCGAGGGTCACATTCTCTTC CTTGGTCTCTCTGCTCTCTCGACATTTCACAGTAGCTAACGATAGCTAA GAGATAGCTCGAGAGGGGGAGAGAGAGAGAGAGAGAGATAATGGAATC CTTGGCCGGCAACATCGCTTATGATCAATTGCAATGAAAGGTGGAGA TGACGAGTTAGCTACACAAAGAATTCCATCCATCAGAGAGATGCAATTGA AGCAACCAAATTACTCATTCAAGAGGCTGTAGCTGAGAAGCTTGACATCAG TAACTTTGTGGAAAGGCATTTCGATTGCTGATTGGGATGCTCAGTTGG ACCTAACACTTGATAGCAATGCAGAACATTGCTGAAGCGGTGAAGCTTAA ATTCCGAATCGAAAAGGATTCAATTTCACATCCCTGAATTTCAGT CTTCTTAAATGATCATCGATGAATGATTCAATACCCCTTTAGATCTCT CCCAACTGGTCATGACAAGAGCTATTATGGTGTGGGGTCCAGGTTCTT TTACGGTCGATTATTCTCTCAAGTACCAAAAGAGGTGATGGAAAAAAATT AGCTGCCCTGGAATAAGGAGGATTCAATTACAACCATGCTAAAGAAGAAGT ATTCAAGGCTTATGAAGGCCAACACGCTGAGGATATGGACTGCTTTTCA GGCTAGAGCTAAAGAAGTGGTCATGGAGGATTAATGATGATTGTGACTTC	DQ222492.1	Solanum tuberosum clone 099H05 ribosomal protein S14-like mRNA, complete cds 40S ribosomal protein S14-like	490	0.22	2E- 134	0.86

	ACTCCGCCAGATGGCGTCCCACATACTCGTGTCTTGACTAACATAGGAATGGAGGTGTTGGGATCTTGCCTCATGGAGTTAGCTAAGAAGGGACTGATTGATGAAGAAAATGTGGATTGTTCAACGGCCCCAGTTTATCTGAATCTCCTGAAGAGTTGAAACAAGCTATTCAAAGGAACAAATATTTAGCATAGAAAAATGGAGACCGTGCCTATGATTATGGATTCAAGATATTCTTCAGAGCTCAACAAATTCGTTGGCCATCAGGGCTGTAATGGAGGATGTTGTTAGAGAGCAATTGGAGCGGAGATATTGGATCAACTCTTGATTGTTCAAGAAGAAAACCTGAAGAGCATCTAACTTGCATCAGCAGTTGACTTGACTTGTGCTCCTTAAACGCAATGCAGAGGATTGAGACTTACAAGCCAAAGCTCAACAAATAAAGGAACACTAGAATTGCGACTCTTGATTATTATGATAATAATTACTACTAGTATTGGTTAATCTTCACTTCAATAAGTTGAGTGCGCTGGTATTTCGTCGAGTTCTATTAGATGTTATTGTATTCTCGTCAATAATCTGAGCAGTTTATGAATTAAAGGGTAAATCC						
164	GAGCCCAGTACTCCTGGTCAGTGCACATGATTGTCGAAAGGCTGGGTGAT TACCTTATTGACCAGGGTTCTAAGTCTTGTGGTATGCTGCTTGTCTTAC TCTTTTTTCCCCCTTTTGTCTCTCATGTCATTCTGGATGAGATT TTGGATCGTCTTACCTTTCTCTTGCCTTCCCAGTTCCCATTCT GTTCACCAACCTTGAGTTGGAATTATTGCAAGGGTATGATATTGACATTATG AAAATCTGGCCAAGTCTGCGTGTGCTCAACCTCAAAAGTGAGGATATG TAGTATTCTTGATCAACTATCCATCATTTGATTCTCTTCTTCTT GATGAGCGTCCCTCCGTTTAATGGTATATTATACTTAATGGATTG ATTGGGATATCTGGGCTCTAAATGCAAGTTGTTTGTAAATGTTGTC CTTAATAAACAGTATGCTATGCTGTGCTTGTCTTGT	XM_00363 1743.1	PREDICTED: <i>Vitis vinifera</i> profilin-1-like, transcript variant 2 (LOC100261121), mRNA	98.7	0.13	4E-17	0.91
169	AAAAGATCCGAATAGATCTAGATCGATAGATGTGGTGACACGAGTATATAAGGCATTTAATCTGCTGGAGTCCTGATATTAAATAATTAAATAAA CCAAGATTTACCATGACTGCAATTAGAGAGACGCGAAAGCGAAAGCCT ATGGGGTCGTTCTGTACTGGATAACCAGCACCGAAATCGTCTTACAT TGGATGGTTGGTGTGATGATCCCTACCTTATTGACCGCAACTCCGT ATTATTATTCGCTTCACTGCTGCTCCAGTAGATATTGATGGTATTG TGAAACCTGTTCTGGATCTTACCTTACGGAAACATATTATTCAGGTGC CATTATTCTACTCTGCAGCTATAGGTTGCACTTTACCCAATATGGGA AGCGGCATCCGGTGTGAATGGTTACAAACGGTGGTCCTTATGAACTAAT CGTTCTACACTTCTACTGGGTGTAGCTGTTACATGGGCGTGTGAGTGGGA GCTTAGTTCCGTGGGTATGCACCTGGATTGCTGTCATATTCACTCAGCTCGTGTGCACTGGCTGTTGATCTATCCAAATTGGTCAGGG AAGTTTCTGATGGTATGCTCTAGGAATCTCTGGTACTTCAACTTCAT GATTGATTCCAAGCTGAGCACACATCCTTATGCAACCCATTACATGTT AGGCGTAGCTGGGTATTGGCGCTCCCTATTCACTGCTGTTACATGGGTTCTGGTAACCTCTAGTTGATCAGGGAAACCAACAGAAAATGAATCTGCTAA TGAAGGTTACAGATTGGTCAGAGAGAAGAAACTTATAATATCGTAGCTGC TCATGGTTATTGGCCGATTGATCTTCAATATGCTAGTTCAACAACTC TCGTTCACTTACACTTCTCTAGCTGCTTGGCCTGTTAGTAGGTATTGGTT CACCGCTTACGGTATTAGGACTATGGCTTCAACCTAAATGGGTTAAATT CAACCAATCTGTTAGTGTAGTCAGGTCGTTAATTAAACACTTGGGCTGATATCATTAACTGCTAACCTGGTATGCAACGTAATGCTACAATTCCCTAGACCTAGCTGCTATAGATGCTCCATCTATAATGGATAAAGACCTTGGTTATTGTATAGGAGTTTGTAAAGGGCTTATTGCTCCTTATTGGTTCAAA	EF044213 .1	Coffea arabica chloroplast, complete genome (1300-1500) trnH-psbA intergenic spacer, partial sequence; PsbA (psbA) gene, complete cds; and psbA-trnK intergenic spacer, partial sequence; chloroplast	2108	0.98	0	0.96

214	GCTAAGGGTGGAGTTCACCATACAATGGAAACAATGTTGATCTTGGAAACA GCATGCGGCAAGTATTCGGGTGCTCGCCTTAGTATCGTGTACCTGGT GATTGGGATATCATCAAGTCTCCCGGGGATCACTGATTGTTGTTG ATGACACCACGAGGATCAGAACAGATTCCAAGGATGAGAGGATTTAT TGTGTCACTTATTGCCTGTATTAGAACATTAGTCGTTAAATTGCAATGT AATAGAACATATATCTCAGTTTGTTCTCTTTATGGCATTGAGTT TGAGATTGGTAATTGAATTAACTTCTATGTTACCGTACAAGCATTGAG CTGGTTCCAGCATGATTCAGACCATGGTTCCTACGTTGGTCGGTATT GACTTGTGATTATGAG	XM_00252 8945.1	Ricinus communis 60S ribosomal protein L30, putative, mRNA Ribosomal_L7Ae ; Ribosomal protein L7Ae/L30e/S12e /Gadd45 family	163	0.33	9E- 37	0.86
270	TTCATACTTCTTGCATTCTCACAGAACATCAAATCAAGGCCAGT TGACTTGCCTCCTCCAAAGTGCCTGAACCTGAAGACAAAATGGCATT TGGGTCCTTGACCTCATACTACATCTAGCCAATTCTCCTCAACTGCCCTT GGAAACGTTAGGCCGCTGGATGCAAAACATCGATCACGAATTGCTTCT GGAAAGAAGACGATTAGTCATAAACTTCCTGTTCTAATAGTCACAGCCTT GTCCGCCATTTCCTCGCGCAACTACCGATTCTCTCTGCTGCTGCTGCT GCTGCCTTCTCTAGCTCTCACGTTGCAGAGTGAAGCGCTAAAATTAA GGGTTTCCACCC	XM_00363 2286.1	PREDICTED: Vitis vinifera 40S ribosomal protein S24-2- like (LOC100853567) , mRNA	286	0.72	9E- 74	0.83
273	AATGCCTTCGAAACAAACCTCCAAACCCAATCTGCTGAGGGACTTGGTGGC ATGGACTTTATCAGCATTGTGAATATCACTTACGAAAAGCAAGCCCAG CAAAAGACTCCTCAAAACAGGGTCAGGCTTAAATTTCATAAGGTAATCT CCCATGGACAAAGCTATTATAATCATCATAGCTAAATCATAAACCAATTGC CCTAAGGGCCGCCATTGTGGTCCGTAATTGGTACAGAAGGGTGCACAA ATCAGGGATTGGTCTTCTATCCAAGCTTTCACCATATAATCTTGA AATATTGGAGGCATGCAGCTGCCAGACAGAACTCAAAGGATAAAGAGT ATCATCCAGGCTAAATAAAAGGCAGTCGTACTTTGCCTTGAAACCTGTCC ATAGCGGCCCTGAACTCCATCTGATATGGAACAACAGAAATTGCAATGAA AACCCCGAACAGCAAGGAGAGAGAGAGAGATAATTGCGTCTGTACA GAGAAATTGAAAGACACAAAGGGAGAAAGAGAAGGGAGCAGAGGGAAAGTC ATGGGGAAAGATGTTAGGAGAGGTTTGGCAGTTGCGTGTGGCTTAAG GGTCTGACACTATGACCAAGTTCATGATTGTTGCATAATGCGATTGGA GGCCAGGATACTGTAAATTCCCTTTTCTATTGGTACGTAAACGGGAAA TATGTGCAAGCTCTCTGACGGCTAATAAGAGGGTCAACATGGATGCCAG AGTATTGGAGCCTCTGTTTGTCAGATTGCGAGTCCTGAATTGCAAGCAA GCCTTAAACCTCAGAGGCAACAGGAAAGAAGTGCCTTCAAGGATGAAA GAGTTGGCTTACATTGTCAAGGAAATAAGAATCCATTGAGTGGCATACGC TTTACTAATTCACTTGGAAAGCTACAGATTAAACAGAACCAAAGGCAG TTGTTGAGACAAGTGTGCTTGAGAACAGATGTTAAAGATCACAAGA GATGTTGATTGGAAAACATTGAGGATGGTTTTGGCAGTTCAATTAGAA CTTGAGAAATCAGAACATTCTACTAGGAAGTGTAAATTGATGTCGTTGTTAGC CAAGTAATGTTGTCAGGGAAAGGGGCTGCAATTGATCCGGGATATT CCAGAGGAAATCAAACGCTAGCTGTCTATGGTGTCAAGTGAGAACATTCA CAGGTATTGGCAGATTGGTGAATATGGTGTCAATTGCAACCCCTCCG GAAGGTTGGGTGGAATTCAACTAACAGAACAGCTGAAGGAAATTCTGTT GGGATAAACATTTCGACATTGAATTAGGATTGTCGCCCCGGTGAAGGT CTTCCTCTGAACCTGTTCAAGACATGTTCCATATCAGTCGATGGTGACC CAAGAAGGTCTGGGCTGAGCATGTGCAGGAAAATTCTGAGGCTTATGGAT GGAGAAGTTCACTATTAGGGAGTCTGAACGATCCTATTCTGATTAAC CTTGATTACCTATGCAGCAGAGAGGTTCAAGAACATCTGGCTTAGTCTATG AGCAGCTAGGATTGACACTCAATTTCAGCATTGACCTGGAAAGTAAATAC TGTCAAGCCAAGCTCTGTAAGGTCAGTCAGTCAGTCAGTCAGTCAGTC	M65023.1	Tobacco phytochrome B (phyB) mRNA, 3' end	973	0.52	0	0.81

	ACATGCATTTCAGCTAGTTGGACC GGTTTCTGCCGTTGGTGCACCA TGTTAGCTGTTGCCAAGCTGGGTTAAAATCGAACCTGATGTCATATG GAGCTGGTAAGTTGCAGTGACGCTGTCTTAGTATAACAGTGATAGGT CATCAATGATTCTCAAGTCCCTGATGACTGCACGTGTATAGTACACTGG GCCCGAAGATCAGTTCAGATGTTGATGCCATAGCATAAAGATATCACCG GTGATATGGTTCTA						
305	CGAAAATGAACATATTAGCAAAGCATATCCTGCCGTGATATGCACTAGAT GTGGGGATTTCTTGTGTTCCCAGAGACAGGAATCCAATTGAACGAGAGA AAGAAGATATATTATAAACATATTCCACAAGAGTTCAAGCTAGGCAACC ATCAACAGTTGGAACACAATCTCAGTAACAGTACTGAAACAGCTTCAAC TTGCTAATGTTGATAAATTAGACACAGGTTGAAACCCATACATAGAATT GTAACCAACTTCAGATCATTCTTAAGATGGGGAAAGCATGTAGACAGAT CAGCTTGGGTGTTTGCTTCAGCATGTTCCCTGCACCTCGCCTCTGAGG TAGTACACATGAATGTCATGCAAACCTTGCACGGATGGTCATGGCCT TTTTGTGGTTCCAGCTGACTCCCTTGGCAGCGTTTCATCTTGTCCA AGTTCCCTCACGGGCCATCTGGACTTTGGCCATTGCCCTCCACCCATGG CTGCTGAGCTGCTGGCTCCCTCTCTGATAGAATTCCCTCACTTAA CCCTTGAAGGCAGATTGGAATTCTATCAAGAGAGGAGG	FQ397092 .1	Vitis vinifera clone SS0AEB7YN18	253	0.39	9E-64	0.84
377	GGACACAGCTTCACCGTTACAAACACTACTAATGCCATCTAGACAC ACTTCACTTATTAATATATACACATCACAGACGCCAAAATAAA GAAACCAAAAGAAGAAGAAGAACCCATGGCATTCCAGGAGTCTAACACAT CTGGTTCCATCTTCATCCTCATCTCCATCTTCACCATTCTAGATCTGC AGTAAGCTATCTTCACATCTAGATCCCATTTCACATCTTCTTCA TTTTCGTAGTTTATTTCTGTTGGTCGTACCTTCTTGACTTAGTG TGTGTTGTTGTAACATATAATGCATGCA	XM_00246 6741.1	Sorghum bicolor hypothetical protein, mRNA	44.6	0.1	0.46	0.88
395	AGAGTTCTTAATTCTACTGGATAATGAGGACTCTACTTACAAGTACTAT GAGGTAATATTGGTTGATCCAGGCCATGGCGCAATGCCAATGACCTAGG ATCAACTGGATGTGAATCCAGTCCACAAGCACAGAGAACCTCGTGGGCTT ACATCTGCTGGAAAAAGTACAGGGGCTCCGAGGAAAGGGACACTTGAAC CACAAAGACGACCATCGAGAAGGGTACCTGGAAAGAGGAATCAAACCTCTC TCCCTTCGACGCTATCGTGTAGATCTTGAGGTTGCTTCACTGTTG GCTATTTCATTTGGTAATCCAGTTATCTGTGAAGTGCTTAATTGG CGGATTCCATGGCTTGAGTTAAAGCTTGTGCTTGAACATGTTATCA TATTGACTGTCATGATTATATGGTGGAGCAACGGTTGAGAATATTAA CAATCTTTGTTACCTTACGATCCTGGTCTGATAATTAAACATTATGGCT CTTGAAAGTATGGCTCGTGTACCTGAA	XM_00253 0615.1	Ricinus communis ribosomal protein L15, putative, mRNA	211	0.5	4E-51	0.81
417	AGAGAGAGAGAGAGAGAGAGAGTACTCAACTAACAAAGCAGGTGAAGTAA ACGCCGCCACGCATTCACTGATTCAACACACACTCACGCACACATTCTAGC CGCATTTCACTACGTTCATCGCCGCCGAAACCCAAATGAGTCTCCGGT AGATCGTGGCCGGTAGCGATTAGGATCCGGAGAGTCGTCGACCTAGGGTT CGGGATTTAATTATTTCTCGGAGGAAGTGTGGATTGATTAAAGT AGTAATTAGTTTATGGCATCGGAGGATGTGAAGAGCAGGTGAATCGCG GTGTCGAAGATTGTGAATTTCGTGAAGAAGCGAAGCTTGTAGAGAAGAA ATTAAGCCTACTAGTCATGCTCTCAGTATATGCAAGTCTCGCGCC GGTGGTGTGCTGGTGGCGTATCACGTACTGCTGTAGCCCCGTGAAACGG CTGAAAATTTCAGGTTCAAAATCCGCATAACATAAAGTACAGCGGT ACAGTTCAAGGGCTTGAAGAATATTGGAGAAGTGTGGGTTAGGGATTG TTCAAAGGCAATGGAACTAATTGTGCTCGCATTGTCCTGAAATTCACTGAGTA AAGTCTTCAGCTATGAGCAAGCTTCAAGGGTATACTGTGGCTATATCGG CAGAAAACCGGCAATGAGGACGCTGAACTAACCTCTGTATTGCGGCTTGGG GCAGGAGCCTGTGCTGGAATAATGCCATGTGCAACTTATCCAATGGAC	XM_00253 2617.1	Ricinus communis Grave disease carrier protein, putative, Mrna "mitochondrial carrier-like protein mRNA, complete cds; nuclear gene for mitochondrial product"	1006	0.6	0	0.83

	ATGGTACGAGGAAGATTAACGGTGCAGACAGAGAAGTCTCCTTACCAAGTAC AGGGGAATGTTCATGCTTATCTACTGTTCTCCGGGAGGAAGGTTACCGG GCTCTTACAAGGGTTGGCTTCCTCTGTGATTGGAGTTATTCCATAATGTG GGTCTCAACTTGTGTATGAATCATTAAAGATTGGTGATTAAGGCC AAACCCTTGGGCTCATTGAAGACTCGGAATTAAGTGTACAACTAGGCTT GCATGTGGGCTGCTGCTGGGACTGTTGGTCAAACGTAGCTTACCCCTT GATGTTATTGCAAGAAGATGCAGATGGTGGGATGGAAAGATGCTGCTCT GTAGTCAGTGGTGTGGGAGGCAAAGCTCTCTGAGTATACTGGCATG ATTGATGCCCTCAGGAAAAGCTGAAGGCATGAGGGTTCAAGAGCTTGTAC AAGGGTCTGGTCCCCAAGTCAGTGAAGGGTTGCCCCCTCAATAGCTATTGCC TTTGACATATGAGCAAGTGAAAGGGCTTACTCGCGTTGAGATCAGAATA TCAGACTGACTCAGTGAAGCATTCAGTTGCAAGTTTATTGCAATAGAGATT TTGTTAGGTAACTAAGAGTGATTGCAACTGGCGCTTGTCTCTGTCCA AGAGAGTGAGAGACCTGCTCTGGCCGTGTCGTATGTTGCTCTGT AGTCGTGTATGTTCAATTCTGATTATTAGCATGTAAGCTGCCATTGAGT GGATGTGCAATAATGACTCTGAGGAATACTGCAATAATTGCTTGGGTG TCCGCTAATGGTCTGATAAACGATAAGTCATCAGATAATTGTTGCTCT ATGTTTCAATTGAAATCTTGCTGAAATTGATGGCTTTTCAATTAAAT TTGTTGAGAAATTACTCATTGACAGCATGACTAGGCTGCCCTGCTCTT TTAAATTGGAAG						
425	TGGCAGCAAAGGGCAGCATCATATTCTTTTCCCTTGGATCTTACTCT TCTCATGATTAGTAGTGTACAAGTAGTATCTTAATTGAACTCTGTGC AGTCAAATAAATGGAGGACATCTTGCAGTTGCGCTACAAAAAGGA CTCACATCTAATATACCACTATTACATATGCAACAAACATGAA GCCAAATCTGGAGCTAGGTCTAGGGCCCTGATTATTCTGTCACTGAAT GAGAGCATATCAAATCACAGGTCGAGTGTGGTTGAACACACTAGCAAATT GAACCCGTGAAAGGGAGGAATTATGTTGACAAAATCTAGCATGAGG TCAGCTAGAGCCAACATTGACGCCCTTCTACAACTTATTCAACCTT TCAAGAGCAGCTGCCATTGAGGCTGATGCCCTCCTCAAGTGTCTTCTT TCCACTGTGTTAAAGGCCCTCAAGAACATCCCCCTCCACCACTCATGAAG CCTTCGACTACTATTCCACACTCTAGTCGGGACTAACCTCTTCAAGT TCCTTAACTCGTGTATGAATCAAGTTGCAACATAGACTTCTCTT TTTCTCAGAACCGAATTCCACAGTCTTCACAAATTTCCTCTGTTACC ATGCATCCAGCAGCATTCCCACTCCACCTTGAAACACAGCTGTACTTCT GCTGAACCAATTGGCTCTGTTCTCGACAAGGTCCAGCAGTCCTCCATT GCATTTCGCACATCAATAAGTTCATAGATAACTTTGTACAGCCGAATC TCAACACTCCTGCTCTGCACTGCTTCACAGAACCCAGGAACCTTGCACA TTAAATCCAATATAATGGCTACTTGCCACAGCAAGATCAACATCACTG GTGCTAACATCCCCAGTTGCTGTAACAGGAACCTCAGAGTCACGTATCT TGTGGGAGGACCTGAAGGGTTGTTAACAGCTCTATAGATCCCTGAACA TCAACCTTACAATAACATTCAATTGGTCAAGTCCACCCCTGCTTCT CCTGCTGAAACAGCAGAAGCCAAGGAAGAAAGGGTACCTTCCATCTCCA GCTTTTGCTGATAGACGTTCTCAATGTCAGCCCGTAACCTCGCT TTTCACCGAGCAAGGTCAAGGGAAACCAACAAACCTCAAACCTCATCACCAGCA AAAGGGACATTATTCAATCCAATGACCTGCACAGGTATAGAGGGCCCCACT TCATCAACACGTTCCCACCATCATGAAATAAGCCCTAACCTTCCAAA GCTTCCCCGCAAACACTACATCTCTTCAACGTTCCATTGCA ATGAATGTAGCAACAGGTCTTCTAGATTTCAGACGCTCTGCCCTATAACT GTGCCCTTGCATTCTGAGGATTAGCCTCAGCTCTGCAACTCAGCA ACAAGCATGATAGTTCCAATAATCATGACGCTCTCCTCTTAAGGGCA CTGATCTTAACCATTGGGGTGTCAACCACCCAGTCTCTGGCATCAAACCA	XM_00253 2781.1	Ricinus communis mitochondrial translational initiation factor, putative, mRNA	1415	0.52	0	0.8

	ATTGAAGAAAGATCTGCATTACTCTATCTGGATTAGCTCCATCTTATCA GTTTTATGTAGCAATAACAATTGGCACTCAGCTGCTTGCGATGAGCA ATGGCCTCTCTGTTGAGGTCGTATCCCACATCAGCAGCAACTACAATA ACGGCAATGTCCGTTACTCTGCTCCACGAGCTCTCATGCTCAAATGCC TCATGTCCAGGAGTATCAAGGAAAACGCAAGTCTGTGGCTTGCCATCAATA GGTACTTGTACCTGTATGCCCTATGCCTGAGTTATCCCACCTGCTTCA GATGCAGGCCACCTTGTCTTCCTTATGTAATCCAAAAGCGTGGTTTCCA TGGTCCACGTGCCCATGATAGTAAGAACAGGAGGCCTGTCTTCAACTTG TCCAAGTCATCCTCGAAAAATTCTTCTTGCCTTCCACT TTGACAGGGACAGCATCTATAACTCCACATCATACTCCTGACAGATCATC TTCACCATGTCTTGTAAAGAGTTGCACACCATCAGGTTGATTCCCTTC GAGTACAAAGATCCAAAATTTCACCTCACTAATGACCAAGTTGAGGCC AACTCCTCAGTTAGCATACTTCTCGCAACCTCCAGGATTCAACCTA ACAGGTGCAGCATCTTAGCCGCTGGAGTCAGCAGCTTACGACTTGCC TTAGTCCATTTCCTTCCCTTGCCGTGGAAAGCGCCAGGAATAGAAACA TCAAGCTCTGGAATCTCTCATCAGAAAATATCATCAGCATCAACCATACGC TTGCGTAGACTTCCAGAAAGCACACCCCTTTACGAAATTCTACCTTGGAC TTTCCTCTGGACTTCCATCTCGACTTCCAGCTGACGGCCCTT CCTGGTTTGGAGGGCTAAAACAGCTTGAGCAATCAAAGGATCAACCACT GACTTCTAGAAGCAAATTGTCAATCAATATTGGTTTCTTGGTC TTTGCAGAAGGGTCAGTTACATCGGAGGTCAAGGGTTGGGCTGCTCT ATATCCTCAGAATACTGGTTCTTAACCATAAGGGGGAGGAGCAGCGGAA GGCTTGTGTTGAACTTCTGGACTTCTGAGGTTGGCTGAGGGGGTCT AGAGGAGAAAGAGTCTGAGATTCAATCTCCCTGACCAATTAGTTTGGC TCTTGCTTGGAGGTCCACAACCTTCTGTACAGTCCAACGGATTCCCC TTCCGCCACACACTCTCACTGTCTAGACTCTGATTGGAATTGGACGT GAATTGACAACCTTACCTTCATTCTTAGCACCACATTGATGGTGT CTATTAAGTGACACGCTAACCTCTTACTTGTGTTCTAGCTCTGCCTTC TCCAATACCTCGCAAGTGACTCAATCACTTATTCTCCTCCTCATCA TTGTTACACCTTCTCATCAGAATCTGAACATTGGAACTATCCAA TCAAGCGAATCCATTCTAGAAGGGTCTCAGCTCTAGAATCAGATTTCAGC TGAGGTTTGGAGCTGGCTTAAGTACAAGATCAGCACCATCGTCACTATT CCTCTAAATGTGGAATCAAGGGATATTGAAGTACCCCTGATCAGCAATGAA TCAGTGGTAACAGAGTATCTACACACAGACACATATCTCCATCTCTACCA ATCCAAAACGGGAAAGGTCCAAAACCTCTAGAATAAGTAGCCCTCTA TACAATGAAAATGAGCCTCTAAATTCCCAGAAGAACAGTGCAAGTGCAA CCACTTCCCAAGTTCCACCGGGAAAGCAATAGCAGCCATTGTTCTTCTACA CTATCTTAATGCTACCATGGACCTTAACAGCTCTAAATTACCCCTCAA TTCAGCAATCCAAGAAAACCCCTCACCAATTGTCGTCTAAAAATCAGGCA CTTTGCAAAACTTGTGTTCTCAGAAGAGTTCACTGGGACTGACTGGCT TTGGGTTTATGTTGAGCTTTCTAGCTCATGTTGGCTTGTAAATAAGGTG TCTGTTGAGAGTGAAGGAAGAGAATTATGAAAAGGAAATTCAAAGAGGTGT GTGGTTGAAGGGGAAATCCAAAGTATGGGACAGTGGTTGTGGCTGCC TC						
430	AACGTGTCATCACCAGCTCCGCCCTCGACAAGGACCGCAAGTCAGTCTC GATCGTAAGGCTAAGGGACGGGCTGCTGCTGATAAGGATAAGGGTACTAAG TTCACTGCTGAGGATATTATGCAGAGTGTGATTAGTTCTTGTGCTTCA TTAATTGCTGTTGTTAGATATTGGGAGAGAGAACATGGAATTGCTGA TGGGATTATTATCTTTGATTAATCAAATGCTGATAGTTGATGCTT GATATTGGTTCGGTGAATTAT	AK336416 .1	Lotus japonicus cDNA, clone: LjFL1-002- DE10, HTC 60S ribosomal protein L26-1-	168	0.48	1E- 38	0.88

			like				
495	CTGCAACTGATCTTCTGCTTTGTACATCAAATTATCATACAAGAAA ATCCCCTGATTCTCTAACATCATCATCTGAAAAAATGGCAGGTGAGAAA GTGGTTCTGGATAGCTATGTGAGCATGTTGGCATGAGGATCAGAGTG GCTCTAGCTGAGAAGGGTATTGAGTACGAGTACAAAGAAGAAAATTTGGGT GACAAGAGCCCACTTCTTGAGATGAATCCAGTTACAAGAAAATCCCA GTTCTGATTCTAATGAAAGGCCTGTTGTGAGTCCTGTCATTCTTCAG TACATAGATGAGGTGGCATGACAAAATCCACTTGCCTCATCTGACCT TACAGAGAGCTCAAGCTAGGTTCTGGGCTGACTTCATTGACAAAAGATT TATGATGCTGAAAGAAGGATCTGGACTACCAAGGGAGAAGAACAGGAAAT GCCAAGAAAAGAATTCATAGAGGTCACAAGACTTAGAAGGACAACGGAA GATAAGCCGTACTTGGAGGTAAAACCTTGGAGTTGTAGATGTAGCTTG ATTCCTTCAACACTGGTTTATACCTACGAGACTTGTGGAAATTCAAG ATGGAACCGAGTGTCAAAGCTGGTGGCATGGCCAAGAGATGCACTGGAG AGGGAGGCTGTGGCTAACGTCCTGCTGATCCTACAAGAATTATGACTTT GTTCTGTTCATGAAGAAGAGGCTGGGATCGAATAGTCTTTGTCTTTA CTTTGGCTAAATGGTGTCAATAAGTCTAGTCATGATGAATATTAA GGGATTGCTGTTGTTAGAATCTGAGTTGTTGCTGGCTGCGAG AATAAAGGGTACTTAGCTTGTGTTCTGATATGGTGGACTGGTAGAAAT GATGTTTACTACCACAAAGATATTATAGGTGGGATGCTATTGCTGATT GTGTTTACCCAATTGGGGAGACTTGTGTTCTCAATTGACTATGATCA CACAGTGTGAAAATATGTGTTGAAATCTCATTTAGGCTTCTGTT GAATATTACCTCTCACATGATGGTGAT	XM_00226 2608.2	PREDICTED: <i>Vitis vinifera</i> probable glutathione S- transferase- like, transcript variant 1 (LOC100259478) , mRNA GST_N_Tau; GST_N family, Class Tau subfamily; GSTs are cytosolic dimeric proteins involved in cellular detoxification by catalyzing the conjugation of glutathione (GSH) with a wide range of endogenous and xenobiotic alkylating agents, including carcinogens	298	0.53	6E- 77	0.77
530	ACAAAATACGAACACTGAGTGAACATAGACCAGTCGCCCTCATTTCAA AAAAACCAACCAACATCTGAGATAACAGTAATCAAAGTGGCCCTTAT TATCAATAATAGATAGCAAAGAAAAAAAAGGAAATAAAAAGG CAGCCCCGGCTGGGTAAACGGGTGGGTCGGTTGCCGGATCAGACTAGAAC CTGAGCTGGTGAAGAACCGAGCGGTTTACAGACTTGAACCTCTCCTCA AAGCAGGGCCTGGTCTGCTAGCGCGTTGACCTTCTGTCGCGGGACTGG AGGCAGTCCGGGCGACGACGTCCTTGAGGTCGACGTCGAGGGTGTAGCGA GTGGCATGATGTGGTGTAGTTGACCAACTTGATGAAGCATTCCACCCGA GACTTCTCGCCTGCTTCTCGCCAGTCCTTGGATCACCTTCTCGGG TACTTGATATCCAGCCACCAACAGTGCCGTAGGGGGCGGTACAGAGTT CCCTCGTCAAGGACCTCACTACACACCTTACGTCCGGTAAACGCC TGGAGGACTATCACCGCTTGTGCTCAGGAACTTACCAATTGCT GGCTGGCCGGCTTGGCTGCTTCAGAGCTCCTCCTCCCTCCGCAACT CTCTCTGCTTCTCGATAAAACACCTAGCAAAGCGGAGGAGGAGG AGGAG	FP100644 .1	Phyllostachys edulis cDNA clone: bphyt008f16, full insert sequence "60S ribosomal protein L27- like "	272	0.57	2E- 69	0.79

570	GAAAATTCTTTCCAGAACATCAGATATGAGAACCGTTATAAGGGATATTGGT GTCTTGAAGGCAGATGCAGGAATCAGAGACACATTGGACAATCCTCCAG AGTATTTCCACCCCTCAAAAACAAGGCCCTGACTGGTAATTCTAGAATTTC TGAGATTTCACACCACCTTCGTGGTGGTTATCTCTCAGAGGGAGCTTT TTCAATAGGAAATGGCACAGACAGGTAAATAGGCCTGGAAGTGAAGGTGATT AATGGTGCAAATGCACCCAAGCTGTTGAACCCAATCGGAAGTATGGTT TCCAGCCTCA	EF379384 .1	Actinidia chinensis VTC2-like protein mRNA, complete cds GDP-L-galactose phosphorylase (GGP)	334	0.96	2E-88	0.84
602	ACCTGGCTGACTACAACAGCCAGAAGGAGTCCACCCCTCACCTCGTCCTC CGCCTCCGGTGGCGCCAAGAACGTAAGAAGAAGACCTACACCAAGCCC AAGAAGATTAAGCACAAGAAGAAGAAGGTCAAGCTGCCGTCTGCAGTTC TACAAGGTGACGACTCCGGTAAGGTCCAGAGGCTCAGGAAGGAGTGCCTT AATGCCGAGTGCCTGGCGTACTTCATGGCTAACCATTCGATAAGGCAC TATTGCGCAAGTGTGGCTCACCTATGTTAACAGAAGGGCGGCGTGCAC TGATTGACTGCCCTGAGATGAGTGAATTATATCCCATAATTATTGG TCATGCCCTTAATGAAATCCCTCACTTCAAAACTTTATTAGTAGCG AGTACTTGTGCTAATTGATATCATTAGCCTGTTGTTATTCAAGCATC TTGTTTACTTTCTTTAATACTCCTCATGATACTGTTGGATTGTT TCTAGAATTATATTATGGCTGTTTCAATTCCAAA	XM_00363 2511.1	PREDICTED: Vitis vinifera ubiquitin-40S ribosomal protein S27a-like, transcript variant 2 (LOC100247863), mRNA	381	0.55	3E-102	0.89
645	ATTTTAAAGGGTGGTATCAATTATGTCACATTGCTCCACATGTAGTT CCTCGAGAGCGCAACTTTACAGAACGGCTGGGCGTATAAAAAAAATC ATGCCATCTGTACACTGCGATTGACGTGAAGTTGTTACTTGTGTCAGGGGTGGTATTCTCGATCCTCGTGGCCCATATAACTAACACCCCTAAAGTT TAGCAAGGTTATCGGATGATGATGGCTAGCTCACTTGTGAAGATGGTC TCAATGGATTTCTCACAGCCCTGTTCTCTAGCAGCAACTTTCTATCT CTTGGCCTTACTGTTTGCTATTGCTAATCACTAGTAAAATTCAAGAA AACGATGAAAGAAGAAGAGGGTACCATCCATAGCTGGCACCATGTTCAATCAGCTGAACTTCATGACTGATCTGGCTAGAAAGCATAAAATTCTGAGGTTATGAGGTTATGAGGAGTGTATAGTCTGATCCAGCTAATGTGGAGTATATGCTCAAAACAACTTTGAGAAT TATGGCAAGGGATTGACAATTATACCATATTAAGGACCTATTAGGTGAT GGGATTTCACGGTTGATGGTGACAAATGGCGGGAACAGAGAAAGATATCA AGCTTGAATTCTGACAAGGGTATTGAGGGAGTTAGCAGCGTTATCTTC AGAAGAAGATGTGGAAAAGCTAGCCAACATTATCTCTGAATCTGCAAAATTCC AAAAGAGTAATTGACATTCAGAATCTTCATGAAATCAACGTTAGATTCT ATATTGAGTAGCATTTGGGTTGAATTAGACAGCATGTTGTTCAAGCGAGAAGGCAAAAGTTAGCAATGCATTTAATGATGCAAGTGTGCTCTGAGT CTTAGACGATATGTTGATATTCTTGGAAAGATCAAAAGCTTTAAATTGGATCAGAACGGCAAGTTGAAGGGAGACATAAGAGAGATTGATGATTTGTT TTTAAGTTGATTGTAACAAGACTGAGCAAATGCACACGTACCTGATGAT TCTTGCTGGAAAAAGGACGACCTTTGTCGAGATTCTGCAAGTGAATGAA CCAGATTCAAAGTACTTGGAGAGATAATAATTAAATTCTATAATTGCTGGT AAAGACACGACTGCAGGCACTCTCCTGGTTTTTATATGCTTGCAAA CATCCAGACACTCAGGAGAAGACTGCACAAGAAGTAAAGAGTAACAGAT AGTCATGAGATAACAGACATTGCGAGATTCACTGCAACTTAAGTGAAGAA GCACTTGAAAAGATGCACTATCTCATGCAGCATTGACCGAGACTCTAGA CTGTATCCTGCAGTCCAGTGGTAATGAAAATTTCAGTGTATATGTGCTG ACATGTTTATATCTGAGGAGTGGTTACCTCTAGATTCTAAATTAACTTT CTTTCCTCCAGAAAAAAAGAAAAGAAAATTCTGTCTCATTTCTAACT	DQ099542 .1	Petunia x hybrida cytochrome P450 monooxygenase (CYP704A14) mRNA, complete cds Cytochrome P450 [Secondary metabolites biosynthesis, transport, and catabolism]	856	0.48	0	0.82

	ATGATACTTCGAGCAGAATTCTAGTATAAATAAGTTCCAGTGGAGA TATCTCTTCAAGATTTTTTAAGAACCTGCCCTAACCTTCTTGCTGT TCTTTGACTTCATTAAACAGGGTTTCAAATTCTATGGCATCCCTTAT ATGCTTATCTATGGGTATGCTGCTTAATTGATACTCAGCTTCTGGAT AAAATGATCTGGGAACATGTAGTTCTTACATAAAGTCTTAGTAAGAAGA AAACAACGGGGAAAGTTCATGGCCTCAGGTTCAAGGATCTAGATATCA AGATGGACTTCTACAAAATTCTGGTTCCCTTTGTTGATATCCTACGTT CTTCTGGTCTTAATTCTTACTATTCCGAAATTGTTGGATAG ATGCCAAATATTGTCAAAGTGAATGCTTACCATGCTACAACCTTGATC TAGGATGCAAAATGTGCTGTCAGATGACGCATTGCCGGATGGATTCTGT GTGAAGAAAAGGAGACATGGTGTGTTACCAACCATATGCAATGGTAGAATG AAATTCACTGGGGTGTGATGCTGAAGACTTAGACCAGAGAGATGGCTT GATGAGAATGGTTGCTTCCGGCCAGTGAGCTCATTTAAATTACAGCCTC CAGGCAGGACCACGAATTGCCTGGAAAGGAATTGCTTATAGGCAAATG AAGATTTTGCACTGGAGCTATTGCTTCTTGCTTCAAAATGAATGAT GAGAAAAAGGCTGAAAGTACAGGACGATGCTTAATCTGCACATTGATGGT GGATTACATATTGCTGCTTCCACAGATTGGGCTGCTAGAGGTCTGAAAT ACATAAGATCTCAATCTTACATCAATGAACCCATGCCGTGTCACAT TAGCATGCTACAAGGCCCTTGCTATAAGATATATGCTTCACTTCACTAT GCATGGCAAATGAAAACAACAGATAATTCCAAGAAATGAATCATGATTG TGTCAGGTGGAGGAATATGGTACTTTGATACATTCTAATAAAGGATCGAG AATGATATGTATGATATGGCTTTGTTGAGCAGTAAAGTTGCA CCACTACAGTGCCACAAAATTAGAAGTGGCCATCTCCGGTACGAGACA AGCTGCCATTAAAGTTATTGCGGAAGTCTGTTGAGAAAATTCTTATAT GAATTGGTGTGGTTAACGGTTCATGTTGAGATTGAGTAAATA AATATAATGATGCAATTAAATACAGAGATTGATGTAAGGATCTTATGTG ATTCTATTAGATCACAAATTATATTGAGAACCGAATTGATGAAAAAA ATTTTACCGTTAGGACATCAAAATAA						
665	TTTCATTGAGAATTCTCCAACAAAAAGCTTCCCTCCCTTCTTGCTTGG TCTCAAAACCCAAAAGGAAAAAGATAGTCCCTTTTATTGAGATT TTGAGATCTGCCAACGGTTCTCTCACTCCAGAACACTGCTGAAGAACT CAACTTAAACCCCCAGCACTGAAAATAAAAGTTAAATAAGAACATAG TAATGGCAACAGCATTTCTGGGCTCATCAACTCTACTTCAATCACAAA TTTCTGGCTTGGTGGTCTTATGCTTCAGAACCTTGTCTCTCCAATC CCAGTTACCAATTTCACCAGGAGAAATCTGAACCTGCGTGAAGGCAA CTTCTCGGGTTGACAAGTTCTCAAAACCGACATAATTGTTGCCATCTA TCCCTCTGCTAATTGCAAAGTTAGGAGAGCAGGTAAGCAGTTGAGG TGGCAGGCTGTGATTGGATTCTATGTCGATGTCGATGGTGGTCTGTT CAAATATAACTATTGACCTCTAGTTGTTGATGCCCTACGCCGTACAG ACCTTCCATTGGATGTGCACCTGATGATGCTGAACCTGAGCAGCGAGTGC CTGATTTATAAAGGCTGGAGCTGATATAGTTAGTGTGTTATTGAGCAGT CTTCCACCATCCATTGCTGATCGCTTAATCAAATCAAAGTCTGGAT CTAAAGCTGGAGTTCTGAACCCCTGCTACCCCATGAGTGCATAAGAAT GTGACTTGTGATGTTGATCTAGTTGTTGATCTGCGTGAATCTGGAT TTGGTGGAGAGCTTATTGAGGAGCCAAGTCAGAAAATCTGAATTAC GAAGATTATGCGTCGAGAAGGGGGTGAATCCGTGGATTGAGGAGTGGT GAGTTGGCTAAAGTCTATAAGGTGATTGAGGCTGGAGCCAATGCTT TAGTTGCTGGTTCTGCCGTCTGGTCTCCAGATTATGCGAGAAGCTTAA AAGGAATTAAACCAAGTAAAGGCCGGTAGCAGTTGCTCTAAAGTTGCT GGCTTAGGATGTGTTAAGTCAAGTGCAGTTGCTGGGTTCAAGCTGTTCA ATATAATGCAACAGACGGACCATTAAAGCAGGAAAATGCAAGTTCAAGTTG	XM_00228 4736.2	PREDICTED: <i>Vitis vinifera</i> ribulose- phosphate 3- epimerase, chloroplastic- like (LOC100267206) , mRNA Pentose phosphate pathway, non- oxidative phase, fructose 6P => ribose 5P Pathway module; Carbohydrate and lipid metabolism; Central	776	0.51	0	0.86

	TTGTTAGATATACTGTCATAATTGAAATTGCTGGGTCAAAAGTGAAA ATCTGTAATAAGCAAAAGACGAATGGTAAGTCATAACTAAGCTGTGAAA AGATGACAGCGTAACTCATCTGGGAATAGTCATGTACACAGCTTATT TATTGTCCTTTAACAAATCTTCCAATTGGTGCCACTCAATAACGA AGCATGTAATTGTAATCTAGTATTCTAGTTCTCATACCC TTGTTCTGAG		carbohydrate metabolism				
671	TACATGCCTCTGGACAGGAACCATAATTGGCACATAATACTGTGCAT GAAAGCCGTATTCAACTGAAGCTTCTGTGACAAAGATTATCCGGAA AAGCCGCAAGTGTGCTTCACTCACCGCATCACATGACTGTGGAAT CCAGAGACTGGAGTGGTGAATCGAAGAAAGTTGGTATGCTGGCAAATTGG CAGCGACAGTTCACCATGGAAGACATATTGACTCAGTTGAGAAAAGAAATG GCAGTTTCACATAACCGTAAGCTGTCCAACCTCCTGAGGGTACCTTTTC TAATTGAACGTGTATCAGAAGACCTGTTATACAAGGAAAGGAGGACATGC AAGCTTATATATGTCGATGCCAGTAAATATTCTTACTTGCATCTTTA ACAGATTTTATCTGGAGTTGGATTCTTCTGTGTTTTATTAAATGCA CCTCTGTTGCTGCACTAACTCAAGGGTACATGCATACTTTCTAAATAC ACGCAACTCATTGTTAAATGTGCCTTATTCCAACACTGTAGAAGAAGT ATGGGGAAAGACGAAACTGCAGATCCTGTTCTATTAAAAACATGTTAAA CTGTTATGATTGCTTCTTGAGCATCATATTGGAGCACTCACTTGGAA	XM_00227 1736.1	PREDICTED: <i>Vitis vinifera</i> ubiquitin-conjugating enzyme E2 variant 1D-like, transcript variant 1 (LOC100248369), mRNA	375	0.47	2E-100	0.88
696	AAGCATACTTATGTCCTGTAACTCAGAAGGGATACTGGCAGTTGAAATG GGAGACTTCTGTTGGAACGTTCAACAGGCTTTGCGAAGGAGGCTGT GCTGCTATTGTTGGATCTGGAACATCCTGCTTGTGCTGGTCAACTACTGTT GTAACTCAAATTAAACCATGCCATTGGAGCCGAAAGGAGTGGTAGCACAGAA TGTAAAGAAATTGTTACAGTATGGAGACCTGATATGGGATCTCCTGTG TCAGGGGTACTACCTGACAAAGTTGTGTCACAAGCAGGTTATGTGCCTTC GGTGGACCTCAGCATGAGAGTTCTCATATCAAGTCAGTTGTTGAGGAG AACAGGGAAAGCTCTGTTGGCGAGCCCCAATGTGACTGCTTGTCAA ATGGCTGTTGGATTCAAGATCAGTGAACAGAAGGGAAACCAAGGAG AAAGTGCTGCAATGTAAGCTTGTGAGAGCATAACGCTCCCATG GGAGAACCTCGTGCAGTCAATAGTTATCAACCATGCCAAACGTTCA TTCACCAATTGAAATAAAATTTCAGCTAAACCCCTGAGCAGTATATTCTT CAAAGTGGAGAAGGCTTGCTAAAGTTGCACTAGTGGATTCACTGGTTTG GATCTGCCGCCACCCCGTGGCCTCTGGATTCTGGAGATGTGTTCATG GGTGTGACACACTGTGTTGATTTGGTAATCTCAAATTGGTTGCA AGAGCTGTTAGTCGATGCTTACAGTCGCACTCGATGAGTGAACAAAGA AAAGCTGAATGTTGACCTTCAATTAGGCAATGCTGTTGGCT TTAATGTTGTTGATGTTGAACTTAAAGCCCTAAAGCTATTAGTTATCTT GATGTAGATATGATGCGGATTGCTATGCCCTTTCTATAAAAGGAAAC TGCTCTGCACTGATCATGTTATCATGCTACGCTATAATGTAACATGAA ATGATGTTTGATAATGTTAGGGAAGCGTTGGCCTTCGATGCAACTTAC AACCGGCAAGCCTGCAACATGTATATGTAAGGCAATCAATGTTGCTT CTCAAGAACTAAAC	GU144571 .1	Nicotiana tabacum aspartic protease 1 mRNA, complete cds	569	0.65	1E-158	0.81
728	TTTTATCACTCTGACTAGCTTCATTCTCATGGACAAAATTATGCA AATTGCAAAATACACTGACGTATTATTCTATCCAACATGTTTGAAATGACT GGTGAAGGTGCTTCAATGCATCTGGCCATTCCATTCTGGTGTGGTG CATTGACCAAGTGAGCATATAACTTATTATTGACATGTTACTGATATCA AGCTGTGAGCCCAAGTCCATCAATCTCATAGTCGAATATACTTGTCCAT TCTCATCCTGTCCTCATTTGATGCAACACTATCTGCACTAGCAATAAGGT CTTGCAGATTAAACATCTGATAAAGCCAAGTGTGCTCAGGACAACATCTTCG	XM_00227 5716.2	PREDICTED: <i>Vitis vinifera</i> thylakoid luminal 19 kDa protein, chloroplastic-like	470	0.86	1E-128	0.74

	GAGCCAGTTGCCGAAAACCAGCAAGATAAGTCAAGTATTCCCTCTCGCTCTTTTTGGATTGAGAATTGCTGTCTGTCATTTGTCCTCTCAA CCTGGATACTAGCCTCTTCCATCCATCCGGGACGTCGAAACGTA CTGCTGATGCTTCTGCTGAGTTACCGCCGTAGCCGGTAATTGGCTG CACTAGCAGCTGCCATAGTATAAGAAGAAATTGAGGGTGCATCTGCAG CTAGCAGGGTGGTGGAGGTGGAAGGATTGTTGAGGGTGGCAGAGCTGTGG CAGTCATGTGGTGGTAAGTTAGTTAAGACTGTTGGGAGGTGGAAATTG TGAGTTGGGATTGAGTGGTGGAGGAAGTGGTGGTTGGAGAAAGATG GAGTGGAGTTGGAGGAGATGAGGAGATGGCTGAGGTAGAGAAAATAGTGG CCATGGATTGGAGTGGAGTCACTGGAAACAAGTGG		(LOC100261871), mRNA				
778	AACAAACATTAACCTCAAGTGGCCTCCACTATAGTTAGAGGTCGCAACT GACTTACTAAGCCTTGTCAATGAAAACCCAATTAATTATGACTTCAGAGC GGTGAATCAAGAAGTGGATACATGCACTACCATCATAAACAAAAACACAA TGATTTCTACTCAAAGAACACAAAACAAACTGGGATCCTTGGTGT TCTTCACTAACCCCTGAATAAGTAGTTACTAGTTAACACAGTTAACATCAA TTGAAACATACAAACAGAAAGAGAAATGGAACAAAAGGAAAGCAAATTGAA AGTCAGGCCAGCCTTATATAGTCTCCAGAGCTGAAGGATATCAGCC TTCAGGTCTCAAAGCTTCGACTCAAAGCTGAACCTAACCAAGTGTAC AGAATTCCATACTTGGCCCTGCTGACTGGGGAGGTCCAATAAGACATA ATTGCTGTTGATCCACAATGCTCTCGCAGCCTCCAAAAGATGGGCAATA TAAGGGATTCTAAGTGCATCAACGAAATTGCGCTTGTGGTTAAGTCTCCA TCAATCTAAACAACTAACACACACCCACAAACAGTCATTGCCGTTTGC AGGTTATGTTCTGGATGACTTGTAGGCTGGATAATAGACACGTCCTCACC TTAGGATGTCCTTAAATCTGGCCATCCTCAATGCTGTTGAATTGTT TGCTGTACACGAAGTCCAGCGTCTCATGCTCGAATGATCAGATAAGCG GCATTAGGATTGAGGGTACCTCCAAAATATGATGCATATCACGTACTACT GAGACCAATTCTGGACCACGTGATAACACCTCCAAGCACATCATTATGG CCTGCAATGTATTTGTTAATGAATGTTAGAACAGATGGCACCAAGAGCA AGAGCCTTGGTGTAGGAGATGCAAATGTTCCGTCAACACAGACCAAG GCTCTTGGCATGGCAAAGCTTGAACACGCCAATGTCCACACACTC AAGAACGGATTGGTGGAGACTCTGTAAGAAAAGTGCCTGCTTCTCA TTCAATGCAGCCTCAAAGCTCAAATATCAGCAGGGTCAATGACTGTAACC GTGATTCCGTTGGCATTAGCACTCTCTCAATAAATATCCGAGTTTC CTATAGCAGTCTGTGGTTGTCAACATATGCCCTCCAGCAGGGACCAATGCC CACAGCATGCAAGTACTCACGCACATTCCAGAGGCAGTTATCAAGGGTGT TCAGCTCCTCCAGTGCACTTATTTCTCCCGCTACAAATAGTTGGAG TTTCCATAGCGTCCATACTCAAACATTACATGGCGTTCTCCTGAAATCA AT	AF097180 .1	Nicotiana tabacum cystathionine gamma-synthase precursor (metB) mRNA, complete cds "cystathionine gamma-synthase, chloroplastic-like" CGS_like: Cystathionine gamma-synthase is a PLP dependent enzyme and catalyzes the committed step of methionine biosynthesis	889	0.77	0	0.82
789	CTGAACTGTATCATAAAAAGACAAACAGGAAACCATATATGAATGGAGGAT TCCTGGTGATTAGTTGTTACAAAAGAAGAAGTCAAAGTACCAAAAGAAA TAAACGTAAAAAAATGATCATATAAACACTGCTTGATCCATGTTATCTGACGC CCCAATAAACACACTCCAAACAGAGGGACAGCAATCAATTATGTAGAC CATATACTTGGTGTGCACTGAATTGATAGGCCCTTGATGACTTTATT CACGGCATAGAAAAGCTCTCAGTAACACTGCTTCTCTTGTGCTCGAAT GGCGTACATTCCAGCCTCGGTACACACACTCTGATGTCGCCGGCGTAGA ATTTGGGAGAGGGAGCAAGAAGTCAAACCGAATTCTCTTCAATT CATGGTTCGCGTATGAATCTGAAATATCTGTTGCGACTCTCCAAATCTGG CAAACCAAACCAACTCAACTTGCAGTCAGCCGTCAGGTGCAATAATGCTGG ATCTAACGTATCAGGTCTGTTAGTCGCCATGAGAACTTTAATATTCACG AGCATCAAATCCATCAAGCTGATTCACAATTCAAGCATACTACGCTGAAC CTCATTATCCCCACCCACACCATCATCAAACCGCGACCCCCAATGGCATC	XM_00226 3790.1	PREDICTED: Vitis vinifera 26S proteasome regulatory subunit (LOC100233125), mRNA	545	0.73	1E-151	0.85

	TACTTCATCAAAAAACACAATGCAAGCTTCTGGAGCGGCCATCTGAAA CAGTTCACGAACCATCCGAGCTCCCTC						
790	GTTCACACATCACCTACAAGAACGGCCCATTTTCTCACATGTTAC ACTTTCTTGCAGAAACATTTACTCAACTCAAAAACATATGCATGT GCATACCCCTTCACTCAACTGCATGGATCTTGACTTGAAACAGAGGAT CTTCAATAATTCTGGCCACTCCTCTAGCTTTATAGGTTATTCTCAACA GAGTTACTCTTGTTCATCAATTCTGTTCTGACTTCAGAAATTCGAT CAGGGATAGTTCTAATAGTACAATATCTACAGTAAATTGGTTTGTA TCTGGAATTAGGATGGTGGTACATTTCTGTTGGTGGTACATCGCTGAC TGATTGGCCTAGTGGCCATGCTATGTTGGATGCTCGCCTCATGCAA TTAAGTAGTGGAGATCTCATTATGAATAGGAATTGATAAGTAGGAAGCA TATGCCAACAGACCTGCTGGCTCATTCAGTTGAGCAGTTCAATTCTGATT GGTGAAGCTTTCTGGTAGTACAAGTTGAGAGGACACCGAAAAAATAG AAGTTCAAGATTGTGTGAAGTTGCTGGACAATACGAGGATAGCTTGC GGATGTTAAAGCAACAATTCTAAACTATTCACGTACAAAGCCGTAAAGAC TGTTCTAAACCAAGCTCATGAGATGAACCCCTCCACAATACCGGTGGTTTA TGACTATGTTGCTACTCATAACGCTAGTGTGATGGGAAACAAATTCTCGCTG CCTTGCCAAGGAGAACGGTGAACCTGGCAAAGAGTCATGGTAACACGACT TCACCTCTACAGAAAATGGATTAGAAATGTGATCATGCTGCAATATATCA AGAAATCTCCGATAAAATTGGATTGATGCGTGAAACGGCTAATGGAGAC AGTTATTGGCCCTCTGATGATACGAACACGGAGAAGATCGGGTGAAGCCG CTGCAACTTCAACAGTGTCTTCTCTGTTCTGTTGTTGTG ATCCTTACTTGTAGCAAATAGTTGAAATTCAATTATCCTATTATTT ACTTTGTGTTAGATGTAAGAGTTCTATGTTACGTTATATATATGA GATAACATTCTTAGGAAAG	XM_00229 8366.1	Populus trichocarpa predicted protein, mRNA The RBCX protein has been identified as having a possible chaperone-like function. The rbcX gene is juxtaposed to and cotranscribed with rbcL and rbcS encoding RuBisCO in Anabaena sp. CA. RbcX has been shown to possess a chaperone-like function assisting correct folding of RuBisCO in E. coli expression studies and is needed for RuBisCO to reach its maximal activity	255	0.32	4E- 64	0.8
990	TCTGTCTTATGTCCAACATATTTAAGTTCTATCAAGTCAGAAGGTGTT CATACATGCCAAAGTTAATGAACCTAATGACTGAGTACTGTTCACAGTTGA TGACTCTAGCAATGACAAAATAAGATGTTATACTTCACTGAACGCTGGC CAAGGAGGTACAAAAGTGAGAAGGTTGCCATGTCCTGCATCTGATTAGAG AACCTTGTCTCTTCTATTGAAGCTGTCCTTCCTACATTGATTCA CATTTTTGGTTAAATTGATAGGACTATAAAACATTAACATAATTGGTA CCACAAGCAAAAGAAATAGATATGACAGAAGAATCTGAAATTTC TTACTTGGTGAATTGACATCTGGATTCTTATTGCCTTGAGGCCACATATC AGCCATTACTCGTGGAGGAAATGCTCCACAAAATGTCCTGTCCTGGC CTGACGCTTCCCTTTCCCTGCCCTTCCAAACCCATATGCTACTAGCCA	XM_00227 3091.2	PREDICTED: Vitis vinifera uncharacterize d LOC100244427 (LOC100244427) , mRNA	1572	0.85	0	0.74

	CTGCATAGCTGTCAGCCTCTGCTCTCGGAGTCCCAGT GAGTTTGAGGCC TCCAGTCCTGGCTTTAACCCCTCCACATGCAAATT TACTTTGAACAT CCTTCCTCCTCGTATTTC CAGGCTTACATCAACAGAATTGATTGGAT AAGTGCTATCATAGGACCTCAACTGCCTCATATTGCCTCAGGGGATCCCG CAGTTGACA ACTACAGAAATTGTTATGGCTGCTGAATCAGCATCCTCATG AGCAGAACTTCCCAGGGCTTAGTTATCCAATCCTCAAGT GGAATTGC AGAAGCCAGCAGATGGCTACTCCGCCATCATTATCAGGGTTAACCTTG AGCAAGTGGGAAACGTCAAATGGGCTTCTTCAGCTATATGCCTG AATTTTAGAGCTTCAACTGCCATGCCAGCTCAGT GAGAATG CAGAATCTCATCAACTATGACAGGATCTTCACTCAAATTCCATATTCTGT TGAAATTCTTCCCTCCGAGCCCATTGCA GTTACCATGGATTAA AGAAGCAATCGTACGAGCAGCACTTGAGCTGGCTCCTTGTCTTCC CTGGATAATTG CAGAAGCAATTCTCAAAGCCATCTGTTCTGTT ACCTGAAAGTTCATCCATAGGCATCAAGGACAAATTCAAGGCCAAGTTC TTCAAGGCAATAGCTGCCATTCTGTGAAATAGCTCAAATCCATTGTTGC TTT AGATGGAAGAATGACGGGTTTGGAAATCTGCATTGCCAGTTGGG GTCCTTCTGTCAACTGCAATATCCAGAGGATT CATGGCTGCCAAGTAGCC CCCATTCTGTCTGAACTACACAGCCCAATCCCTTCCAGATGGTAT ATAGACGTTGATTCAACTTCTCGGAGTTTCATCTCCTTCAACTTCAG TTGAGGGATTTCATGATCGTGAAGCTTAGTTCACTTCTGAATCCTC TAGCAGCTGAAGAAACTCCCTGTCACGGTTCTCTGCA TCCAACCT TTGTGATTCAAGTTCTCATCTGTTCTGGCTCTCCCTTTCATCAT CGTTCAAGAGCTTTATCTGCTGAGCAATCGAATCAAGCTCTGTCAGTCT TGTGAGGTTGAATTGTCGTGGACGATTCTTACAACCTCACTTGAGAC TAACTTTTCTGGAGTTATCTCAGATACTGCTTCTCTCGGTTCCATC TTTTCTGGATCTACTCCTTGTCCACTACTTCAAATCTGGAGATC ATCCTGCTTGCATCTGAACTTCAGACTCTGTGGAGGTGGAGAAGT CTGAGGAGAGCTGGTCAAGGATTCAAGGCTTCTGCTCTGCT AAGGCTGCTCTGCTGTCGTGAAGGAGTCCAAGGCTTCTGCTCTGCT GGACAACTTGGGCTAGGGATACTGAAGGAGTGAATTGACTGATTACGGGC AATTGAAGATGAGTTCTGCTTTACTGATTGATTGTCCTCAGCCTG GCTATAAATCCAATACCACCATTTCTCCATAATCTGAAATCCAATT CAGGACAAGTTCTCCCTGGCTTACCGAAAGAGATAAAAGCTGATC CCATTGCTTAACACCGTGCCCTGGAAAGCTCTCAATGGACTCCTAAT GAGATGACTTAAATCCACAGAACTTCTCCAAAATCAAGTTCTCCAGCGTC GACTGCAAACACATGAGTTAAAGAAAGGACCGGTTGCAATTCTGTTG TCCACTCC CAGGAGTGAATACACATGGCACCTTAAACAAGGCTCTTC GAAATCAGCAGCTCCCTGGTGAACCTTGTGATGGCATGGCTGCAAGCTCC ATCCTGGTTGTTCTCTAACACAGACGGACAGGGCAAGACCAATT AGAGGCCGAAGGCCCTGAACTGTAACGACCTCAACAGAGAACAAACAGCT CAGCTTCTGCATGCCAATGTGGGAGAGGGCCGAATTGGCTCCAGCTCCA AAGGCCCTTCTGTCAAGATCTGCTGCTTGTCACTGTCAGCTT GAAGTGGCTTTCTAGGGAGAGTTCTTCTGGCCGTCGTGAGCAGA ATCAAGCTTGGGGAGAGGCCAGGGAGAGGGACATGCGGCGT GAGCG AGGCTTGGGATTGAGTTGTTGTCCTGGTCAATTAAAGTCGTTGTC AGCAGAGGAGATGGAAGGAAATGAGGTTCTGGGGAGAGCAAGAGAGGCAGT TCTACGGGTAGTTGACGTGGAAGTGTGGAATGGTAGAGGGAGTGACTCAG AGCTTCAAGTTCTCCAAGAGTTGGGTGTTGGAATTGGTGCCTGTATA TTCTGCTGCCATGATTAGTGAAGAAGCTGTGAAAATGGCAGGTTAGGAAG AAGAATAAAGTGGATAGATAGTAAGTGGTGTATATGCTAGCTAATA				
--	--	--	--	--	--

1023	CAACTCCCACGAAACATAAAGGTAAACTACTCAAAGCAAACCAGCCAGCTC AAAAGTTGCCCTCCCTCTTTCAAGTCCGAATCATGATGTTCAAAGTGCT GCTAAACCCCTTTCTCTTCTATTATTTAATTATTCACACTGGAGCCTG CTCTTAGCTACAGTGCTCACCTGCTGTTCTGGAATCTGGGGT TGTTCACTACTGCCTCACTCTTCTGAGTGGTAACTAAAATGCTGA AGATATCAGCGCCAATTGTTGAGAAATGTTAACAGAGTGAAGAACATGA TAACGAGGAAGACAACACTCAAAAACAGGATCTGGAATGAATCAAAAAAAAT GTGGATTGTTGCAGGTCCAGCAATATTTACTAGATTTCAACATTTGGGAC TAGTGTCACTACCCAGGCATTGTTGGCATATTGGAGCTACACAGCTTGC TGCTTACTCTTGGTCCAGACTGCTCTGAGATTGCTAATGGCATACT GTTGGGATGGCTAGCGGATTGGAAACTCTTGTGGGCAAGCCTATGGTGG GAAGCAATATCACATGCTGGAGTATATCTGCAGAGGTACATGGATTATCTT ATTTGTAACATCAACTGCACTTCAACCGTTTCACTTCACTGCCAAT TTAAGAGCTTTAGGACAGGATGAAGCTATTTCAGAAGTGGCAGGAACCAT TGGTCAATGGTTAATTCCTGTGATCTACTCATTATCTCATTCACTG CCAAATGTTCTCAAGCACAAAGCAAGAATATGATTATGCAATTAGC AGCTTTCTCTATCAATCCACGTGCTCTCATGGCTTTAACAGTGAA ATACAAGTATGGAGTCCCCGGTGCATGATATCTACAATCATGGTTTTG GATCCCCAATGTTGGCAACTCTTATTTGTCAATTGGAGATGCCGAGA AACCTGAAAGGTTTCTCCATGGCTTCAAGGATCTTGCAAAATAAT TTGGCTTCTGTCACTGGTGTATGGTATGTCTTGAGCTCTGGTACAA CACCATATTGATTCTCAACTGGAAACATGAAGAATGCAGAGGTTGCAAT TGATGCTTGCTATTGTCAAACATTAAATGGTGGGAGATGATGATATC TCTGGTTTCTGGCAGCAAGTGGTCAAGTGGTCAAGTGGCAACGAACGGTGGAG GGGGAGTGCTAAAGCAGCAAATTTCGATATGGGTTACAGTGCTAACATC TTGGCCATTGGACTTATCCTATTCTCATATTCTTCTCTGTTTGGAAACG TCTAGCTTACATATTCCACCAAGTCATGATGGCTGTAGCAGTTGGTCA GTTATGCCCTTATTAGCATTTCATACTCTGAACAGTGTCAACCGGT TCTTCTGGGGTTGCTGGGGCTGGATGGCAGAGCAGTGTGGCATATGT CAAAGTGGGGTGTCTATTAAATTGGCATTCCAATTGGAGGTGGTGGCTTGG TTACATTATTAAATTGCAAGTACAAGGTGTTGGATTGGAATGCTAATTGG CACACTGGTCAAACATTGTACTCATTATAATTACATGCCAGAACTGATTG GGATAAACAGGTATTAGTGTCAACAAACGAATCAATAGGTGGTGTACCC ATCTGAGAGTAGGCCCTCAATCTCACTGATCAATCAGATGTTCTTCTT TATCTTTGAGCTAAATGAAATGCCCTGATTGCAATAGCTGTGAGCTTCTT TAGTATGGTACGTTGAGTTGCTGCAGGGGTGAGAAATGGATGTTCAAAT AAATTGCAACTTGATTGTTATTAAATTCTCCCTAAACGGATATACATT CTACTTACGGGAACCTTATCCCAATCAGCAAATGTTCACTTACATTAC ATTATTCTGGACAATGCATATGATTGAAAAGGAAGCACTTATTGAG	XM_00253 0909.1	Ricinus communis multidrug resistance pump, putative, mRNA	875	0.67	0	0.75
1082	GTAAAATTGTAACATACGTCTTACATTCAATCCATTCTTGTGCTTCTCT GGTCAAATTTCAGATTGCTTGCCTTACCTCTATGACATTATTTGTTCT CAAGCGAATATTATTCACAACAAAATCTAGAATGATCCACTAACAGGA CATTTGTTTCAAAACACTGAGAGACGAAAGCTGTATTGCTGGAGCTA ATTATGATAAAATGTTAAAACACAGATATAAGAAACAAATTATCTGCTG TAATGCTACTTTAGATTGCTTCTGATATGCTAATGACGTTGGCTGCTT TCTGAATGAGTTAATATGCCCTGGGGTCAAGCAAGCAAGGAGGAAAATG CCCAGTCCACTCCTGCTCGCTAAACAAGAAGACGAGCTTACCTACTAGG TTTAAACATTGGCAGGGAAAGAGCTCCAATTCTTCTTATGAAGG AAATCCCCTTGGATGCTGATTGCCAGCTTTCTTCCAGAC CAACCCCTCTCATACTCATTCAACGGTCTAGTTGATAGACCTCTCAGCTC CACTACGGCCAAGTGTACCTTGGTGGCAAAGAACGGAGTCTGTGACCT	AK321134 .1	Solanum lycopersicum cDNA, clone: LEFL1019DH06, HTC in leaf "glyoxisomal malate dehydrogenase (gMDH)" MDH is one of the key enzymes in the	183	0.27	1E-42	0.86

	GGGAAGCT		citric acid cycle, facilitating both the conversion of malate to oxaloacetate and replenishing levels of oxalacetate by reductive carboxylation of pyruvate				
1097	CACGAATAAAACCCTTTGTCTTCTACATTTGGCTTCCTCCCGCTCTGT AACGGCTTGAAGTTCTAAGCCAACCGAAAAAGCTGAAACTAAATCAAATCC GGATCCTGATCCTGGCCCCGGAGTAGTATCCGAAAATCAAATAGTAATGGA TCCGGATCAGTTGGCGAAGGC GTCTGGAGCATTACTATTCAACCTTCA CACGAATCGGAGCGGGTTGGGGAACCTGTATCAAGACGGGTGATGCTGAC ATTTGAAGGCCAGAAGATTCAAGGGTCCCAGAGCATCGTGCCAAATTGAC CAGCCTGCCCTTCCAGCAGTGCCAGCACAAACATCTCCACTGTCGATTGCCA GCCCTCTGGACCCGCCGGTGGCATGCTCGTCTT	AY705500 .1	Coffea canephora x Coffea congensis microsatellite CofEST-SSR05 sequence. ="moisture-stressed leaf tissue" Nuclear transport factor 2 (NTF2) domain plays an important role in the trafficking of macromolecules, ions and small molecules between the cytoplasm and nucleus.	217	0.62	4E-53	0.8
1174	CGTAACATTAAAAACAAAATCAAACGGAAAATAGTTATCTAATTCACTTC AGCCTCCAAGAACTAATATCATCGTTAATTCCATATTATAAGCATGCCTT AAAGACATGGGTCAAATTTATAGCTACTTTCAAATTCAAGCACA ACTACTCGTTACTTTCAAGAAAAAAAGACGAAAAGAAAAAAACAGAAG TACATTAGCTCATTGCAACAAGAAATCTCCTTCAATGCGTTAATTCACT TACTCAGCAACTCGTGTATGTATCCTTACGATCTCCAGAATCCCCCGT CCTTGTACCGTCTCTCTGCGCGTCAAGACCTTTCTGGCTTGTGAGTG CAAAAGGGCAAAGAAAATTAGAGACCTTTAAAGTGTGGACCGACATTG CAATCTCAGTCACAATATCTTAGACATATAATGTTATGCTGGCCAATG CCTGTTCAATGATGTTGTCTGTTAAAGGAACCCCTGTGTTTCAAATT TTCCACACCTTCTGAAATCAAATCCTTACACTCTTGAGATTAGGAT	DQ294270 .1	Solanum tuberosum clone 145H06 putative 60S ribosomal protein L7-like protein mRNA, complete cds	610	0.66	6E-171	0.79

	ATCCATATGTGATATAAGGCTCCACTTTCGCAAGATCTCCATTATCGTT CATTGCCTTAAGAAAGACACCATTGAACACTCTCCTCATCTCAAGGGAGT ACAAAGTTCCGTGTTGGATGCACATCATTCTTCCTATCGTA TGACAAATAGAACGCTGGATTGGGTATCACCAACTCTGCTATGGCT TCTTCCTGTTTCAATTGGACAAGGTCCATCTCCCTGTCGCGATACTCTC TGATGAACTGCTCGGGCTTCTTAATAACGAAATTATCAGACTTGAGCTCT TAACCTCTGTTCCAATGCTGCTTCTCCTAATTGCCACTCCTCATTGT TCCTCCCTTCTCAATCACCTCAGGTATATAATTCAACGGCTCGGCT CCTCTCCGCCATTACGAATCTACACCACTCAATAACGGAGAGGT AAGGCCTGGTGGCGATGGAGATGGCGGAGAGCGGGTGGAGCAAAAGT GAGAAGGAAATTAACTGCACGAGATAGAACATTAAAC						
1255	CTTCAGCCAATTAAATCCACCAAGGTGGAAGTTGCATATCATTCCCTCCA AAGTTGAATCCAGGCTGACCTCCATCACCAAGTTGGCAACGTTCATCCTCC TCCTCCAACCAGTATGTTCTAGAATTGACTGCTTTCTAAATTTCATTA TTATTGTCATGGCTCTGCAAGTCTCAATCTTCTAACCCCTCAGCTTCA TCAATCACTGGCAAGTAATTACATCTCCTACTGTTGCCAGATTTTC TCTACTTCCCACCTTCAAATATTCTCAAGGCCCTCTAAACAAACAGCA ATGATTCTGGATCAGGGCACACGGAGGATCACAAATGGCTTATACAG CTTGAGAAAACCAAGTACTTGATTGTTCATGAGTCCACCAGAGGTAGCA TTTGAAATAGCCCAGTGCAGCTCTTCTTATGTCAAACACTCAGCAGTTGA AGCAAATTGACCAAGGGCCAATTAACTGAGCATCTACTGCCTGAATC TGCTCCTATTTCAGCAGTAATTGGAAATGGTCCAGCAAGCTCTTTC TTGATGCTCTTTATGATTGAGTCAATAAGCTCAGCAAACAAAGGAATG GCTCATGGTCAAATTACACTGAGTCTGAAACATCTCTGTAAACATA TTCCCAACTGTGCGAAGTGCAGGAATCAGCACCGAGGGAGAGGGATGCAGC AGTAGCTCCACAAGTCTGGACAGACACCTGCCTCAATCACAGCTGAATT TTGTCGTTGTACCATCAGAGAGATAGGAAAGAGGCCAGCATGCATCAGTC AGCACTCTTCATCATTTGAATGAACAAGACGCTGAAGTGCTGGAAGGGCT GGCCCTGCACTGCTCAAATGGAGGTGTGGTTGCCCCCTGCAGAAGTTGAC AATGTCCAGGTAGCATTCGGCAGCATGAAAGCTTGGCGTGCATCAAC TGTGCCAGCAAAGGAATTAAAGC	XM_00227 5557.1	PREDICTED: <i>Vitis vinifera</i> importin subunit alpha- 1-like (LOC100248248) , mRNA [Intracellular trafficking and secretion]	987	0.99	0	0.84
1282	CTACATATCACATTCCATTACACTCTTCAGTCATGCGAGCTTGACAAACA GACAAGTGCACCAAAAGGCTTCATGCCAGTATATGCAAATGAACTAACAA GCTGAGAACCCAAGTGTGGCGCATAGAATTAAACCAGATTGTTTCAAACA GATTTTTTCTCCACATGAAAAAGAACATTAAAAAGACGAGGCCAA AGCCCCACAAATACAACAAATAAAAGTTATGACAACCTCTGAGGGAGTA ACACAAATTGACCATGCTATGAACCAAGTTATCATCACATGTAGAGTCTTC TGGAACCCCTCTTCTTCTGAACATAACTTGTCTTGCCTTCTTGAA ATCCACATGCGTACCTTCATACGACGCTCTTAAAGCAAGCAATCCAGC TTCAGTACATATTGCCCTAATATCAGCACCGGAAACTCGTCTTAGTCAT AACAAATTCTCCAATTTCACGTCATCAGCCAATGTCACTCTGGATGTATG TATCTGGAAAATACGCCCTCTGCTTAATATCTGGAAGAGGGAACTCAAT CTTCCGGTCTATCCTACCTGGCGAAGCAGTGCAGGATCAAGACTCTCAAT TTTGTTGTTGCAAGGAATCACTTGACATCTCCTCGTGAATCAAACCCATC TAATTGGTTAGCAGTCCAACATGGCTCTGAAATCTCACGTTCACCAAG AGAGTGGCATCATACCTTTGTACCAACTGCATCAATTTCATCAATAAA GACAATAGAGGGTA	XM_00226 3298.2	PREDICTED: <i>Vitis vinifera</i> 26S proteasome regulatory subunit 4 homolog A-like (LOC100244194) , mRNA	593	0.63	5E- 166	0.88

1306	AGATGTTCTTCCAGTTGCCACCCAGATTCATGGCCGGTGTGAACAA CATCCACAGTGGCGTGGATTGTGCCGTCTTATATTGATCGCTGGCTCC CCATAATGGGTCCATTGAGTGGGAAGGGGGCTTGCTTTGGATAACAAAGC CAGGGTTGAGTTCACCAAGTCCGGCGATCGGAACATCGGGCGCCGTTAT TCATCTCTGACTGGTGAGCTCACAGCTGGACATGTATGGATTGTATGT ATTCGCAACGCCCTATAGGGTAACATGGGATTATTACTTCTGCTCGAGA ACATACATTGAAAATAGAATCTTGGGAGGAGTCTGCCGAAGAAGAATATGT AAAGCAACATGGGATTCTGTATTCTCATGCCATCAGGAATGCTTGGGAC ATTACTTCATTAGTGTGATATTGCTTATCTCAACACAGTTGGG TCAGAACATGCTAACCTGGCTTTCTGAAAAAACACATGGGTCAACATTGA AAGACGTCTCAGCCATGGCGTGCAGCTATAAATCCGGATGATGTTCATTC TGGTGATTTCTAGCTGTGCGAAGATCCGTGGTCATGGGGTGGATTGA AACACTTGAGAAGTGGGTACGGGTGCTTGTGGTCACACAGCAGTTG TTGAAAAGATGAACTGGGTAATCTTGGGTTGGAGAATCAGGACATGAGAA TGAAAAGGGAGAAGAAAATTATTGTCATAATCCCATGGGATGAAATGGG ATTGACACTTAAGGATGATTCCAATCCTCATATAGCATTGCTGCCCTTACA TCCAGATATTGCGAAATTAAATTCTACTGCTGCGTGGGAGTATGCAAG GGGAATGTCAGGCAAACCATATGTTATCATATAATGATTTAGTTGGAT TGAACTGTAGCCGACAACATATCACCACCTTGTATGCTCACTTGGTGT TTCTGTATGTCTATGGAAGTAGAGTGCAGCCAACCTATGCTGCAAATAT GTGGAATGAGGCTCTGAATAAGCGTCTGACACTGAGGAACTAGACTTATA CGGGATTCTGACTGAGACTGAAAGGGCTGGGTTAAGCTTGATCAGCTGCT TACAATTCCAGAACAAAGATGAATGGATAACAGTGTGAGGAAATCAACGAC TTGTGTTGCTTTTATTGGCAATGTTAGATAAGGAAGCTGGAGTCTTGGTCC TGTTTGTACTCCATTCAAGTTACTGAGTTCACTATTGAGATGCCATAT GCTAAAATCTTGAGAATAATCAAACGCAGATTCCAAAGTGGTCAACAG TGGGGATGATAAAACTCCCATTGCGCAGATTCTGGTGAGTATAAAATGGA ATTGCCACAGTACAACACTTGTAGGCCATATGCCAACATGAACGAGAATTG TCCCTCGCTCCCTCCAACTTGTAGAGGCCATATCCGTTGCTAGACTTGAGC TTCACTGCTGTATGTATTGTTCTCGTATGTATTCTGTTCTCTAGTT TATTGTTTACATAGCTTCAAAACATGCTTACGTGTTGTTGACT TACTGATATATCAGCCGTGTATAGTTCAATTGAAATGCTCTTCAA CATTTGGATGGTTATGTACCAAGCATTGCAATAAAATGGAGTATCCCAC GTGGGTGGAACAATTGTCTACCTCTGTTTTGTCTAGTGATGCTGACAA AGGTAGC	AC225121 .2	Solanum <i>lycopersicum</i> chromosome 05 clone C05SLe0077B22, complete sequence	346	0.21	3E- 91	0.84
1337	TCCTCCATGTCGATCCCCAATCTACTACTAGTACTTCACTATTCTTACT TAAGTATCCCGTATGTCGGCCCCATGTTACGCCAAAGAAGGAAAAACTC CAAATTTTTAAAACCCCAGCAGCAGCAGCAGCACAAACAAGCGGGCCCCAGA TCCTTCTCTCCTCCTCCTCCTCCTCCCTCCAAAGACAAGTCCCCAAACTGCA AACCCCTGTCAGGAGGTTCTGGAAAGTTGCTGCTCCATATTGGTACTCCTC GGATGACAAAGTGCAGGCCAGATGGAGGCTGCTGCTGTATTCTCTCAC TTAGCAACCACCGGTATCAGTGTGTTCAATTCTCGGCCGTGACTT CTATAATGCTTGCACAAAGGATCAGGAGCAGTTACCAAGCAATTGCT ATACTACCTGCTGGTTTCCGGCGAACATTCCGTTTCTGTTGCGAGA TTATGCAAGAGATATGCTTCACTAAGATGGCGTCTGGATGACTAGCTT TACATGGAACGATATCTGAAGAATCGGACATTTACAAGATAACATCTCA GTCAATAATTGACAACCCAGATCAAAGGATTGTTGATGACTTAAGTCCCT CACGGGAACAGCTTTCTTCAATTGACAATCTCAATGCTGCTGAGA CTTGATTCTTTAGCAACATCTGTATGGCATCTATCCACCACTTTTGT TGTCTCTCTGTACTCACTGCTGGGACAGCCATAAGTATTCTCGGG AAAGGGTTGGTGCACCTGAACTCTGCAAGAGAAAAAGAGGCTGATT	XM_00231 5061.1	Populus <i>trichocarpa</i> peroxisomal membrane ABC transporter family, PMP family, mRNA "ABCD_peroxiso mal_ALDP; Peroxisomal ATP-binding cassette transporter (Pat) is involved in the import of	739	0.39	0	0.81

	TCGCTATGGGCTTGTACGGGTACGAGAAAATGCAGAACATCAATTGCGTTTA TGGTGGAGAGGAGAAATGAGATGCAGCTGCTGCTACGTTTCAAAGC ATTTGAAAATCTAACACTATGATATCTTCCAGAAAATTGGAGTTCTT CACCAATGGCTACCGCTATCTTACAGATTCTCCTGTAGCAGTTGTTGC ACCTATGATTCTGGTAAATTGAGTTGGGTTATCAATCAATCTGT ATCAGCCTCAATCACATTCTGGAGATTCTCCCTGATTGTTATCAGTT TCAGGCTATCAGTGCCTTTCAGCCATCATCGATCAGATTAGGTGAATTG TGAAATCTTGGATAGCCATAATTAGAATGTCATCTGAATCCATGGAGAA AATTCTGTTGATTCTGAGATAAGTGAATGGCTACCCCTGGAAACTAA TGGATCTTCCCCCTGACAAGTCTATAAAGTACTTGACATTGAGCACTT GACCCTCGGACACCAACAAGTGGAAACAACACTTAAAGTGACTTGTAGT TGAGATATGAGAAATGATCATTGCTGGTAGCAGGCTTGGAAATTGTTG CAAAACATCATTATTGAGAGCTCTAGCAGGCTTGGAAATTGTTG AAAAATCACATTCTACACAAGGATGTTAGAGATCCTCAGCAATCCATTCC TCAAGAGCTAGTTCTCATATGGTAGCTTACACATGAGACAGATGAAAAA GCTGCAAAGCCTCAGACATAGAACGCTACAGGTGATTCTCCTTCTCA GAAACCATATGGTCTGGGAACACTCGTCAACAATTACTTTATCCTGC TTGGACTGAAGATCCAACCGTCTTATTGATGCTGCTAAATCTACAGGTTT TCTACCATCCCCTATCGTGTCCAAGCATCAACTGCCAGAGCATGAGAAC TGAATATCCCACAAACGATGATTAAAGACAAGTCTTGAAGATGTTGGCT TGGGTACCTATTATTACGTTTAACAGTTAGATTCCATAACAGTGGTC TAATGTACTTCACTGGGTGAGCAGCAACGCTCTGCATTGGACGCCGTT GCTCTAAACCATCTGGCTCTATTGGATGAGGCTACAAGTGCTATTGGA TGAAGTAAATGAGGCTAATTATCAGAAAATTGAAGCTGCTGGTATCAC ATATATAAGCATTGGACATGGAGGACGCTCTAAACACCATAGGAGGGT CTTGCATATCTACCGTAGAACCATTCAGTGCCAGCGAAACTGGTACAT TGAACCCATCAGTCTAGATAGGGTGTATGATTGTCAAAGCAGTAGTTATA CGGGTCCAACCGAGCAATTACTGCCATGTTATGTGGACGCCAGAAAATAGT AGAGTCCTGAGACAGAAGTTACGTGGAAATGTAGAGATAAACGTCGCTT ATGTCCTTTTATTGGTCCATTGGCAACAGCAACTAGGTGGGTACAT TTTGTAGGAGTACTATTGGTCTCCCTCACTCAATTATAACCTGTTAA TACTTATTCAAAAATTAAAGACAAAAAATAGTCATTAGGAAATAGA TGAAGTTATA		very long-chain fatty acids (VLCFA) into the peroxisome. The peroxisomal membrane forms a permeability barrier for a wide variety of metabolites required for and formed"				
1358	CGCACACACACACACTCTCTCTCTCTCAGACTTCTTACCTAC CCGTTCAACCCCTCGGCCCTCTGAAGGGTCCCTTGTGTTCTCTCTCT GATCTGAGTCATTGCTCTCGGAATTGGCAAAATATCAAGAAGAACATC AACAACTCTCAGACCATTCTGCACAGGAAATTGACATGGCATCTTGC AGCTTCTGAACAGTCAGGCTGGCTCTAAACACACATTCTGGGACC TGTAGCCAATTGGGATTGTTGTCAGGGACTTGTAGACACGCGAGAAC CCCAGAGATGATATCGGCAATATGACTGCACTATGTGCATATACTCTGC ACTGTTTATGAGGTTGCATGGATGGTACAACCTCGCAACTATCTTCTT GGGATGCCACGCCCTCAAATGAAACAGTGCAACTGTACTCAACTACCGCTG GGCAAAGGGCCAAGGGTACTTGCACTCAAAGAAAACAAGGCTGCATCCGA GTGATCTGGTTACCTTGTGCTTCTTCTGTTAAGTCTTTATCAT CTGGGTGGTCTCGCAGCTTTGAAACCATTTGATATGGTTAACATCA GACAAGCAAACAGGGCGGCATATTCTATCGTTTACTGTACTGAATGTGT AATAATGAACCTGGATGAGTAAAAAGCAATGAATTGGATTCAAGTAAAAA AA	XM_00251 1173.1	Ricinus communis Brain protein, putative, mRNA	241	0.39	7E-60	0.82

1359	CGATGAGACCTCTCCCTTACCAACCATTACCAAAAAATGCCACCAATAATT CCC GTGCCAAGCATA TGTACTGAACTTGCGCTCCTATGCTCTTGC CAGACCAATCTCAGCCCGAGGTCTCATCGCTCTCAGGTCAAAGTAGACACC CCATTAAGTTCTGGCGGCTTTCTCTCGTTATTGTAATTGGCT TAATTTAACCGTATTCCAAGGACAACAAGAACCTCAAGCTGATCAATTGA CCAATGCCAATCTAGACAAGTCTGCCCCCTCACATCTGTGTCCTCATG CTTGAAATCCGCCGTCAGAGGGGTGTCAGGGTGTCTCCGAGAACACTT TCCGGGATGTCTGATACTAATGATATCTATCCATGGACCAATGCTATGT TAACGTGCCAAGAACAGCTTACATTCCAACCCGAAAGAACATTGGATGA ATGATCCTAATGGTCATTATACATGGGGTGGTACCACTTCTTAC AGTACAATCCGGATTCACTGGCTTATCTACCTTCGCCATGGTCCAG TCTCGAGGGACCTAATCCACTGGCTTATCTACCTTCGCCATGGTCCAG ATAGGTGTTTGACATAATGGGGTCTGGACTGGTTCAGCCACGATCTGC CTGGTGTAAAATGTAATTCTATACAGGGGACACTGATGATCTGTGC AGGTGCAAATCTTGATCACCCGCCAACCTATCTGATCCTCTCCCTTG ACTGGATCAAGTACCCGGATAACCCGGTCACTGTCCTCCGCCGGTATTG GTAAAAAGGACTTTAGGGACCCGACACTGCATGGTTGCCCCGGATGGTA AAAAGTGGCTGGTTACACTGGGTCAAAGGTTAATAAACGGGCAATTGCGC TGGTGTATGAAACCAGTGA CTTCAAAGCTACCAGCTCTAGATGGGTTC TACACGGGTTCTCATACGGGAATGTGGGAATGTGTGGATTTTACCCGG TTTCTACTGTGGAGGAAACGGGTGGATACATCAGCTATGGCCTGGTA TTAACGACCTCTGAAAGCAAGTTAGATGACAATAAGCATGATTACACTG CACTGGGACCTATGATCCGTATAAAATGATGGACTCCCGACAATCCAG AACTGGACGTGGGTATCGGGTTGCGTGTGGGATTATGGGAAATTAACGCGT CAAAGACATTTATGACCGAATAAACAGAGAAGAATTCTTGGGTTGGA TTGGAGAAACTGACAGTGAAGCTACTGACCTCATGAAGGGGTGGCATCAG TTCAGACTATTCCAAGAACTGTGGTCTTGACAAGAAGACAGGTA AAAATA TACTGAAATGGCAGGTGAGGAAGTGGAGAAATTGAGACTGAGTGTACTG AATTGATAACGTCAGCTAGAACCCGAGTATCGTACACTGAATAAA GCCGCACCACTCAGTAGATATAATTGCTTCGTTGAAGTCGACAACGAGA CATTAGAGGCATCGGGTGAAGCTGATGTGGGATATAACTGCACCAAGTG GTGGCGCTACTGGCGGGGCAAGTTGGGACCGTTCGGCCCTCTAGTTTAG CTGATGATTCCCTTCTGAGTTAACTCCTGTATACTTCTATATTCCAAG GCACTGATGGAGTACCGTACTCATTTCTGCTGTGATGAATCAAGTCAT CAGAGGACCCGATGGCAAACACTAGTTACGGAAGCACGGTACCTGTT TTGAAGGTGAAAATTGTCAGCGAGGTATTGGTTGATCACTCCATAGTAG AAAGCTTGCTCAAGGGGAGCAGCAGTCATCACATCAGAGTTACCCAA CTAAAGCAATTATGGAGCAGCACGTCTCTTCAACAATGCCACGG GAGTGA CTTACTGCATCTGCCAAGATATGGCACCTGGATCAGCAGATA TTGACCCCTTCATCTGTAGTAAATACAAACCAAGTTTCTCAATTGAG ATCTTGAGTAGAATCCCCTATTTGAGTTAGTATAGTGAGTGA GAGTCC TGGCATAAGTCTGCCATGCTGACTATCCTAGCATAGGCACACTCCAGC GGCAAGATTATGTACTCCTCCAAAATAACACGTTGATAATATTGAT ATATAAC	DQ834315 .1	Coffea canephora vacuolar invertase (Inv2) mRNA, complete cds Differential regulation of grain sucrose accumulation and metabolism in Coffea arabica (Arabica) and Coffea canephora (Robusta) revealed through gene expression and enzyme activity analysis	1753	0.87	0	0.83
1361	AAAGCAGCAGCGGAAAATGACTTCATTAAAAATGACAATACAGAACATGCA ATAACCTCGCACTACCAAAAGTAAAAAGAAGAACAAATTAGCAAGCA AGCAACGCAAATAAAAAGACCTACAAGGAAGCTAAATTGGCAGAACCAT AGCCCCTCTGAAACATTTCATCGAGGGACTAACAGCAAAGACAAAAACC GAAGCCTCTTCTTTACACGATTATCTCAATCACTTTATTGAGCTCC TCCAGGAACCTCGCTCAGGTGCCGCAGGCATCTACTCAACAGCCAATGGCA CAGCTTCAGCCAACCTCGATACTTGAGAGCATAAAACACGTTGATAATATTGAT ATATAAC	AM087674 .1	Coffea arabica mRNA for sucrose synthase (sus1 gene)	3315	0.84	0	0.9

	GACGGATCTTGGCGGTCAAGCTTGGAAACATATTCCAGAATCCATAAA CTCCAGCCAGCGTACAACACCAGTCAGAGTAATTGCGCAGGTGTACTTCT CCTGGATACGCTTCAGGCCTCCAGCTGAAATGGTGTCCAATAAGCAGGCT CTTTCTTGACCTTCAAAGAAATTGACAAGGAGCTCGCAACCTGCTCAC CATGATAACGGATCAATGTGGAAACCAGATTTCATGAACAATGATCTAG CAGGTCCACCATGTAGTAGCAAATGTTGCAAGGCCACAAGTCATGGCCT CAACCACTGTCAAACCAAATGCCTCATAAAATGCAGGTTGCACAAAGCAC CCCCCGTGTAGCAATGCACCGGTAGAGTCACCATTCCTCACCCATTCA TCTGAGAAGAAATCCATCTGAATTGGCATTAAAGTTGAAGTTCTATGA GCTCATACATCTTCTCATCTGCTGCTTCCAAATCCTGGATTCCCT TCCTCGGTCTCCACCAACCAGACAAGATTGACCAATTCCCTAGCGTG GGTTCTTAGCATACAATTCAACAAGCCGTCAAATTTCACGCGTCCA ATCTTGCATGGTGAATAAAATGGGTTCTCTTGTCTTTAGCACACACA GGTGTCTTATTCTGACTTCACTGAAAAGTAACTCCTCAATTTCAGGAT GGAGAGAAGTCAATCTTCTCTGTATGTGGGTAAATAAAGGTCA TATCAGCTCTGGAGAAACATGTTGAATTGGTCAAAACATCAATG CATGTACAACCTGTACAATCTGGCATTGTGAAGGCCATATGGCTTCA ACTGTCAACAGTGTCTTGCTTCCGGCTATTCTGGAAAGTGCTAGTGA TGATGAAATCAGTATGGTCATTGCAATAAGATCAGCAGTGAATTGGCAG AGAAGTGATACTTCTCATCAAATTATTCAAGTAATATCAGAATCAGGGT ACTTTGTTTCTCAAAGCATGGCAATGGTACACTGTGTACACCCA TGTGAGCAAGTAAGGAGGCAACAAGGTTACCCCTACTGTAGTTACCA ATAAACTCTGCTTGGCTGTAATTCTGAGTAACTCTTGTCAACATCCT CAGTAAATGTTCCATGTAAGGCCAAACTTCAAAGCGGGAGATCCATTAC GAACATACCCCTCTCAGTTCTGAAGGGAACCTAAGGATGTGAGAAACT CTGCTCAAATACTTCTCAAGTCGTGACCAACAAGTGGTCCGGGTGCAT CAGGCAGCAGTCTAGTTATAATGAGTATAACGCGGCTTGACATCAAGTC GTTCCCTTATCCTTTAAGCATCTCACGCTCCAAGGCAGGAACCTGATCCA AAATGTAACAAACCTGGCACCAGTGTAGGATAGCCAAACATTTCTT GGCAGGAAAGTACCATGGGTGAAAGGATAACACATTGAAACCATAGGTA TTCTCCCTAGGAATTCTCAAGAGTGCAAGAGTCGGGAGCCTCCAGCAGAT CCAGAAGCATAACAGATCATCTCAAGACACGCTCAGCAGTATCACCCAA CTCTCTCCAATCCAATTCTGGAACTTGTGTTCAAAGTCGGAGTATGGTG TTCTGAAGGGAGAGTCGTTAGATACTCCTCTGCCTTCTGAGGACAGCTT GGAGTGTGTTAGGTCTTGATTCTGTCATTCAAGCAGTCATTGCTGCC TGTACTCGTGGACAGAAGAAAATCAAGAAGAGGGGCCATGCTATCCTTG CATGGAACATTTCAGAGAGATGCCCTGTTGAGGAACTCAACTCCATTGC CAATGGACTTGTAGAGTGGCTTGGGAAACGATGAGTGAATGGTCGA AATCCAGCTCCAGGACGAAGTTACCATTCGGCTTCCATCCACGAGCTT CTTGTGAGTGCAGGAACCTGGCACAGTCACCTCTCAACAACAAGTC GAACGTTGACTCGGACATATTCCACAGACACCAGGCTAACAGCAATAGCA GTGCAACCCAGGGAGGCAACACAATTGCTTCTGAGTGGACTTCAGAACTT CTTCAGGCACTGATCATGTTATTCTGTTGACCATCTTGTAAATTCTT CAAACCTGCCAACAGCTGGTGGGTTCAAGATTCTTCCATGGTTT CAAGCCTTGACATAACAAACAAACCTCGTGCCTGAGCAGCAAGTAG CATCAAGCGTTACGGAGGCTGTGAACCCGGGTCAAGAACACGTTGGCCA TGGCTGTCGATGTACAATTAAAGAACCCCTGAGCAGGAGTTCAACTTAGGA AGGAAAAAGCAGAAACTAAGGAGCGAGAGCCATGGGGAGGGAGAAC CCAGAAACAATGAATCAAAGGAAAAAGAAAAGAAAAGAAACGAACG GAACGAACGAAAAAGAGTAACGGAGTCCTCCAAAGAGAGACGAATGAAG				
--	---	--	--	--	--

1396	TTTTTGACAATCCAAAATAAAACTGTATCATAAAAAATTGGATA ATTACATCAGAGTTGAATTACAGCAACATCTGCCAAAATCAATGTACGTT GTACAACATTATCGGTATACAACATTGAACAAACAATCCTTAAAAAAATG TTTACTGTCTTCACATACCTCTTCAAAAAAAATCCCACACTCAAATCCT TTAGGTCCACTTCCCTTAAGACCACAGGCTGCTCAACCATTAGGCAG TATTTGCAATTCCGAAACTTAGGAACGCTCTCAAGTCCACCTAGTT CCATCTTCAAAGTAATGATAATATCACCCATTCAACATAAATCTGGC ACAACTGGACATCTTAATCACCTTATATGAAAATCACTTATCTTGA CCAGTTAACGAAACTGTGACCTCAGATTAGTAAACCTATAACCTC AAGAAAATGCCCTCAAGACAGCTGCTAAA	XM_00252 0066.1	Ricinus communis conserved hypothetical protein, mRNA	241	0.59	5E- 60	0.79
1466	CAGCAATTCTAATTACTATCCCTATAAGAAAGATACTCATAGCTCCA CGTTACACTCTATTAGTCATCAATGGAGCCTATCAGATAGTTCTCAGAAC TACTATCAAGCTCGCAAATTGTTGTAATATTAGAGGACTACTATGC CAGTTGAAGGATTTAATCTTAGTAAAAACAGCAGAAACAGTTAAACAAATT CAGCCCAATTAGAGAATATCCAGCATCTACAAGTTATTACACACAAAT AAAGCAGGAAATTCTGACAAGTTGATGACGAAACAAAGGTCACTGAGA TTGTGAAACATAGAGATTAGCCCTAAACGGAATCTCATTGCGTCCCAACC TCACCAAATGCTGCTGATGTTTGAGCAGCTGCTTATCAGCGGCTTCAC GCTTCAGAGCCCTTTAGCCCTCGCCCAACTGCTACTGATTCTTGCAA CTGCAGCTTCTTCTTCTTAGGCTGGCAGATGGTCCAGCTGCAGGGTCT GGACATTAGGACGATGAACTGGCTAGCTTCTGCCTCCTGCCGAACAT AACCATTTGCCCCCATCTTCTATTACCAATACGTAGACTCGATGAACTAC CAAAGTAAACCTCATCTAGATCTCGTCATCCTCATAGGAATAAAAGTATT CCATTTCATGTCACATCATACTTTCATCCACAAATCAATGGCTTAAACC ATGAGGCCCTAAGGAGGAGACACACACTCTCTCGAACATGTAATCATGAA TGCTGCCATCAAGAGAACGATGGATATTGAGAAACTCAAATGGATTTGC ATTGGGGCAGGTAGGTTCTCTTGATGTTGCCAACGTAATGCAGG TCATACAGTAGGCATGCTCGCAACCTTTACAAGTGCAGTTCTGGAGCA TAATCTTATCCTAAACAAATTGCAACAAACCCATAATGATGGAACTGTCAT TGCTAGCACTACTACTACTACTCTCCACATCCCACACCCACTTGGCTA CCATTGAAGTTATTCCTCAGCTGCTGTGATACTACTCTTCTCCTCC TCTCATCTGGTCTGGATGGATAGATCTGAAGAGAGTCGGTGAGTTGTT CGATGGTTGTTGAGGCATGGAAATGAAGAATAATCCTATGAGTTGCAAAG GATAGCATCAAATTAAATGGTAAATTCTACCGATTATATGAAAATA CTAGTGTGGTCAATATAAAGAACGGAAGAAGTTGGCAAGAGAAAAAGA GATGCTGACGAATTATCTGATTCAGAACGGAGAGAGAGGGAGCGGGAG GCCCCCTCTCGAGTTGGAAGGGTGG	XM_00229 9945.1	Populus trichocarpa predicted protein, mRNA	298	0.44	8E- 77	0.76
1568	ATGCCATGTGTATATCCATTAATTCTGCATTCTTAGGGTCGATGTACA AAAACAGTCTATATCTTCAAAAGTTGCCTTCATTATTCGCTCTGACA GATAATTCTTCCCGTGTCTATCACAAATTGTCTGTAGGCTGCCA CTTGTTGCCTCTAGTAATTGCTATGGAATTGCAAATACTCAAATAAAA CAGAACCAAGTGGAAAAAAACCTCAAGAATAAAGCTCCTCCGAAAAAGAG CCATCCTGACTCTTCATTCCCAAACCAATCATTGTGAAACAAAAATAGC CACATCAATCCATTGTTAGTTGGGTTCCCGAGAACAGATTAGTCAGAAGGCC AATCATCATCTCTGGCACTAACAGTTTATCAAATTCTTGACGTCAAAC TCCCAGGTTAAGGCAGCATCCTCAAAGTACTTCCCTCTTGCGCTT CTTAGCAACTGCAGCAGCATTATCATACCCATTAGGATTTAAAGATGT GACCAGCATGAGTGAACCTGTGTAATAATTAGAAATTCTTCCCTGGC CTGAATTCCCTGATGCAATTCTCTCAAAAGAGGATGATGCATACCAAG CAATCTCAAGGAGTGTAGCAGACAACTGGCAATCAGAGGCTGAAACACATT CAGCTCAAAATGGCATTGATCCGCCACTGTGATGGCCACATGATTCC	XM_00252 3087.1	Ricinus communis aspartate ammonia lyase, putative, mRNA	1185	0.62	0	0.82

	CATAACCTGGGCACAGACCATGGTGAGGGCCTCACACTGGGTGGGATTAC CTTCCCAGGCATAATACTACTGCCAGGTTCACTTCAGGAAGAAATGAGTTCA ACCCAGGCCACAACGTGGACCACCTCCCCAATAAACGAATATCGTTCCAAT CTTCATGAGAGAAGCGGCAACTGTGTTAAGGCTCCACTAGTTCAACAAA TGCATCATGAGCAGCAGCTCAAACTTATTTCAGCTGTTACAAATGG TAACTTGTCTCTGCCACTGCAGCGGCAATTTACATCAAAACCTT CTTGTGTTCAAACCAAGTCCCTACAGCTGTGCCCTTGCGCAAGCTGATA CAGGCAGGAAAGGGTGCACAAGACTCGATCAATCCCGTACTTCACTTGCCT TGTATAACCGCTAAACTCTTGTCAAGGGTCAAAGGTGTTGCATCTTGAGT GTGGGTACGCCAATTTCAATGTCTTGAATTCAATTGACTTGAATG CAGTGTGGTATGCAACTGCTTGAGACTTGGTATTAAATCTGAATTACTC CATTCCAGCTGCAATATGCATAACAGTTGGAAAAGTATCATTGAAAGATTG AGATCGGTTCACATGGTCATTGGATGCACAAACCTCTCGCCACACTTGTG GCCTAGGATTTCAGCAGCTATTTGCAATAACCTCATTGGCGTTCATATT ACTTTGAGTACCACTCCAGTTGCCAGACCAACAGGGGAAAATGATCATT TAGTTTCCCTTCAGCAACTTCTTGTCAAGCTTGCATTATTGCCCTCCCTAT GGAGGGATCAAGGCCACTTCTATGTCACCTTGGCAGCACATTTTAAG AATGCCAATGCAAACTTGGTCAAATGTCTCTTCCCTGAAAGATGT AATATCAAAGTTTGAAGGGATCTTGGGTTGCGCCCCCACAACCTGTC GGAGGGACAAGAATGGTCAAATGTCTCTTCCCTGAAAGATGT TGAGAACCATCTCAATAACGTAGTCGTCGTCGTCGATCCCTGGA TAGTCGCGGGACGTCAACATGCCATTCTGAAGTCAAACAAAGAG CCGCCGGCGGTGACGTGCCCCGATCAACAAAATCTAGGGCAGGGCACCTG ACCCAATACTGCCACAGCCACAATTCAATTCTGGGATTACTTTTACCC CTCTTCGAATTATTAAGTCCCTAGTCTGGGAGTTTGATTGGGAAGAAAGG AGCCGGTAAAAGAGATAAAAAGTGAAGGTTACAGAGAAAAGCGGATT CACATCAGTCGCTATCTGCATGGC						
1639	GCTAAATCCACGGTGTGGCAAACCCCCGCTCCCCGTTCTGGTTCTTGA TATTTTGTCCATTCTCTCTTCTTCTCTCTTCTCTTAAAGTGAAGCAATA TTTTTCACTATTGTGATGGGGGGGGGGGGGGGGGGGGGGGGGGGGGGGGGG CACGATTCTATGGAGGTGGAGCTGCTGCTTGAAGCATGTTGAAGTCTC CTTCCCTCCGGGAAAGGTGAGATCTTGTCAAATTGGAAGCAACAAGT CTAAATCCGATTGATTGGAAAATACAGAAAGGCATGCTCGACCTATCATG CCTCGCAAGTTCTTATATTCCCTGCAACTGACGTAGCAGGAGAGGTAGTG GAGGTTGGACCTGGAGTAAAGATTCAAAGCTGGCGAGAAAGTTGTGGCA TATCTTAATCATCTGAATGGTGGGATTGGCTGAGTATGCTGTTCAAAA GAGAGCTGACTGTTCAAGGCCAGCTGAAGTATCTGCTGCTGAAGGTGCA TCTCTCTGTGCTGGTCTTACAGCCCCTAGGGGCTTACCCAGTGTGCT GGCGTTAATCTGATGGTAGTGGGCCACAGAAAATATTCTGTCAAGCT GCCTCTGGTGGGGTGGGCACTATGCTGTTCAACTGGCAAAACTGGAAAC ACCCATGTCACCGCCACTTGTGGAGCTCGGAACATTGATTTGTGAAGGGC TTGGGGGCTGATGAGGTTATTGATTATAAGACTCCGGATGGAGCTGCTCTT ACGAGCCCCTGGGGAAAAAGTGAACGCGGGTGAATTCACTGCACAAACGGGC ATCCCCGGTCAATATTGAGGCCAATTGAGCTGCAAATGGCAAAGTTATA GATCTCACTCCCGCCAAGCGCCATGTTGGACCTTGTGCTGAAAGAAATTG ACTTTGCTAAGAAGCAATTGGTGCCTTGTGATTATGTTGCCAAGAGGGAG AATCTGGATTGTCTTGTAAAGTGGTGAAGAAGGGAAACTCAAGAGTATA ATTGACTCAAAGCATCCTCTGAGCAAGGGAGATGCGTGGGCAAAATT ATGGATGCCATGCTACTGGGAAGATCATGTTGGAGTCCATAGATGAAAAAA GTTAAGTGAATTGGGGTGTGTTAAGTGGAAAGGGTTTCTGTGCAAGAACGC ATGATAACTAGTACATGTGTTGGCTGTGCAAGTCAAAGAGTAGT	FQ380765 .1	Vitis vinifera clone SS0ACG33YF07 "quinone- oxidoreductase homolog, chloroplastic- like [Vitis vinifera] "	628	0.73	2E- 176	0.79

	ACATCTTGTCTTCTATTGTTGACAAAAAAATTTCTTCTTAATCGGATT ATACATTGAAG						
1670	TATTTGCGAATGCTGGTATGAATCAATTCAAGCCCCATCTCTTAGGTACTG TTGATCCAAACACTCCCCTAGCAAACACTCACCCGGGCTTGCACACCCAGA AATGCATTGCGCCGGTGGCAAACACAATGATCTAGATGACGTTGCAAGG ACACTTATCACCATAACCTTTTGAAATGCTGGAAATTGGTCATTGGAG ATTACTTTAAGAGGGAAAGCTATCGAATGGGCTTGGGAGCTCTCACAAAGG TTTATGAGCTACCTGCTGACCGAATTATGTAACGTATTGGTGGGGATG AAAATCTGGCCTTCTGCTGATTTGAAGCAAGGGATATCTGGCTAACGT TTCTTCAAATCAGCGAGTTTGCCTTTGATTCTAAAGACAATTCTGGG AGATGGGTGATACTGGGCCATGGGACCTGGCACAGAGATACTTGATA GGATTGGAATCGTGTGCATCATTGTTAACATGACGATCCTACTG TTATCGAGATATGGAATCTGTTTATTCAAGTCAACAGGGAAAGGTGATG GCTCTTGAACCTTACAGCAAAACACGTGATACCGGAATGGGTTTG AAAGATTAACCTCGATTCTCAGAACAGATGAGCAATTATGATACTGATG TGGTCTGCCAATTTGAGTTCAACAGGCAACTGGTGTGCTGACCTT ACTCTGGAAGGTTGGAGCTGATGATGTGGACAATGTGGACATGGCATA GGGTTGTTGGCTGACCATAATTAGAACTCTATCATTTGCCATTGCTGATGGAG CTTGTCCAGGTAACGAGGGTCGTGAGTATGACTGAGACGTATTCTCGTC GAGCAGTCCGTTATGTAAGTCTCAAAGCCAACAGGGTTTTTA GTGGTCTGGAAGGGTGGTGAAGTGTGGGTGATATTTCGGGGAGC TGCAGCAATATGAAGTGCACATAAGCAATACGATTGCTGAGGAAGCCA GTTTGGCAGGACCCCTTCTCATGGAATTGAGAAGTTAAAGGCTGCTC AAGATGTTCAAGGAAAGACATTAGTGGACAAGATGCATTTGCTATGGG ACACTTATGGCTCCCTTGGATCTTACTCAGTTAATGGCTGAAGAAAGAG GCTTGTGGTTGATGTCATGGTTCAATATTGCCATGGATGAGGCAAGGG AAAGATCAAGAAATGCTCAGAATAAGCAAGCTGGTATTGGTATTGTGATGG ATGCTGATGCTACCCACAGCTTGCAGAAGAAAGGGTGTGCAACAAATG ACATTTAAGTATATGGTTTCAAGGATCATGAAAGTGTGATAAAAGCTA TTTATAGGGGAATGAGTTCTTGAAATTGCTCTGGGATTCTGAAGTTG GTATTATTATTGAATCTACAAGCTTATGCAGAGCAAGGTGGTCAGATAT ATGATACTGGATTCTGAAGGCCATCAGGATTGTTCAAGTTAGTGATG TTCAAATCTTGGAGGATTGTTGTCATATTGGGCTTTCTGTGAAAGG CTGATAGCTTGGCATTGGTGTAGAGTAATTGTAAGGGTGAATGATA GGCGTGCCTTATTGCTCCAAACTACCTGTACACACATGTTAAAATTG CTCTGAGGGAAAGTACTTGGAAATCATGTTGATCAGAAAAGGTTCTATTGTC TTCCTGAAAAGTGGAGATTGACTTTCTCATGGTAAGGCTGAAAGCCTG AGGAACCTAGAAAAATTGAAGGTATTGTGAATGAACAAATTAAAGCTGAA TGGATGTATACTCAAAGGAGGCAAAGTTAGCTGAGGCAAAGAGCATTAAATG GTCTACGGCTGTTGGAGAAGTTTATCCTGATCCAGTTAGAATAGTTG CAATTGGTCAAAGTGTGGAAGAGATCTGCTGGCTGATCCAGAGAGTGAAAAT GGTTATCAATATCTGCAGAGCTCTGTTGGAGGGACGCATATTCAAATACAC GAGAAGCCAAGCATTGCTCTTTATCTGAAGAAGGAATTGCTAAGGGAA TCGAGAATTACTGCTGTTACGAAGGATTATGCTTCTATGCTATGGAAT TGGCTTCTTAATTGAACAGGAAGTGAATGAAACATTAAAGACTGAAGGAA GCTTACTGGAACAGAGAGTCACTAAGTGAATGGTCGGGTGAAAGGTGCTG CTGTTCCAACAGTTAAAAGGCTGATCTTAAGGCCAAATTCTGTACTTC	XR_13985 8.1	PREDICTED: <i>Vitis vinifera</i> alanyl-tRNA synthetase- like (LOC100251111) , miscRNA	1760	0.82	0	0.79

	AGAATCAAGTCATTAAAGCTAAAAGAAGATTGCTGAAGAGAATATCCGGA ATGCTGTAAAGTGCATTAGAAGAGGCAGAAGTTCTCATCTGATGGAA AGGCTTACTGTGTAACTCATGTCATGTCAGATCTGCTGCAATCC GCGAACGCTGTTGTCAAAGTGACGGAGCAGAACGGGATGGCAATTATGGTTG TCAGCAAAGATGAATCTGCAACAAGGTTGGCTGTGCTGGGTTCTG AGAAATGTGAGCAGTACAAGCAGCTGGATGTAAGAGTGGCTGACTGCAG CTTGGTGCTTGAATGAAAAGGTGGAGGAAAGGTTGTCTTGCTCAAG GCCAGGGATCTGATATACTCACATGTGGCTGAAGCGATGGACATTGGCCTT CTTTGCTTCGATGAAACTGAATTGATAGACACTTCACTCAATACATCAG CAGAACCTTATGTTGCTGATTCTGTGATAAAGGTAATTGTTATGA GTTGGAGGCCACAAAGAATTCTGTGATCAAAGACATATTACCTAATTA TGATGAAATTGTAAGTCAGCGAAGAGCCAAGAGCAACCCAGTTGTAT TTTGCTTACAGCAGGAGTGCAGAGAACAGACATTGGTGGATTCTTG ATCAATGTTCTGATTCTAGTGTAAACTTGTCTGCTGGATCGCTTAC ATCTTAACTGTTCCATGAACACTGGTGCACCTTGTATTGGATTG CCAGTGAATTGACTTGACATTGGAGAAAAGATGCTGTATTGACAT CGATGAGGTTTATCTGCGGAGGGCAATGTACGCTAAAGACAACATATA CCCACACCTGGAGTGCAGGGCATTGGTATCTAATGTATTGAATTGTT TTTGTCTCTTCTTGGGGGGCAAGTGATAAGTAACCCAGATTACTCC CTCTCTATCAGATATTATAAATTGAAACCGAATAACATTAC						
1714	TTTTTTCAAAATAACTCCACAGACTTAATAGAATCCAGCTAGAGGAA GTTGCAGCAGTCTAGACAATGCACTGGACAATTCTCACAGTAATCCTTGT AAGGATTGGGAGTCATCGAAACACCACAATTACTCCAGATAGAAAAGATA ACAATTCCATAACTTACATTTCAGCCAAAAGAGTTACCAATCAA TAAAGTATGAACTAAAAGTAGATAGCTTGCTTGTGATTGGAGGAACCA TTTCCCTGCATACAACACTCAGCATTTCAGGAAGGGTAATTCTCTC CAACCTGTACTGTACCTTAATGCATACAATAACATGCTATATAAAATCGG TAACTCTGATCCAAGAAACTTGTCCCTGTAGCTAAAGAACTACAAGCCACG TCCACGCCAACACCTTACTGCCACAGACCTGCCAGCTGGCTCCCT ACCCCTGCCACCCTGGCAGCTCCATCAAAACAGGCCAATTCC TTTCCCTGTCTCCCCACAGCACCATCATCCCTACCTCTTCTCTTCA CCCAACACCTGGTGGTTCTATCTGAACGGCTTTGTTCTCTGAAC TTTATCAATCACCTCATCGAACACTGAAGATACTTAATTGTATTAC AATATAGCATTC	DQ241844 .1	Solanum tuberosum clone 183G06 glycine rich protein-like mRNA, complete cds. The eukaryotic Sm and Sm-like (LSm) proteins associate with RNA to form the core domain of the ribonucleoprotein particles involved in a variety of RNA processing events including pre- mRNA splicing, telomere replication, and mRNA degradation	231	0.4	4E- 57	0.83
1718	TCCCACGTAATATTGGTGAACACTTTCATGGACATAAAACATGTTGGT CACAGACAGTGAACGTCACTTGCTGCATAATTGCTCTCATATCCAAGGAT CCAATGTAGAGGATAGAATTCCAACACATCACTATCAAACGGTAATAGAAAT GTGTAATGATCATAGTAACAAAATCTGAAATACAAAGATATTATGCGGAAG TTTCAACTCATTGGGGTTGTCGAACACCATTTGGAGCATCTGCAT	XM_00227 6673.2	PREDICTED: Vitis vinifera uncharacterized LOC100250729 (LOC100250729)	129	0.17	3E- 26	0.83

	GAAGTCGAGAAGAAACCTCGTCTATGGCAGAGTTCAACTGTGCAATCTTCT CAGTCAGTACCTTGCCTGTTCTCTGCCTCGCAAGGCAGAACAGTGACA ATATGAGAGATTGAGGCATAAGTTACCAATCAAAGGCACGAATCCCGTTAT AGAACTAAATAATGTTTCCGCATTCTTGTCTGATCATTTTTCTA TTCCCTGAAAACAATGGGCAGTCATTATCAGTCCTAACAGACAGCAGTTCAAT CACAAAATGGAGACTAATAGATCCATACAAATCTGATTGTTGGTAAAGAC TGTTTGCAGCTACAATGATGCTCGCCCCCTCACACAGTTGAACACTTC TGGGTACAATGACAGTAAGGGTTGACACCTCAATATTAGTCAATCCAACCA AAAAGGCATCGCTCTGAAGCAAATTCAAAGCACTTAATATAGCTATCC AGTTGTG		, mRNA			
1761	TTTTTTAAACAAGATCATCTTAAACAACCTGAAAAGCAAATAATATTCA ACAATGAAACAATTCTATACACGCCCTCAAACACTGATGATGATCAATCAAGTT CATCCAAACTCAAGCAAATACACACAACTGAATGAATAGAATAGCAAAAG AGAAAAAGAAACAAAGGAAAAGAAACACAATCTCCCTAGTAATGAGTATG TAGCACAGCACTAATATACCACGCTAGCAATAATCCACTAATGAAGACAA AACCAATCTGAAAACAGAAAATATACACACACTAAAGAAACCTTACCCCT TCTTGATCTCTATATTGCTTCTCGTAGTTGTTCACAGGCCCTGGAAAT TACCTAGTTGGACATCGTCTTAGTTAGTTCAAGGAGTGGTGGTGGTGT TTTGAAATGAGATTTCATAATTGCTTCTTGCTTAACAAGTGAATG CTTCACCTTGACAGTATGTTATTGATTGTTATGTTGCTTCTGCAAC CTCTCCTTAGGAGCTTGTGTTGGATTCAAGTCATCTACTTCCTGGA CTCTGCTCTAGCTTAGTTCAACTGCCTCACCGCTTCTCTTGT TTCTGTCAGGCTTGGAGTCTTCAACATCCACCTCTTCAACTTC TGCATCCTTCCGTTCAACTGAAGCTGCGGTTCATCTGTTTATTCC AATATCAGCAGGTAATTGATGTCCTGGAAGTTGCTTCTGCTTACAAC TTTCCAGTGTCTCAGAAGTGGAAATGGAGCTAGTTACAGGATCGACTTC CTTGCTCAACCTGAGTCGACTCTCAACAAATACCGACTTTCTTCGTT TTCTCAGTCTCAAATCCTGGCTTGGTTCTCTTCACTGCTTTCCAG CGTTCTCTAAATGGTAATTCACTGCTCAAGTTGGCCGTGATTCTTTTC TATATCCTCAGTCTTCACTCAGCTAGGAGCTTCTAATGTTCTC TTGGACAACCTTAGCTTCCACGGGGTTGAAGTAATGGTTCTAAACTTC TGTGGAAGTAGATTCCGGCGTACCTGCTTCAACTCCCTCCACCAACTTAGT ATCACTGATTTCATCAGTCGAATTCTCTATCCTTAATTGCTTCAACCTC ATTTTCTTCAGGTTCAACAACTGCAGCTCCTTCACTTGTCCGT ACTTCAAGTTTCTTGGTTGTCTACTACTCTGGAATTGGAGTAGA AACTTCTCTTCTGGGCTCTGCTGAAACTCTACAACTTCACCCAC TGCTGCACCTTGTCTGGGAAGCAACTCTCTACTTGTCTCTTCCG CTCAATAGCCTCACTGACTGATTCAAGGAATATCAATTCTTGGTAACTC TTCACTTGTCCACTTTGTCTAACAGCCTCGATTGCTTCAAGGAGT TCCAATTCTGCAAGCTTCACTGCCTCGTCTTGTCTCAATAGC CTCGGTTGATGATTCAAGGATATAAGTTCTCGGTGCTCTTACTG CTCCTCTTTCTCAAAGCATCACTCACTGATTCAAGGAATATGATT CTTGGTATCTCATCTACTGCTCCCTTTCTCAACAGCCTCAATTAC TGATCCAGGAATATCAATTCTGGCAGCTCTGGGTTCCG AGGTTCTCTGTGGTTCCAAGTTTACCTCTGCCACTTGTGGTC ACTTTGAGTGGACAGAACTTTGCTAATCCTGATTATCAGTAGAAGC AACCAAATAGGAATATCATCAGGTTAAATCTCTGGAGCAGTAGG CTCAATCTTCTGTCCCGATCTTCCTCGGGTCACTGAAGTGACAGG CAAACCTCTCAACTAGAGGTGGTCACTTGTCTCTTCTCTTCCCC TGCTCAGCCAAAGGGACTGTTGTGCTAGTTAGGGTGTCCACGTCTT	UNICA				

	CCACGAATGGAAAGAGTGTATCGAACTTGTGACCTTAAC TG CAGGGATGT CAAAGAGGCCATATGGACGCATAATGAAACATGGTGAGCCACTCCAACAA TTGCACTTGTATTGTGCTATGGCATAACAAAAGACCAGAGAGGGCTAGTAAG TCATCAAGGATGGTAGACACCAAAAATAAGATTGGGGGTGGTTAAGATG CAATAAGCAGCTAAAATTTCAAAATAAGTGCCTTAAGATTGAGATATTA TACACACTCCAAGCTTAAGGATCTGATTCTAGAAACCCCCAAACCTGGAA AAGATTAAATTATAGTTATGCCAGTCACTTGAAAATCCTCAACCTCTCCA CTGAAAAGAATTTAATCAAAGGATATGTTATTCACCAAGTAAAGCATC CAAATACATGATAATAGGTTGTATCCTTTGACAACAGATGCACA AAGAAAATCATGTAACATCTCACAGAAAATGATTGTAACTAATTATCTCC AAGCCCAG						
1817	AAATGGCAGCGTGGACGGCTCGCTCGCCAAGCCCGAATCTCGCTCGAC TCTCAGCTCCCAAATCAACACTCACCACCAAGCCGCAACCCCTCATCC AGCGTCGGCGCTCGCCGGCGTGGCGATCATCATGGACCCACAAAAGTGA ATGIGTGGGAGGACCGCTGTAATCCATCTAAATGGAAAAGAACGAGCACTTTG TCATTGTGCTCTTACTGGATGGGCTTGCTGTCTATGGCGGGTACAAAGT TCTTCACAGGGGCAAGAAAGAGACGAAGGAAGAGAAAGTTGAGAATCAC ATTGACTTGGGTTGTTATATTGATACGCAAATAAAATGGGCTGCTTAG GCTTTGGTATGGATGCTGGAGCAGAGGAAGAACACTGATTGTTCTAGA TTTCCGATTGAAAAACTACTAGTTGGACAAGAACCCACTACGGAAGAA ATATATGAAAATGCCGTTGGCTTACCTTTGATCTGTCATAACT TTCCAATGATAAAACCATCGTTCTAATAAAAATGGATTTCAC	AK320703 .1	Solanum lycopersicum cDNA, clone: LEFL1012BF05, HTC in leaf	257	0.53	7E- 65	0.79
1902	CTCTGGGACAGGAGAGGTGAGGAGCTCTCCCGTGGTAAATTACTAGTA GGTACTGCTGGCGCAGCTTTTAAATTATTACTAGGGCAAAATAAAAGA AAAGAAACGAAATCCGGAAAAAAAGAAAAAAATGGCAGCGATTGGAGAAA ACACGGCATCATGCCATGGCTGCCAGTTGACGAGAAACCTTACTCGACC ACCCCTTCCTCCTCCTCTCCAAATTTGGTCTTCGCTCGAGAAGTCT CAGCGGCGTGAAGTCGGCGTCGGCCGGTAATCAGCGAGATCATCACCTC CCACACCGACAAATGGATCAGGATACGAGTAAGAAATCTCTATGAGCT GATAAAATGAGTCCACCTTAAAGGTGAGGGCAGGATTGTTGCTTGTA AGGAGAGCAACCCCTGCGTTGGGCATCCAATTGAATTCATATGCTTGA TCTGGATGAACCGGGTGTATGCAAGTATTGTTGGGTTGCCCTATGTCAGGA TCATGGCAGTCACCATCACTAATGGCAAGATGATTGAGTTGCTTGGTGG TATTCTGCAACTGTACAATGATCTCGTTCTCTGATTTTGCTGTAAT TTGATGTTAGTGGAGCTTGTAAAGCTGCCCTGCGATCAATTGAGGAAA GAATAAGAAATTGGCTTGTGTTATGACTTGGGACTTGTCTGTTGAAAGT TCTTTCTGAACTTGGTTGAAAATAAAATGACAATAGCTAACAGATT TAAG	AC239167 .1	Carica papaya BAC clone 86B15, complete sequence	111	0.11	6E- 21	0.9
1953	GCTCGATGAGATGGTTCTAACGGCATCCTCAACCCCCGAGCTTGCTATTCA AGTCCTCGTTCAATTGATAAGTCGATGACGGAAGCTCTGGAAACTCAAGT GAAGAGCAAAGTTCAAATTAGGGACATCTTACACATTACAGATTCTGTGA CAATGTTGGACTTTCATCTTACAAATGCTGTGTTCAAGAGTGAGGAATG CCAAGAGAAATGTTAGCCACGTTAGAGATGCTGAGCTGAAGCTGCT TACACAGTGAGAAAGCTGCGTATGAGATTGGAAAGTATTGAGATTAACATAG TTCCATTGTTAAATTACCAAGATGGAGATGATGGTGTAAACAGGGATCTGGTT GAAGAGAAATTGGAAGTTATTGATGTAATTGTTATTGTAACAGCGACAGCGGA ATTGAAACCTTTGTATAATTCTTATTGGACCTAAATGATTGTAATCACCGA GTGTTCTGACTATTAACGTATGCATACTGCACAGTCTTC	XM_00354 4787.1	PREDICTED: Glycine max transcription initiation factor IIA subunit 2-like (LOC100810792) , mRNA	246	0.52	1E- 61	0.81

1958	CCAATTTGGACAAAGGCTTCAATTCTAGTAGCTGTGGAGATTATCTGAGCAGA GACAACACCAGACCACCCAGCTGAGCACAAAATAATATGCTGGGAATT TTCTCTCCCGCAGCTACACATTGCTAGTAACATGTATAGCAGTAAGCTTG TGATAAGCCATTCACTGAGCACCTGAAAGTGCACITGTAACATCAATTCTGGTT TCATGGTACTTACCTCTAACATTATGCTGGGTATGTGACAATTGATG AGAGTCATGGGAAGAAATTGTATTATTACTTGTGTTCTGAGAGAAC CATCACAGGATCCAGTAGTTTGTGGCTCAACGGTGGCTCTGGTGTCAA GTTTGATGGATTGCTACAGACATGGTCCCTTAATTGAGGGGAA AGACTCCCAGTAGCCATGCCACCTTGCATCTCAATCCATACAGCTGGTCAA AGGTTCCAACATCGTATTGGACTCTCTGCTGGTGTGGATTCTT ACTCGGGAACAGAGTCTGATTATAACAGGAGACATAAGACTGCTCTG ATTCTCACACATTCTCAAGTGGTTGAGCTCTACCCGGAGTCCCTCT CTAACCCAGTTATATTGTTGGGGAGTCATATGCTGGAGTATACGTGCAA CTCTCTTTATGAAGTTGCAAAAGGAATAGATGAAGGTATAAGCCGTT TCAATTAAAGGGTATATGGTGGGAATGGAGTTACAGATGATGAGTTG ATGGCAATGCTCTGGCCATGGGATGGGCTAATATCAGATG ACCTATATAAGGAAGTTACTTCTGAGTGGCGTGGAAATTATTATAACCCAG CAAGTGAGAGCTGTGAAAGCAACCTGAAAAAGTTGATCAAGAACTGAAAG GTATAAACATATACGATATTCTGGAACCATGTTACAGGTCAAATACAA TTAAGATGATAACTGACAACACCAAGTTGCCCTGAGCTCAGGAAGTTAG GTGAGACTGAAAGGCTCTCTGTGAGAACAGAATGTTGGCCGTGCAT GGCCTCTGAGAGCTCAGTAAGAGATGGACTGTCCCAACTGGCCCCAGC TTCTCAATGGCGATAATGTCCTGACTAGCGATGAAGTTGCTACAGCAT GGCTGAACAATGAAGCAGTTCGGAAGCAATTGCTGAATCGTAAATG TGGTAGACACTGGGAGTTGTGACAGACAGAATTAGGTTCATCATGATG CTGGGAGCATGATCAAGTATCACAAGAATCTAACCTCAAAGGGTATCGAG CACTTATATTCAAGCGGAGATCATGATATGTTGTTCCATTACTGGAAGTC AAGCATGGACAAGATCAGTTGGATAAAGATGTTAGATGAGTGGAGGCCTT GGTTTGTAATGACCAAGGGTGTGGATACTTACAGGGTATGACTATAATC TCACCTTCTCACCATCAAGGGCGCTGGACATACTGTCAGAGTACAAAC CACGTGAAGCACTGGAGTTTATACCCGGTGGTGGATGGGAAAAATATT GAAGTTTAACTGATTGATTACATGTTAAGAGGGAAAGAGAATAAGGAATGT TCATTAGATTGTTAGTCTATTCAATTGCAACTTAAAGGAGGTCAAAT GAAGCGAATTGTGATGGTCTCGCACACTCAAAGACACAAGGGGATAT ATATACTGGCAGAAGAATTGTGAGGACACGGAAAATGTCCTCTGTGAA ACCGTGCCCCATAATAATTGTGATACTCTTCTCCCTCCAAAGCATGACT GTCATCCTGCTAGTTGAGTTAACTTAATTGAATGATAACTTGCTTGGCT ACTTACTGCTAGTAGAAACAATCTGAAGATACATTGATATGCTGATGCTG AATGAAAA	XM_00232 1204.1	Populus trichocarpa predicted protein, mRNA "serine carboxypeptida se-like 20- like"	1004	0.7	0	0.79
1959	GACAGCCTTCCATTGAGGATGAAACATGTACTCTGATACTCTCAGAAAA ATCTTGGAAAGATAAGATAAGCCTTGTAGCTTGTGAAACCACCCACTGATAT ATTCAACCATGCATTGCGAGTTGAGTTAGAGTATGGTCTTCATCTATTG TTGCAATGATTCTCAGTTGTTCTGCTGATAGTCTGATCTGTGCACTCTTAAG AAATTTGGACATTCAATGATGAGTTAGCTCCATTGTTCCCCAGCATGGGT ATGTTTCAGAGCTTCAGTAAAGTCTCCTCATGATGAATATAATTCCAGT ATAAGGCATAAAATATGGTGTCCCAATGGCTGCATCTCTAACCTTC CTGAAGACTGAGATTGTTGTTCTGTTAGCAGGGCTAGCGAGATACAT AGCGAGCAATTGACGGCCTGAAGAGGGCTAGCGAGCTGAAGCGTCGATCTC ATTAATCACAAGCTGATAACTGCTAGGGCAATGTAAGATCTATAGACGAG AGACTCTCGCTCCACGGCGTCTCGGAGGAGAGATTAGGGACGTCGCTGTT GTTGATGGCGGCTGATATGCAACCTAAGTAGAAGATTGTTCTAGGCCAAA	AK320920 .1	Solanum lycopersicum cDNA, clone: LEFL1014CC06, HTC in leaf "coatomer subunit epsilon-like" Coatomer epsilon subunit This family	603	0.8	6E- 169	0.81

	CAAGGGATCGGGTCCGCCGCTGCTACTGCTGTTGCCGCATTTGGTT GTTACCGGAATTGGAGTGTAGAGAAGATGAATCAGAACTAGATCTGCCGAG AGAGAGGACAGAACGGGTGGGAGCACGGCTTCGTATTTATAATGGTAGGT AACTGTGAAATTG		represents the epsilon subunit of the coatomer complex, which is involved in the regulation of intracellular protein trafficking between the endoplasmic reticulum and the Golgi complex				
1968	AATTGACTGTCTCCTCCGACGCCCTCAGTCTCATCAGCGTCTACTCTAC AGCCCCTCTGGAATTGCGTCATTCCGATATTCACTTCACTCCACAG CTAATTATCTGAAACTAATTACTCAAATACATATATAGAGAGAGAGTGG AGAAATGGTGGGGATTATACCCATGGCGTCTCCATCAGACCTCGCAGTG TTCTTCTAGGTCCGCTGCCTCGCCTTGTCTCCCACAATTCTGCGGGC ACTCAGTTGTTGCATCTCGGCAGTGCAGTCCGCAATCTCTGCTCTTGG CCTTAACGGTCCAAGTTAGGAGGGGAAAACAAACATTGCTGTTAC TGCAGCTGGTAATATGGCACAAGCACAGCTGCTACACAAGAAAATGC CTTGGAGTGGTTAAAAGGACAAGAGAAGAATGCTGCATGTTGTTATCG TGTGGGGACTGGACAGGACAATAAAATTCTATACAGAATGTTAGGCAT GAAGTTGTTGAGGAACGTGACATTCTGAGGAGAGATACAAATGCCTT CCTAGGATATGCCCGAAGATTCTCATTTGTTATTGAACTCACTACAA TTATGGAGTTGACAAGTATGATGAGCTGGAGCTGGTACTTGGCACTTCGGCAT TGCAGTGGAGGATGTTGCAAGACTGTAGACTGATAAAAGGAAAGGTGG TAAAGTTACAAGGGAACCGGTCTGTCAGGTTGGTAAAACAGTTATTGC ATTATAGAAGATCTGATGGTTATAAATTGAACTCTTGAGAGGGTCC TACTCCGAGCCATTGTCGAAGTAATGCTCGAGTTGGAGATCTGAACG TTCTATAAATTGAGAAGGCTTACGGCATGGATCTCTCGCACAAG AGATAATCTGAATACAAGTATACTATAGCAATCATGGCTATGGACCTGA AGATAAAATGCGGTGATGGAGTTGACATATAATTATGGAGTTACGGAGTA TGACAAAGGAAATGCCATGCAACAGATA	XM_00233 1114.1	Populus trichocarpa predicted protein, mRNA. lactoylglutathione lyase, Glyoxalase_I; Glyoxalase I catalyzes the isomerization of the hemithioacetal, formed by a 2-oxoaldehyde and glutathione, to S-D-lactoylglutathione. 4.4.1..5 (R)-S-lactoylglutathione <=> glutathione + methylglyoxal	732	0.65	0	0.86
1972	CCTGCCTAACATCCAATTGCAATTCAAGAAACAAAGGAGCATCTC TTCAAGTAATGCTGCCCATCAGAGAGAGTGCATCTTGAGACGATAATT CTTCAAAACAGTCATTCCAATCTAAACTAAGGCAGTATATTGTATA GCAGGAAAGTTAACGTCAGGACAAAGATGAGGTATAACACTATGATAAACAGTG ACCAAGTGATGAGGATAATTATGCTGCACAGGCTGGTCAAACAGAAATT TACAGATCAAATTCAAGGTACTTCAGCACTTAACTTGGATCTCGAC TCCTCAGCCAAGTTCACAGCTGCAGATATCTAAACCTCCATTAGCCA GAATTCCGAGTCCAATCCATTCCAAAACCTTATTAGAGCTCTGGTAGGAA GCCCTAAACATCATTCCATAAAGCCTACGGGAAACAGCAAAATCCAC GCATTCTCCCGAAATCATAACCGGGCTCCACAGTAGTCACCCCTCGTGA	XM_00232 1225.1	Populus trichocarpa hypothetical protein, mRNA "Plastid Outer Envelope Porin of 24 kDa"	206	0.57	2E-49	0.68

	GTATAACTGTACTTCAACTTACAACACTACGTTACCCGCCGAATCAAACCG TAACTAGCCGAAACCGTGTAGCCCAGTCATCACCAAAGTCCCATCCAAC GCCGTACGTTCTCCCCCTCCAGTGCCTGACTTCACGTTCAGTGGCCTC CCCACCAACTCAGGGTATTCAAAATTCAAACCTCACATCTCTGGGG AAATTGTAAGTCGACGACAAGCCGGCAGGTTCTCAACGGAGAGAGTGAGG CCGTTAAAGAAGGTCGTTAACGAAGCAGGGCTGGAGATGGAGGTTG AGTTAACATCACCGCGTCTAGGGTACTGTGCCACGGCGTAGTGACG TCGCTGCTGCTAGCGCTTTAACGCAAGCTTTATCATTTTTTCAA AAAAATAATGATGGAGAATTGAAAACTAGGGTGGAGGAGTGGATTG GGGGTTTATGGCGGTGGAGGGAAAGAGGAGGGAAATGATTTGCGAGA AATTAC						
1983	GAGTGCTGCAGCAAGTCTGGGTATGATCCTGCTTGGGACATTGATTCTGG ACTTGCTCAAATTGACAAGTACTTCCACAGCACTGATACACCTGTTAAATC AGGTGCATTGTTAGGAGTTGGCATCGTGAATGTGGGTCAAGAGTGATAG TGATCCTGCAATGCCCTCTAGCTGAATATGTTGATGGAGAGGATCCTTC TATTAGAATTGGTCAAAATGGCCTAGGACTTGCATATGCTGGTCTCA GAATGAGGAGATCCGGAGTAATTAATTCTATCTGGAGATGCAAAGGC ATCCCTTGATGTGATTGCATTACTGCTATCATTGGCTTGGTATATGT GGGTTCTGTAATGAAGATATTGCCAGACGATCATCCTGCTTGGTCA CCGGAGCGAGTCAGAACTAGGTGAACCCCTAGCACGCCCTTGCTTGG TCTGGTTTACTGTACCTTGGGAAGCAGGAAAGGGTGGAGGCTACAGCTGA GGTTTAAAGACTTTAATGAAAAAATCGGGAAAGCATTGTGACATGACTCT GCTTCTTGTGCTATGCTGGAAACGGGGATGTGCTTAAGGTCCAACACTT CCTGGTCACTGGCTAACATCTTGAGAAGGGTGGAGACACTTCCAGGGTCC AGCTGACTTGGCATAGCTATGGTAGCAATGGCTGAAGAGCTGGCCTTGA AATGGCTATCGCTCATTGGAGCATTTGCAGTATGGTAGCAGAAATAT TAGAAAGGCAGTCCCTAGCTTGGGTCTCTATGCATATCAAATCCAAA GGTGAATGTATGGACACTTAAAGCAGACTCAGTCATGATTCTGACACTGA AGTTGCAATGGCTCATCTTGGGATTGATAGGTGCTGGACCAA CAATGCTAGAATAGCTGGCATGCTTGGGAATTGTCAGTTACTACACAA AGAAGCCAGCCTCTCTCTGTGCGAATTGACAAGGTCTTGTCCATT AGGAAAGGGTTGTTGACACTCTCCCATATCATTCTGAACGGTTACTGTT GTCCCCGGTTGCACTGGCGGACTAGTGACTTGCACACATGCATGCTTGA TATGAAAGCTATCATCCTAGGAAATACCATACGTC	XM_00251 7812.1	Ricinus communis 26S proteasome regulatory subunit rpn1, putative, mRNA	835	0.99	0	0.8
comp921_c0_seq1	TAACTTGAAG AACATATCTC TCTCTCCCTA TGGTGATTAT TGGAAGCAAG TGAGAACAT GGCTGTGAAT CTGTTTCTAA ATCAGAACAG GGTTCAGTCG TTCCGAAGTG TAAGAGAAGA GGAAGTTCA TTACTGGTGG AGACAATCAA AGAACATTGT GCTCTTCCT CCGTAAATAAG CATGAATAAG TTGTTGACAA CGTTTGCCTA TGACACAGTG TCAAGGATAA CTGTTGGGAA GAGGTAATCA GGAGAACGGTG GAAACAAAGT GGCAGAGATA TTGGTTGCAG GCACCGAGTT ATTGGGTGCT TATATGGTAT GGGACTTCTT CCCACGGCTT GCATGGATCA CCTACATAAC TGGATTGCAA GCAAAGATCA AGAAAGTCGG AAAAGATTG GATCAAATTG TGGAGAATTG AGTTGAAGAA GAAATAAAGA GGAGCAAAAG AAGAGGCTCC GTCTCCGATG TCGGTGAAGG TGACCAAGGT AAAGACAATC AGAATTACT CCAGGATTG CTTGAACCTCC AGAGAACCAA CTCAACTGGA TATGCTTGG ATCGAGAACATC CATTAAGGCT ATCATAATGG ACATGATTG CGGAGGATTG GATACAGATT CATTGGTGG GTGGGCATTG GCATTGCTAG TAAAACATCC AGATGTCATG AAAAAATTGC	3.35E-10	AF255013	Citr us sine nsis cinn amate 4-hyd roxyl ase CYP7 3 (C4H 1) mRNA , comp	98	135	71.8 6

	AAGATGAGTT GAAAGAAGTT ACTGGATCCA AATCGTTCAT ATCGGAGGAT GATTAAAGTA ATTGCAATA CTTGAAAGCA ATAATAAAAG AAACATTCCG ATTCACTCCC CGTGCATTAA TCGTAAGGGC AGCAACCAAG GATGTCAAAG TAATGGGCTA TGATATTGCT GCAGGCACTC AAGCCATTGT CAATATATGG GCAGTTGGAA GGGATCCAAC GTTGTGGGAA AACCTGAGG AGTTTCGCC AGAGAGGTTC TTGAACAGTT CAATAGATT GAAAGGACAT CACTTGAAC TGCTTCCATT TGTTTCAGGA AGAAGGTCTT GCCCGGTTTACATTTGCC TTGGTCATAG CTGAGCTTGC ACTGGCAAAT TTGGTGCAGCA ACTTTAATT TGCAATTGCC GGTGGAGCAA GAGCCGAAGA CTTGGACATT GCTGAAGCTC CTAGTGTCA GGCTCCGTTG TTAACCTCTC TTCTACTTGT TCCATCTCTT TGTTAACCT GCAAGCTAGC GATTTTCCGA TTTCTAATAA CGTCATATGT CTGGATGGTG TCGATTTCCTT TTAATTAAAG TTGCTAAAAC CTAGTATATT TGCAATTITGA TTTGGTAGAG TTTTATGAAC GAAGCATTAT TGGCATATTG CATGATCAC TACGCTAGCT ACAGTTGTT ATCTTGGTA CTTCCCGTT GCTTGCTTA GTTCTCAAT TATTCCCCA			lete cds			
comp1571_c0 _seq1	GCCCGATATC AACGCCAGCC CACCCAACCA ATCCCAGACA ACCAAAATCT CCACTCTCAT TTGAGTCCAT CCCACACCAA CTGAGCACTA CCAGTTCCCG CCACCCATCA TGGATCTTCT CTTGCTTGAG AAGACCCCTT TGGGCGTCTT TGCAGCCATC GTAGTTGCA CCGTTGTTTC TAAATTACGC GGCAAGAAAT TCAAGCTTCC CCCAGGCCA ATCCCAGTTC CCATCTTCGG AAACCTGGTTG CAGGTGGTG ATGACTTGAAC CCACCGTAAC CTCACAGACT ACGCCAAAAA ATTCCGGAGAA ATTTTCTGC TCAGAAATGG CCAGCGCAAC CTCGTCGTGG TCTCATCCCC TGATCTTGT AAAGAAGGTCT TGCATACTCA GGGCGTGGAG TTTGGCTCCC GCACGAGAAA CGTGGTGTGTT GACATTTCA CCGGTAAGG CCAGGATATG GTCTTCACCG TCTACGGCGA GCATTGGAGG AAGATGAGGA GGATTATGAC TGTCCCCCTC TTTACCAACA AGGTTGTTCA GCAATATAGA CACGGTTGGG AGGAAGAGGT CGCCCGAGTT GTCGAAGATG TTAAGAAAAA TCCTGAATCC TCGACTAATG GGATTGTTT GAGGAGGAGG TTGCAACTGA TGATGTACAA TAATATGTAC AGAATTATGT TTGATTACAG GTTGAGAGT GAGGATGACCTTAA TAAGCTTAAAG GCTTGAATG GAGAGAGGAG TAGGCTGGCT CAGAGCTTG ACTATAATT TAAGGCTTT CTTGAGGGT TACCTGAAGA TCTGTAAGGA GGTTAAGGAG AGGAGACTGC AGCTGTTCAA GGATCATTG GTCGAGGAAA GAAAGAAGCT CTCGAGCACA AAAAGCATGG ATAGCAACAG CCTGAAATGT GCCATAGATC ATATTCTGA AGCACAGCAG AAGGGAGAGA TIAACGAGGA CAATGTCCTT TACATTGTT AAAACATCAA TGTTGCCGT ATTGAGACAA CATTGTGGTC GATTGAATGG GGCATTGCGG AATTGGTTAA TCACCCACAT GTTCAGAGGA AGCTACGTGA AGAGATTGAT ACTGTGCTTG GACCTCGAGT GCAAGTCACT GAACCTGACA CCCACAAATT GCCATACCTT CAGGCTGTGA TCAAGGGAGAC CCTCCGCCTT CGGATGGCAA TTCCCTTTCT GGTGCCTCAC ATGAACCTCA ACGATGCCAA GCTCGGTGGT CATGATATT	0	Z32563	C.ro seus mRNA for cinn amat e 4- hydr oxyl ase (CYP 73)	90	AM11 7805	Coff ea arab ica part ial mRNA for tran s- cinn amat e 4- mono oxyg enase (cyp 73a4 gene)

	CTGCTGAGAG CAAGATTCTG GTCAATGCCT GGTGGCTAGC AAACAACCCA GAAAACCTGGA AGAAACCAGA GGAGTTCTAGA CCCGAGAGGT TTTTGGAAAGA GGAGTCTAAG GTTGAGGCCA ATGGCAATGA CTTCCGATAT CTTCCATTTC GTGTTGGCCG GAGAAGCTGC CCCGGAATTAA TCCTTGCATT GCCAATTCTT GGTATTACTT TGGGACGCTT GGTGAGAAT TTTGAGCTGC TGCCTCCTCC AGGGCAATCC AAGATTGATA CGCGGAAAAA AGGTGGACAA TTCAGTTGC ACATTTGAA GCATTCCACC ATTGCTCTGA AGCCAAGGTG CTTCTAGATG TGATCTTAAT TATGTGATAA AATTGGCTT ATTACAAAT TACTTTTAG AGTGTGATTG TGGATCTTT GATCTGTAGA CATTTATTCA TAATCTTGT ATTGCAAAG AAGATTTA CCAATATTTC TCACCTTCTC						
comp2839_c0_seq5	ATTCCAGGAG CTGGAAAATG AAGTTATCAA CTACATGGCA AAGCTTGCC CCGTCAGGCC TTGAGGACCA TTATTCTAGAT ATCCTAAAGA TCCCACCTCA ATGTAAGTG TTGATATTTT GAAAGCCGATGATTGCATAG GGTGGCTTGA CTCGAAGCCA CCGTCTCGG TCGTGTACAT CTCCTTGGA AGCGTTGTGT CCTTGAAGCA AGAACAAAGCG ACTGAGCTCG CACATGGCT ATTGAACG	6.11E-07	XM_003631634	PREDICTED: Vitis vinifera cinnamate beta-D-glucosyltransferase-like, 'transcript variant 2 (LOC100245274), mRNA	83	XM_003631634	PREDICTED: Vitis vinifera cinnamate beta-D-glucosyltransferase-like, 'transcript variant 2 (LOC100245274), mRNA
comp3546_c0_seq1	CTTCTTTCGA AACATCATCG ATTTAGATAA AGTTCTCAAT TTTACATGAA ATGAAGGGGGCATTGTCAT ATCCTCGTAA ATTAACATGA GCTGCACACC AGAACATAAC AGATAAAAATGTTGCCCG AGTCTAGTTT TACAAATATA GTAAATATCA TCCAAGACCA ACAACAACACAGACTTC TCTACATCCC AGAGCTTCCG ATACAGTTAA AAGATACAAT ATAATAGTACTAATAATCG TGCAATAATAT ATTTATGACA TCATATCACA CTCTAATCCA TGTTCCGAGCATCCATCGT	0.019564	XM_002447027	Sorghum bicolor hypothetical protein	100	XM_003531907	PREDICTED: Glycine max strictos

	GGTCATTCT CTGACCATAA TAACATTAAA ACCATAATCT TAAAAATTTTAAGAAAA AAAGGGTAA TTTCTCTTCA GAAAACAGAC TCATAGCAGA CAAACCAACAATTGACCCCA CCAATCTCAT CTCTCTCATA GCATCACCTC AGACTTCCC TGCCTATGATCTTCTTTT TTTCATTTTT TTGCAAATT TCCGGCATAC CCAAAAAAAA AAAAAGAAATCTGAGCAATT TTATCCGAAT TGTCGGAAA TGATACTATC ATCAGACAGA TCAGAACACC CATTAGAGGC AAAGAGCTGT GCAGTGAAGA TCCTCATCGG CATAACATC CGCCGGCGGT GGCAAGTTGA GGTCAAACGA AAAC			ein, mRNA			idin e synt hase - like (LOC 1007 8197 1), mRNA
comp8039_c0_seq2	TATCCAATTC TCCACGACCG AGTCAGCGGC TGACTCGTTC ACCGTGACTC GTTGATCCA TCCGTCAACA CAACCTGTGT ATATAACTCC AGACTTGGGG TCGTAAGCTA TGCCCTCAGG AGCCAACAAT TCTCCAACCC CAATATTCTC CGCCCCTTA AGCAAGTGAG AGTTGCGTTT CGGCCACTACC ATCGGTTCTT TCCGAGTCAA CACGTGAACA GGGTAAGGAG CAGGGTCGAA GGAGTCGAGT TGGTAGACCA CAACTGCTAG AA	0.014511	XM_002876039	Arab idop sis lyra ta subs p. lyra ta stri ctos idin e synt hase fami ly prot ein, mRNA	100	CP00 2686	Arab idop sis thal iana chro moso me 3, com plete sequ ence
comp14822_c0_seq1	GTATTCCTTC CGTTGATCAA GCGAAGCCCT CTCCAGAACCA CCGATGAAGT TGTGGAATAA TGATCCAACA TAAAGTGCAT GATTATGCTC GTGAATTTC TCAAGATGTT CGTTTTATA TGGCTGTGGA AGATCCACAG TTTCCAATAT TCTGCCAAAT TCGTTGAACC TTACTCCTAT GGATGTAAGT ATTGGTGCA TTTCATCAGT GGATGGAACC CAAAATCTC CAGCTGGTGT CCTCTTTATG TTCCCCGGAC CTGGAATTTC CAACAAAATT TCTGAAGAAT TTGCTTTAGG ACCCTCTAGC CAATACTTGA GAATTTGTT GCCCAAATAT TCAGCAACAA GAACAAAGGT GCTGTCTTG CTGCCTCTG TACCCACCTGG TACATTAGT CCTTTCATCA AAACCGTCAC TTTCTTAGTT AAGGGATCAT ACTTCAGTAA TCTTCCAGTT GTGTCGTTTG TATCCATTAT ATCCCTGCACA CCTCTGTCA CCGTAGACCGCT GCTAACCTCC GTGAAATAAA CAATCCCAGT TCGCTGATCC ACAGTTAAGG CATAAAGCCA CTTGAAATCA GCTCCGTCTG CACCATGGC AACTTGATT GCAAGCCCTC CATCCGGTCC AACCATGCCA AGACCATAAT AGCCATCAAC TATATAAAGC TTCTTGTAG CATAGTTGAA TCCTAAGTCG TATACCCCTCC CACAAATGGG CTTTAGGTGC GGTCAATCG TGGCATTCTT GCTCTTGCAA AGTGTCTCAT TCCAGAAAGG AGAGGCATAA GCGTGGTTCA	2.85E-31	EU670747	Ophi orrh iza japo nica stri ctos idin e synt hase mRNA , com plete cds	84	HM54 3187	Mitr agyn a spec iosa stri ctos idin e synt hase (Str) mRNA , com plete cds

	AAAAAAACAAT GCCTGATCCT CCATA						
comp16519_c 0_seq1	TGAGAGGGTA CGTGAGGGCG GAGGAAGACA ACAGAACAGA ACAGAGAGAA AGCAGAGTAA CTATGAAGGC AATATATAAC TGGTTCTTA GTTCATTTG TAAATTCCA CAAAAGGCAT CAAAACAGAT CCAATCCATA ACTTCCCATIC TTTCTCCCA ACTTCACTTA TAAACCTCAA GGTCTTCCCA TCAATATCTT CCAAGACCTC CAAAACCTTC CCCTCATCGC TCAGCTTTAT TGC GGTTGCA TGAGCCTGCC CTCCGACTAA AAAATGGTGC AGTTGCTTGA AGCTTAGTGG AAGCTT TAGC AAAAGTCTTC CAAACCAACA ATTAGAAATT ACCCACTTTA AAAGAACGTC AGTCTTCGCA TGCAAGCCA CCCAAACTC CCCTTTGAA TTCCTTCTAA TGTTGTCAGG AAATCTGGC AGCTCAGCAA AGATATCATG TTTTCCGGCG TTAGGGCCTC GAAGGCCAGAA TCTCACTATT CTACAAGCAG TGGTTTCAGC CACAAGCACA AAAGAGCGGT CTTTACTCAA AGCCACACCA TTAGCAAAAG CAAGTCCCCG AAGTAGAACT GTTACTTCTT TGCTGGATT ATCATATTTC ATCAGTCTGC CTGTCTTGTC TTCACCTAAG ACCGCTGATA TAAATTGCCT TCCTTGGAAAT ATCGTGCTT TATCTGAGAA GTAATCACA TCTTCATGCT CATCAATGTC CATGTCATT GTAAAGCGCA AAATAGCACC TTGACCTCT GTCACTAGTG GAGTTGCTAA ACCTCCCGTT TGCCCTACCA CTTGGAGGCC CAAATAGGCA TCAGCAATAT AGAGATCTCC ATTCTTCTGA TCAAATCGAA GTCCCAATGG TCTTCCGCAT ATATGCTCCA TATGTGGTGC AAATGGATGA ACACATTCC TCCTTGTAGT AGAGGTGAAT GCAAAATCAA CCCAACATG TTGATGTCTC TGCCACTTGA TAATCCGACC ATCGGCAACT CCAGTATAGG GACCTTTCC ACTGGGGTCA AAGGCAAGAC TTTCTGGCCC AACTGCACCT GGTAGATTAA TTGTTTCAGC TGTGTGCAGC AAATCTTGGG AGCCTTAT TGGAGGCGGT CTTAGTATAT TGGTTGTGCT GAAAGCCCAG	4.55E-35	AM851014	Nicotiana tabacum mRNA for strictosidinase-synthase-like protein (T221 gene)	86	FQ383133	Vitis viniifera clone SS0A BG30 YJ01
comp34457_c 0_seq1	TAGGGCTTGA CACTTCAGA TTCTCCCTCT CATGGCCAAG AATTTTGGCC AATGGAAGAA GAACTAGGGG GCCAAACAAAT GAAGAGCAAG GAGTCATAA GTTGGCCATA GATTTCTATA ATAACGTICAT TAACTTGCTC CTGGAGAATG GTATAGAGCC TAGTGTGACT CTCTTCCACT GGGATCTTCC TCAAGCCTTG GAAACTGAAT ACATGGGATT CTTAAGCGAT AAATCTGTGG CGGATTTGT GGACTA	1.33E-11	AY059473	Davidiadivinolucrata raucaffricine-O-beta-D-glucosidase-like protein	100	AJ302044	Rauvolfia serpentina mRNA for strictosidinase-O-beta-D-glucosidase

				ein mRNA , part ial cds			ase (sgr 1 gene)
--	--	--	--	--	--	--	-------------------------------

ANEXO 6

Otros genes y secuencias genómicas.

>17082 [organism=Uncaria tomentosa] putative caffeoyl-CoA O-methyltransferase EC:1.14.13.11, mRNA, partial cds (Desde 82-545 (465aa)

```
ACTACTTCTGTCCAAAGCTCCCTCCCTCAAAAATAAAAAAAAAGCAACAAATACATAATTCTTAATCACCAAAAATCATGGCTCAGAATGGAGAAGGAAAGAATGGCCAAGACCTCAGGCACCAAGAAGTTGGC  
CATAAAAAGCCTTTGCAAAGTGTGCTCTACCAAGTATCTGGAAACCAGCGTATCCAAGAGAGCCAGAATGCAAGAGAGCTCAGAGAATTGACAGCCAAGCATCCATGGAATATTATGACCAACCTCTGCT  
GATGAAGGGCAGTTCTGAACATGATCATCAAATTAAATCAATGCCAAAACACCATGGAGATTGGCGTTACACTGGTTACTCACTCCGGCTACCGCTCTGCCCTCCAGAAGATGGAAAGATATTGCCATGGAT  
ATTAATAGAGAAAATTACGAATTGGGCTGCCGTAATCGAAAAGGCTGGTGTGCCATAAAATTGACTTCAGAGAAGGCCCTGCTTGCCGGTGTGATCAGTTGATTGAAGATGGCAAGAACATGGGA
```

>PREDICTED: 2839 [organism=Uncaria tomentosa] putative trans-cinnamate 4-monooxygenase EC:1.14.13.11 mRNA, partial cds

```
ATTC CAGGAGCTGAAAATGAAGTTATCAACTACATGGCAAAGCTTGCCTCAGGCCTGTAGGACCATATTCAAGATATCCTAAAGATCCCACCTCAAATGTAAGTGTGATATTGAAAGCCGATGATTGCAT  
AGGTGGCTTGACTCGAACGCCACCGTCTCGGTGTACATCTCCTTGGAAAGCGTTGTCCTGAAGCAAGAACAGCAGTGGCTCGCACATGGGCTATTGAACG
```

>PREDICTED: 2217 [organism=Uncaria tomentosa] putative shikimate O-hydroxycinnamoyltransferase EC:2.3.1.133 mRNA, partial cds

```
GGGGATAAACATGGGAACTACGGGTGGAGCGCGGGAAAGCTGCACGGCCGGATTGGAGCGCGACGAAGGGCTGCGTCTGGAGGGAAACGGAGTGGAAAGTAGGTACCGGTGGAGTATGTGAATTGA  
GACGACGCCGTGAGGACGAAGCAGCAGCGATGTAGATGACATTAGGGCAAATCGGAAGTTCTACGACGACGTTGACGCAGCAAGAGAACACAAAATTAGGGCTGCTCAAACCCCTCTCAAGTTCTAGGAA  
AGATCGATTAAGCGTGGAGAACTTGCTTACCTTAAAGTAAGGCTCCAAAACCAATTACAGAGGAGAATTGAACATTCAAGAACTCAATTGGTCTGAAATTCTCGATGTTCACATTAGGCCGATT  
CATGCCACGTGGGCCACAGAACAGAACAGAACAGGAGATTCCAG
```

>PREDICTED: 18552 [organism=Uncaria tomentosa] putative stilbene synthase [EC:2.3.1.95] mRNA, partial cds

```
ATTGTAGCGAAAGCATATTGTCATTCCATTAAATGCCAAGAATGGAGGGCAAAGGTAGTCATATTCTAAGTAAATCATCACATGCTGAAGTTAACAAATTATTACTAAGCTAACCTAAAGACATTAA  
TAGCAGGAACATGTGAAATGGACAAAACAAGAAAAGGAGTTGGTATGCTCTTGCAGACAAGAACAAATTCACTCAGAAATAATGAAGCAAGAACAGAGAGAGAGAGAGCAGAACACACAAGAG  
TTGCAGGGCCACCTGGACATACACTGAATAGAAAAAGTTGGTATGGTCATTGACAGAACAGAACAGAACATATCTACACCAA
```

>PREDICTED: 35791 [organism=Uncaria tomentosa] putative p-coumaroyl 3'-hydroxylase CYP98A-C2 [EC:1.14.13.36] mRNA, partial cds

```
GCATTTGACAACATTACGAGACTTGCATTGGTAAAGGTTGAAAGGAGATAAGGATGAGCAAGGTAAAGAGTTCAAGGAAATAGTTGCAAACGGCTTAAAGCTGGTGGATCTCGCTATGGCTGAG  
CATGTCCCCTGGCTAACGGTGGTTATTCCACTGGATGAAGCTCGTTGCTA AGCATGGCGC TCGCGTACTGTCTCAC
```

>PREDICTED: 3566 [organism=Uncaria tomentosa] putative quinate O-hydroxycinnamoyltransferase [EC 2.3.1.99] mRNA, partial cds

```
TAAATGGAAAGAACATGGTATTGCATTGGCACTGATTGTTGATTAGCCATTGGTCTCCAAACGGGGTCCAGTAGTACCTTTGTATAGAAAATGGTACCTTGGCAACTTGAGGGAGGGGATTTCATTGAGGAGTG  
CTTCTGATGCTGGCATGTCAAGTTGCTGAATTGGCACTTGACCCCTCAAGGACTTGGCCCCACAAGTTGATGAATTGTGAGGCTGAAAATGCATCTCCAAGAACATGAGCCAGCTAACCCATTGATATTCTCC  
ACATTGAACCAGGTGAACAGAACAGCACACATCGAAATCACATCTCATCAGTTACTAATTGACAAAATAGGATTACCGGGAGATCCAAACAATTCTAAAATGAAATGAGAGATCTCAAATAATGACAAA  
GTTTAGGGGCCAG
```

>7 [organism=Uncaria tomentosa] putative chloroplast sequence

GGGAGGGCAGAGCTTTGGTTTTCATGTTCAAAGAGTGAACAATGAAAATAGATGGCAGTGCTGATGAAATTGATCAGGTATGTTAGGAACAAGGTTAAGTCTACCGGCTGTTAGGATGCCAGCTGC
 ATACATCACTGCACTTCCACTTGACACCTATCGTAATGATAAACAGGCTCGTCTGCCGTGACCTTCTCTGAATTCTCAAACCTCTGTCGCTCCATCCCCGAGGGGAGAGAACCCGTCGCTCGGCTGTGCT
 ACCGGAGGCTCTGGGAAGTCGAATAGGAGAGCACTCATCTGGGTGGGTTACTACTAGATGTTCAGCAGTTATCGCTCCGACTTGGCTACCCAGGTTACCGTGGCACGATAACTGGTACACCAGAG
 GTGCGTCTTCCCCTCGTACTAGGGAAAGGTCTCTCAATGCTAAACGCCCACACCGGATATGGACCGAACTGTCACGACGTTCTGAACCCAGCTACGTACCGTTAATGGCGAACAGCCCAACCC
 TTGGAACATACACTACAGCCCCAGGTGGCAGAGGCCACATGAGGTGCCAACCTTCCGTCATGAGCTCTTGGGAAGATCAGCCTGTTATCCCTAGAGTAACCTTATCCGTTGAGCGACGCCCTTCACTC
 GGCACCGTGGATCACTAAGGCCACTTCTGCTCGACGGGTGGGTTGAGCTCAAGCTCCCTCTGCCTTGCACTCGAGGGCAATCTCGTCCGGCCGAGGAAACCTTGCACGCCCTCGTACCTT
 TGGGAGGCTACGCCCATAGAAACTGTCTACCTGAGACTGTCCTGGCCGTAGGCTGACACAAGGTTAGAATTCTAGCTTCCAGAGTGGTATCTACTGATGGCTGGGCCCCCGGAAGGAGGCTCT
 TCGCCTTCCACCTAAGTGCAGGAAAGGCCAAGGCAATCCAGGGACAGTGAAGCTCATAGGTCTTCTGTCAGGTGCAGGTAGTCCGATCTCACAGACATGCTATTCACCGAGCCTCTCCGAG
 ACAGTGCCAGATCGTTACGCCCTTCTGCGGGTGGAACTTACCCGACAAGGAATTTCGCTACCTAGGACGTTATGTTACGCCGCGTTACCGGGGCTCGGTGCGGGCTCCCTGTCAGGTCACCAA
 CTTCCCTGACCTTCCGCACTGGCAGGCGTACGGCCACATGGTCTTACGACTTGGGAGACCTGTTTGGTAAACAGTCGCCCCGGCTGGTACTCGCACCCCTTGTGAGGAGGACCCCTTCTCC
 CGAAGTTACGGGCTATTTGCCAGTTCTTAGAGAGAGTTGTCGCGCCCTAGGTATTCTACCTACCCACCTGTCGGTTTCCGGTACAGGTAACGTTACAGTCCGAGCTTCTGGGAGT
 ATGGCATGGGTTACTTCAGCGCGTAGCGCTGGTACTCGAACATTGGCTCGAGGATTCTCACCCCTTACCCCTGAAAAAACAGGGACCTTACGTTCTGAACCGATAACCATTTCCGTAACCTAGC
 CTCCCTCGCCCTCGGACCGACAAAGGTTAGTACAGGAATTACCTGTCATCGACTACGCCCTCGGCTGATCTAGGCCGACTCACCCCTCGGAGAACCTTGGGAGAACCTTGGTTTTCG
 GGGCATTGGATTCTCACCAATGTTGCTTACTCAAGCCGACATTCTGCTCCGCTCGACCCTGCTCGCGGGAGGCTCTCTCTAAGGGGAACGCTCCCTACCGATGTTACCCACAGCTTC
 GGCAGATCGCTAGCCCCGTCATCTCGCGCAAGAGCGCTGATCAGTGAAGTATTACGACTTCAAGGGTGGCTGTTCTAGGCAACCCCTCTGGTCTCTGACCCCTACCTCTTACGAGCGG
 TCATTAGGGGCTTAGCTGGTGTACCCGGCTGTTCCCTCTGACGATGAAGCTTACCCCGATCGTCACTGGCACCTGACCCCTGTTAGGTCATATCTAGTATTCAAGGTTGCTCGATTGGT
 ACCGCTCTCGGGCCCGACCGAACAGTCTTACCCCGAGATGTCAGTCACTGCTGCCCTCAACGCAATTGCGGAGAACAGTAGCTCTGGGTCAGTGGCATTCACCCCTAACACACATCCGCT
 GATTCTCAACATCAGTCGTTCGGACCTCACTAGTTCACCAAGGTTACCTGGTATGGATAGATCACCCAGGTTGGGCTCATAGGAGCTAACATTGCCCCATGTTACCCACAGCTTC
 TGGGTTCCCTAACCAAGCCACTGCTTACAGTGCCTGGCTCATCTCAACAGGACCGGGTCAAGGCGCTTCCACTGCTTGGGAGGTTACGGTTATGTTCTATTCACCCGATGGGTTCTT
 TTCACCCCTCCCTCACCGTACTACTCGCTATCGTCACCCAGGAGTATTAGCCTGCAAGGTGGTCTTGTGATTACACGGGATTCCACGTCGCCCCATGCTACTGGGTAGCGTAAGCTAGTGCTTCT
 GGCTACTGGACTTCCGACATAGGGTGCAGCATCGGCTGCTCGCCTAGCAGCACGCGTGTATTGCTCTCCACACCCCTTTCACGGTTAGGCTGCCATTGCTCGCCGACTACGGGAATCG
 CTTTGCTTCTTCCCTGGCTACTAAGATGTTAGCTCGCCAGGTTGCTCTGCTCGCCATGGATTCAAGCAGCTGCAAGGGTGGCCATTGGGAATCTCCGGATCTATGCTTATTTCAACTCCCC
 AACGATTTCGCGATTACTACGCCCTCCTCGTCTGGGTGCTAGGTATTACCGTAAGCCTTCCCTGTTGAACCTGCCCTACCTTATTTAAGGCTATGCCATCTAACGGTGTCAAATGGATGGAT
 CTTATCAACGTCATGAATGATAATCATAGATCGAACCGCCAATCGGAAAAATTGGGTGCTATCATATAGCTTGTATCGCTAACATTACGAGTTGGAGATAAGCGGACTCGAACCGCTGACATCCGCCGAGGG
 TAAACCACGCCCTCTCAGGCCCCGACTGATTACCATAGGGCAACGATAGACAATAACTCCCCCGAACACAGCTAACACTGCTGCTCCAAAGGACAACCTCTCAAAACTCTCATGCT
 GAGTTGGAATCCCAGTCAACTAAGGATTCTGTTGGTCCGGAGGATCCAGCTACAGGAGAACCGAGAACGGAGAGCTTCCCCCTTCCGCCACTCTTGGTGGTCTTAAGAACGCTGGTTAAGAATGAG
 TGATTGCCCTCTCCGACCCCTACTGCCAACCTGAGAGCGGACAGCTAATGCTTCACTTGAACAGGGTCTATGGTGGTCCATGACCCCTGGATGCCGAAGGCGTCTGGGAGATCTGTTAC
 GGGGTGGAGATGATGGGTGGTCCATGGATTCTCCCTTCTTGCCTGCAAGGGTTGAAGGGAGATAGTGCATCAAGCTGGTCAAGGGCAACTTGTATCTTCTCCAGGGATCTCAGA
 TGAGGGAACCTGGGAGAGCCGCCACTCCACCATGACGATCCACTAGATCTGACCAACTGCCCATCTACCTCTGACGCCATTCTTGTCTAGTGGCTTCAAGTCTTCAAGTCTTCAAGTGGCATG
 TTGCTCTCTCCCTACTTAGAAAAAGTGAAGCCACCGGTTAGGTACAAGGATACTATCATTACCGCTGGACAATTAGACATCCAACCCGTAATGCAAGAGCGGCCCTACCAACTG
 AGCTATATCCCCGAGCGAGTGGAGCATGATGAAGTAGTCACTGCTTCTATTCTTCCCTGGCGCAGCTGGGACTCTGGACTGAAACCAGAGCTGCCGTGAAGTAATCATGCACTACGGTCC
 AACCAATTGGGAGAGAATCAATAGATTCCCTTCCGGAGCGATTACCTCCCGAACGCAACGACATACAACCTCCGTTGACTGCCCTCTTACCTGGCAAGTCTTGTGAAG
 AAATAACTCGATGAGAAAAAGAAGGGCTTAAGAGACCCCTGGCCAACCCCTAGACACTCTAACGACTCTTCAAGACATCTTCAACACCTGCTCCATTGAGCTAACAGACATCCCATTGCACTGAT
 CGGGGGCGTCTGAGTCACTGAGGGGCTGAAGACCAAGAAGTGGATTATTTACCAAGCATTCTTACGGCTAGATCCAATCTCGTCCCTGCCGAAAGGAAAAGAATTTCACGCTTCTCGGGAAAG
 GGAGGATTAGGGAAATCTATTGATTGCACTGGGAGGCTCCAGGCTGGGAAAGCATGAAAAAACGGCTGAATGATCACGATCCCTGGTACCCAGGAAATGAAAGGGTGTCTGAGTCTGGTGTGAAG
 ATGCGTTAGGTGCTCATTTCCCATTGAGGCCAACCTAAACCTGTCGAGAGATAGTGTCCATACACTGATAAGGGATGTTAGGATCTGAGAAGAGGAGGCCGGTGGCCCCCGGACCGCC
 GGATCCCAAGAGTGAATGAAAGTGGATCTACATTGGATCTACCCGAATGCCCATCTATCTCTGAGGAGAACCTGGTTCAACACCCGGTCAAGCAGGAGGAGTACGCCATGCTAATGCTTGGATGA
 TCCACATCTCAGGGTCAGGCCGATGAGCACATTGAACTATCATTGTCGAGAGGCCCTCACGCCAGGACAACGACGCAATTATCAGGGGCCGCTTACCAACTGAGCTAATGCCGCTTCTCGGGAAAG
 ACTGGGGCCGCTATGCCAAAAGCGAGAGAACCCATCCCTCTTCCCTTCTGGGCCCCATGTCGCCACACGGGGGGACACGGGAGCTAAAGGGGATCTATCAACTGTTCCGACCTAGGATAATA
 AGCTATGGGCTGGTCTACTTCACCGTCAAGGAAAGAGACTTCCATCTCAAGGTTAATCAGACGTTAGCTCCCTTCTGGGTTGAAGCGGTGTCAGGAAACCCAAACAGCATTAGCTCTC
 CTGAAAAGGAGGTGATCCAGGCCACCTCCAGTACGGCTACCTGTCAGTCACTGCCGACTGCCCTGCCATCCCCCTCTTGGGTTAAGGTAACGACTCGGGCATGGCAGCTCCCATAGTG
 TGACGGGGTGTGATCAAGGCCCCGGAACGGATTACCGCCGATGGCTGACGGCGATTACTAGCAGTCCGGCTCATGCAAGCGAGTGGCAGGCTAACATCGAAGCTGAGGAGGGTTTGGGTTAGCTCAC
 CCTCGGGGATCGCAGCCCTTGTCCGGCATGGTAGCAGTGTGCTGCCAGGGCATAGGGGAGCTGACTGAGCTACCTCACCTCCGGCTTACCCGGCATGTTCAAGGGTCCAAACTCAAC
 GATGGCAACTAACACGGAGGGTGCCTGCTGGGACTTAACCCAACCTTACGGCACGAGCTGACGACAGCCATGCAACGCCACCTGTCGCCGTTCCGAAGGGCACCCCTCTTCAAGGGTCCGGCATG
 TCAAGCCCTGGTAAGGTTCTGCTTGCATGAAATTAAACCATGCTCCACGCCGTTGCGGGCCCCGTAATTCTTGAAGGTTACTTACCGTACGACTCCCCAGGCGGGATACTTAAACGCTTAGCTAC

GCACACTGACGGGTGCGATACGCACAGGCCCTAGTATCCATCGTTACGGCTAGGACTACTGGGTTAATCCCATTGCTCCCTAGTGTAGTGTGGGCCAGCAGAGTGTTCGCCGTTG
GTGTTCTTCCGATCTCACGCATTCAACCGCTCACCGGAAATTCCCTGCCCCAACCGTACTCCAGCTGGTAGTTCCACCGCCTGTCGGGTTGAGCCCTGGGATTGACGGCGACTAAAAAGCCACCTA
CAGACGCTTACGCCAATCATCCGGATAACGCTTGCATCCTGTCTTACCGGGCTGTCGGACAGAGTTAGCCGATGCTTATCCCCAGATACCCTGATTGCTTCTCCGGAAAAGAAGTTCACGACCCGTT
GGGCCTTACCTCCACGGGATTGCTCCGTAGGCTTCCGCAATTGCGAAAATTCCCCACTGCTGCCCTGGCTAGGAGTCTGGGCGTGTCTAGTCCCAGTGTGGCTGATCATCCTCTCGGACCAGCTACTGA
TCATGCCCTGGTAAGCTATTGCTCACCAACTAGCTAATCAGACGCGAGCCCCCTCTGGCGGATTCTCTTCTCAGGCTACGGGTTAGCAGCCGTTCCAGCTGTTGTCCTCCAAAGGGCAG
GTTCTTACCGCTTACTCACCGTCCGCCACTGGAAACACCAACTCCCGTCCGACTTGCATGTGTTAAGCATGCCGCCAGCGTTCATCCTGAGCCAGGATCGAACTCTCCATGAGATTGATAGTGCATTACTATAGC
TTCCCTGTCGTAGACAAAGCGGATCGGAATTTCATCCAAGGCATAACTTGATCCATGCCGTTCATATTGCCCG

>2779 [organism=*Uncaria tomentosa*] putative chloroplast sequence

GAGGCCCTATGGCTATGTCATAATAGATCGAACACTGCCCCGATCAGTCCAGATCATATTGCTCTAGTGAATAACTAGATAGATGAAAGAGAAAATAACTAATTAGTGAATATTGTTCACTAATTATTGACTGTTGGCGGGTTCTTGTATGTTGTCGGAAAGAGGAGGACTCAATGATTTCGTTCCCGGAACCAGAAGTAAAATTTGGTAGATAGGGATCCCCTAACTCTTCGAGGAA
TGGCTAAACCAAGGTCAATTCTCAAGAACATACTAAAGGACCTGATACCTACCGACTTGGATCTGAATCTCATGCTGTCAGATTGCTAGCCATACTAGTGAATTGGAGGAGATTCCGAAAAGTGT
ATGCCATTTCGGCAACTCTCCATCATTTCTTGGCTGAGCGGCATGTATTCCACCGTGCTGTTTCAATTATGAAGCGTGGCTAAGTGAATCCAACATCACATTGGCTCTAGTGCAGGGCAGGTGGTGGCCA
ATAGTGGCCAAGAAATATTGAATGGTATGTTGGCGAGGTTCCGAGGAATACAATAACCTCTGGTTTTCACTGGAGAGCATCTGAATAACTAGTGAATTACAACCTCTATTGTAACCGCAATTGGTGCA
TTGATCTCGCAGCGTAAATGCTTTGCTGGTTTCATTATCATAAAGCAGCTCAAATGGCTGGTTCAAGATGTTAGAATCTATGTTGAATCACCATTAGCGGGCTACTAGGACTTGGGCTCTCT
TGGCGGGACATCAAGTACATGATCTTACCGATTAACCAATTCTAAACCGTGGAGTAGATCTAAAGAGATACCACTTCCATGAAATTATCTGAATCGGGATCTTGGCTCAACTTATCCCAGTTG
GAGGAGCAACCCCATTTCACCTGAATTGGTAAAGATCGGAATTCTTACTTTCTGGAGGATTAGATCCAGTAACGGGCTGTGGCTGACCGATATTGACACCATCATTAGTATTGCAATTCT
TCCCTGATAGCAGGTCACTGATAGGACCAACTGGGATTTGGCATAGCCTGAAAGATATTAGGCTACAAAGGCTCATTACAGGCCAGGGCCATAAAGGACTATAGAGATCTAACACGTATGGCAT
GCTCAATTATCTTAAACCTAGCTATGTTAGGATCTTAAACATTGTTAGCTCACCATACTGATTCCATGCCCTTATCCATACTGACTATGGTACACAACGTGTTGACACATCACATGTGG
ATTGGTGGATTCTCATAGCGGTGCTGCGCATGCAGCCATTATGGTAAGAGACTATGATCCAACACTCGATACAATGATCTATTAGATCGTGTCTTAGACATCGTATGCAATCATCACATCTAAC
TGGGATGTTATTCTAGGCTTCATAGTTGGTTGATATTACAACCGATACCATGAGCGCTTAGGGGCCCTAAGATATTGAGCTACCGCTATCCAATTACAACCGTTTGGCTAATGGATA
AACACCCACGCTTAGCACCTGGCAACGGCTCTGGCAACAGCACAGTTAACCTGGGAGGTGGTATTAGTAGCGGTGGGCAAAGTGGCTTACCTATTCCATTAGGAACCGCAGATT
TTGGTCCATCACATTCTAGCATTACGATTGACGGTATTGATACTCTGAAAGGTTCTATTGCTGAGCTCCCTGATACCGATAAAAGCAAATTGGTTTCTGTTGATGGACCTGG
AGAGGAGGTACATGTCAAGTATCGGTTGGGATCATGTTCTTAGGACTATTGGATGTAATGCAATTCCGTTAGAATTTCAGTTGGAAAATGCACTGAGTGGGGCAGTATAAGTGT
GGGTAGTAACTCATACCGGAGGAAACTTGGCAGAGTTCTATTACTATTAGGATGGCTACGGATTCTTATGGGCGCAGGCTACCGTAATTGAGTCTACGGGCTGTCATTCTGCATATGGCCTT
TTTTCTTAGGTGCTATTGTTAGGGCTTATTGTTAATGTTCTATTGAGCTGGTTATTGGCAAGAACTATTGAAATCCATGTTGGCTCATATAAAATTAAAGTGTCTGCTACTCAGCCGAGA
GCCTTGAGCATTGTAACAGGACGTGCTGAGGATAACCCATTACCTCTGGTGAATTGCCACACATGGGATTCTTAGCAAGAATTGCACTGAGGATAATGGCTAGGAGATTGAAAGGATT
ATTAAGATTCCAAGGTTAGCAAGGCTTAGCTCAGGACCCACTACTCGTGTATTGGTTGGTATTGCTACCGACATGACTCGAGAGTCATGATGATATTACTGAGGAACGTCTTATCAGAATT
TTCTCACTCGGTCAATTAGCAATAATTCTGGAATTCTGGACTTCCGAAACTCTGTTCTAGTGAATTGGCAAGGAATTGAGTCACTGGGATCAGGACCCATTACCGTAAGACCTATTGCT
TCATTGGTCAACCGGCTGTGGAAAGCTTTACTCGAGGGGCTCTGGCCAGTGAATATGCCATTCTGGTGTATTGAGCTGGGATACAACTGGTTACGCACTGGGTTACGCA
TTTCTATTATTCTCTGCCATTCTTAATAGCAGGTTGGTACACCTACACCGAAATGGAAACCGAGCTTGTGGTCAAAATGCCGAACTCGTGTGAAATTGCACTGGGCT
TTCTGGCTGGACAGGGATTAGTCCATGCGTATTCTGGATCCAGGGGAATACGTTGAGGATAATTCTTAGATGTTACCGCATTCCCAAGGGTTAGGTCACCTTACAGGTGAGT
TTATGCTAAACCCGATTCAAGGAGCTATTGGAAACCTCCAAGGAGCAGGAACCTGCAATTCTACTCTGGGGGATTTCATCCACAAACGCAAAGTTATGGTCACTGATATTGCC
AGCTATTGCAATTATTCTCGTGTGGTATGTAAGAACTAATTGGGAGTGGCAGTATGAAAGATCTTAGATGCACTATTCTCCGGGGGAGCGTTGGGACGTGGCATAAGGGCTT
TACAATTAAATTGCGCTCATTTCAATTAGGCTTGCTAGCTTCTTAGGGTTATTACTCTGGTAGCTCAACACATGTAATTGCTTACCTGCAATTGCAACAGACTTACTCAAGCT
ATTATATACTCATCACCATAATTGCGGGATTCACTCATGACAGGAGCTTGTGATGGAGCTATTCTTAGAGATTACAACCTAGAGAAAATGAAGATAATTGTTAGGCAAGA
AGCTATTATATCTCATTAAGTGGGCCAGCCTTCTGGGATTCCATATTGGGACTTATGTTCAATTGATGTCATGCTGGCTTGGCAGTCCGGAGAACCAAATTGATGCA
GATACATCGGCTCATGGTAAACTCATGGGTCATATTGTCACAGAGCGGACGGCATTCAATTGCGGTGCAAGCATCTGGTGGGGGAGCGTTGGGACGTGGCATAAGGGCTT
ATTCTTAAACATAGGCTCTGGAGACTTTGGTCATCATGCTATTGCTCTAGGTTACACACTACATTGATTCTAGTAAAGGTGCTTAGATGCACTGGGCTCAAGTAA
TTAGTGGCTGGACGGCCGGACGAGGGTGGTACTTGGCATATTGGCATTGGAGCGATTCTTAGCAGTTGGGATGTTAAACTATTGGATGGGTTACTTTTATTGGCATT
ATTAGGGAGATAAAACCAAGTGGCCCTTCCATTGTCAGGAAAGTGGTGGATTAGCCACATTCTGTAAGGTTATTACTTATGCGGTTTTTAAATTGCGCTACGTC
GGCATGGATGTTCTATTGGACATTGTTGGCTACTGGATTATGTTCTTAATTCTGGCTGGGATTGGCAGGAATTGAGTAAACTTACGCTGGGCTCATGAA
CTGGAGATAAAACCAAGTGGCCCTTCCATTGTCAGGAAAGTGGTGGATTAGCCACATTCTGTAAGGTTATTACTTATGCGGTTTTTAAATTGCGCTACGTC
TTCACTTGTGAGTGTGTTATTGTCAGGAAAGATCATTTCTGGGCTGGGAGAGGGGCCACCTTCTTATATTCTACATCTAGGATTCGACTTAATGAGACT
GAACCAATTGGCAAGGAAAG

GTTTGATTCA CGGGAGAAGAAGAGGCAAAGTTGGAACAGAAATATCATTGATTCTCGATCCTTAAAAAAAGAAATAAGCAAAGTCAGTCGTGAATGACAATGGAAAATTATAGAAAGTTACAATCCCTAC
CGCGAATAGTGCCTACACGCCATCGACGTGTTTGCACCGAGACCGACTAATTATCGAGACTTGGACTATCCGGACATATACTTCGTGAATGGTTATGCATGTTGCCAGGAGCAACAA
GATCAAGTTGGAATGATTAACCTTGATTTCTATTCTATGATCACCGATCATAGGGTCCCTTACCGATTCTGA

>0 [organism=Uncaria tomentosa] putative 26S ribosomal RNA gene

GC GGTTGAATCCTTGACAGCAATCGGAGCGACAAAGGGCTGAATCTAGAGGATCGTGGCAGCAAGGCCACTCTGCCCTTACAATACCCGTCGCGATTTAAGTCGTCGCAAAGGATTCAACCCGCCGCTCG
GTGGTAATTGTACTTCAAGGGGCCAACACGGCTTCTGCGCTGAGGGCTTGGCCAACGACAGTGCCCTGGGGCCAGGGGCCACTGCGGTCGCGCAAACGGGCCGCGCATGCGTCGCTCTAGCCCG
GATTCTGACTTAGAGGCCTTCAGTCATAATCCAGCGCACGGTAGCTTCGCGCCACTGGTTTCAACCAAGCGCAGTGACCAATTGCGAATCAACGGTCTCGTACTAGGGTAATTACTTGCACACTGT
CATCAGTAGGGTAAACAACTACCTGCTCACGAGGCTAAACCCAGCTCACGTTCCATTGGTGGGTGAACAATCCAACACTGGTGAATTCTGCTTCACAAATGATAGGAAGGCCACATGAAGGATCAAAAGC
AACGTCGCTATGAACGCTTGGCTCCACAAGCAGTTATCCCTGTTAACCTCTAGCTCAAATCCGAAGGCTAAAGGATCGTTAGGCCACGCTTCAGGTTCTGATTCTGACTGGAAATCAG
AATCAACGAGCTTTACCCCTCTGTTACAGAGATTCTGTTCTGAGCTCATCTAGGACACCTGCGTTATCTTAAACAGATGTCGCCCCAGGAAACTCCCAACTGACAAATGTCGCCCCGGAT
CGGCCGCCGAGGGCTTGGCTCAAAGAAGGGGAGAGCCCCGCTCGGATTCAAGGAATAAGTAAACAGTTAAAGTAGTGGTATTTCACCTTCGCTCCACTATCTACACCTCTCAAG
TCATTCACAAAGTCGACTAGAGTCACAGGGCTTCTTCCCCGCTGATTCTGCAAGCCGTTCCCTGGCTGTTCTGGCTGGTAGTAGACAGGGACAGTGGGAATCTGTTAATCCATTGCG
CGTCACATTAGATGACGAGGCATTGGCTACCTTAAGAGAGTCATAGTTACTCCCGCTTACCCCGCTTGGTGAATTCTTCACTTGACATTGACAGCAGTGGCAGAAATCACATTGCGTAGCATCCGC
AGGGACCATCGCAATGCTTGGTTAATTAAACAGTCGGATCCCCTGCGTACCGTTCTGAGTCAGTGGCAGCAGGGGGAGGGAGGGGGAGGGAGGGCTTCCAGTCCGCCCCGGCACGCCG
ACCCGCTCTGCCGGAGCAGCTGAGCAGTCGGCAGAGCCGACAGGGCTGGGACTGGGACCCCCGTCGGCAGCCCTCAGAGCCAATCTTCCCGAGGGTACGGATCCATTGCGACTTCCCTGCTAC
ATTGTTCCATGACCGAGGGCTGTTACCTGGAGACCTGATGCGTTATGAGTACGACGGGGCTGGACGGCAGTGGCTCTCCGGATTTCAGGGCCGCCGGGGCGCACCGACACCGCAGTGGGCT
CTTCCAGCGCTGGGCTTACCTCCGGTGAGCGTTTCCAGGGTGGCAGGCTGTTAACAGAAAAGATAACTCTCCGAGGCCCGCCGAGCTCCGACTCCCTAACGTTCCGTCAGCCACGTCG
TTCAAGGAAATTAAACCGATTCCCTCGGTGACCGCGAACAGCGCTATCTGCGGCTTCCCGAGGGTACGGATCGACTACCCATGCAAGTGGCCTCACATGGAACCTTCCCTCTGCCCTCAA
GTTCTATTGAATATTGCTACTACCACCAAGATCTGACCCGACGGCGCTCCGCCGGCTCGGCCCGAGGTTTGCAAGCAGGCCGCGCCCTCCTACTCATGGGCGCTGGACTGCCCCAGGGCG
TAGGTCGCGCCTGACGCCATCATTTGGGCTAGTTGATTGGCAGGTGAGTTTACACACTCTTAGCGATTGACTCCATGACCCGCTCTGCTGTTAACGACCAACACCTTGTGGTCT
AGGTTAGCGCGCAGTGGCACCGTAACCGGCTTCCGGTACCCGATCGCCAGTTCTGCTTACCAAAAGGAACTGGCCACTTGGAGCTTGTGATTCCGTCGGCGCTCAAGAAGCAGCCACGCCCTAC
TTAAAGTTGAGAATAGTCGAGGGCTGCGCCCGATGCCCTAATCATTGGCTTACCCGATAGAACCTGACCGAGCTCAGCTATCTGAGGGAAACTCGGAGGGAAACAGCTACTAGACGTTGATT
GTCTTCGCCCTATACCAAGTCAGACGAACGATTGACGTCAGTATCGCTGCGGCTCCACAGAGTTCTCTGGCTGCCCGCTCAGGCGATAGTACCATTTGGGCTCCGACAGGTATGCTCACAC
TCGAACCCCTCTAGAGATCAAGGTCGGCTGCCACCCCGAGGGGGATCCCGCAATCAGCTCTTGCGCTTACGGTTTACTCACCGTTACTGACACATGTCAGACTCCTGGTCTGTTACA
AGACGGCGAATGGGAGGCCGCTGGCAGCACGGAGCGCAGATGCCAGGGCAGGCCGCTGCCCGCCACGATCGAGGGAGGGCGCTCCACGGGATATCCACAAACCCGGCTTGGCCG
CGCCCCATCCGCGTGGTCCACGCCCGAGCCGATCGCGACGGCTGACGCCGTTCCACATACGACCCGGCGCATGCCGCCCCCATCGCTTCCCGACAATTCAAGCAGTCTTGA
AAAGCTTTCTATCTTCCCTCGCGTACTTGGTCTATCGGTCTCTGCCGTATTAGCCTTGGAGGAATTACCGCCGATTGGGCTGATTCCAAACACCCGACTGCCGACAGCGCTCGTGGCGA
CAGGGTCCGGGACGGGACTGTACCCCTCTCCGGTCCCGGATTCCAGGGAGTTGGCCCGTGGCTGAGGAGCAGCTCCAGGTACAATTGGAGGCGACGGGCCGATTCTAAGCTGGGCTGTC
CCGGTTCGCTGCCGTACTAGGGGAATCTGGTTAGTTCTCTCCGCTTATTGATATGCTTAAACTCAGGGGATACCCGCTGACCTGGGCTGCCGACTGCAACAGATCGCGACTAGG
GTCATCCATGGAGCGAAGACGACGGGACCGGACGACAACCGGACTCGAGTGGGCTTACCGGAGGACTCTGTTAGGCGGCCGAAACGGCACGGGAGGCA
ACATCCGCCGCCACAGATAGGTTGGGCGCGACGCGATGCGTACGCCAGGGAGCAGTGGCTGACGGCTAGGCGTAAAGACTCGATGGTACCGGATTCTGCAATTCAAC
AACTCGCATTCGCTACGTTCTCATGCGAGAGCGAGATATCCGTTGCCAGAGTCTGCGTAAAGAGGAGTCAGACAGGGCCACAGCACCCGAGTACCCGCTACGGGCATCGAG

>2741 [organism=Uncaria tomentosa] putative chloroplast sequence

CAAGAAGTTGATAAGAAGTTGCAAGAAGTTGACCCCCCTCTAATTTTGTATTGATTTGCTTGGACTTATATTAAATTAAATTGAAATTGATATGTTACAACCGAGAAAATTTC
GGGGGGGGGGTATTCGGTTCGGATCTGAAACGAATAGGTCAAGAGAGATGAGAGAATAGGATAACCCACTAGAAAGACTAACCCATAATGATGACGGAAATAACATTGTTACTTGACCAAC
CATCAGGAGAAGCAAATACAACGGGACGCTAATCAATAAGATTAAGAAGTAGCAATTAGTCGAAAAACAGCAATTGGAAGCAAGAGTCATGCTTTAATCTCCAATTACCAAAATGAATTATAC
ATCCCTCTATCAGCAAAAAAATTGTAATAAAATACATCATCGAGGGATTCTTACCATGAACCCATTGATTTATGACTTATTACGACCACTGTTACCCACCTATTGCTACATGGGTCAGGGAAATGGAATT
TTTTGTGAAATAAAAAAAATTGCTTCCGGAGAGGTGGCTGAGTGGTTGATAGCCCGGCTTGAAAACGGTATAGTTGAAACAAAGAAACTATCGAGGGTCAAGTCCCTCTCTCCCTTTGCTCATGAA
TAAAATAAAAATTGCTTCCGGAGAGGTGGCTGAGTGGTTGATAGCCCGGCTTGAAAACGGTATAGTTGAAACAAAGAAACTATCGAGGGTCAAGTCCCTCTCTCCCTTTGCTCATGAA
TCTTATTAGTTGCCGTACGGGTATCATAAACAGGAGAATGGCTGGCTATCCACCGAGGCCAACGGGAAAAAAATAGATTATAATGAGTTGAAAATACTTTAAATTAAATGACCGATCCCAA
ATGGATGATGGGATGAAAGGTATCCATTCAAGCATTTATCTCAATTAAAGAGGAGTCATGGAAAGGACAGGGTCAAACATCAGCATCAATTCCCTTTCAAATCCGCTGAGCTGACGCCCTCCAGCGT

GCCACAAATGACCTACAAAGAAGAAGAACCTAGAACAAAATGAGAGGTAGCTAACCAACTTAGGAGAGACATAATTAACTGCATTGATCTCGTAGCTACGCCACCCACGGATTAAAGAACCTAAAGGAGCATGAGTCATATTCGCGAACGCCCTCTGCCAAGGTTGATGCTTTTAACCTACTCAAGTCAAACCCATTGGACCTCTAGAGGTTCTAACCCAGGGAGCACGCTAGACCTCCAAACCCATTGTTCTGCC
CAAAATGACTTCTCGGTTGGGAACGCATTAGATATTACCTAAACCCGAGGCCCTGAGCGGATCCCACATTAGCCCCAAGACGTTGGCTCTAACCTAGAAAAGTAAAGCTGAGCTGAGAACGCTCTCCAGACCATAAGTGCCTCGAG
CAGTGGGTCGTAACACTCACTAGGATAAGCGTATTATTGAACCAAGAACAGCAACAAGCAGTGAACCCAAAGTGGCTAACACTATAAGATAAGTAAAGCTCTCCAGACCATAAGTGCCTCGAG
CCCCACCGAAGGGTTAGTTAAGATATGCCAGATTCCACCAAGTACAAATGGAACCTAACCAACATGCTCTCCGATTATATCTTCAAATCGTCCACACTAACATCCACCCCTCCAAAGGGCATT
GTAATAACCAAATATGATACCGGCTAAGAGTCAAGTGTAAATTCTTACATCTCCCCCTCCCGAGGCCAGGTATCATACAGCCCCAAATATAAGGCTTGAAACTAGAACAAAGCCTACATACCA
ACAAGATTAAGTGAATACCTAAATTGAGTCATTCTATCTTCACTACATAGCGAAGAATGAAAAGATTCTCAAGTGTCTCAGGACCCAGAAGTGCATGATAAAACCGCCAAGGCCAAACCGCC
AGGAAATTAAATGAAGTACTCCAGATACAAAGTATGGAAGGTATCTAAACTTCCCCCAGGACCTACCCCCAACCTAGAGTAGCTAGTTGGGAGATAAAATTACCTGTTCATACATAGGCTCTG
CGAAATGAGCTACTCAATAGGTCATTGCTCCGGCCCAGAATACGATTAACCCAGCATGGCTACATGAGCTCTAGTAATTACCGATAAATTGATAAGTCGGCATTCGGCCACCAAGCGAACCCGG
TTCTTGGTCAAGGACAGCTAAAGCTAAAGCTTAAAGAGCGTTCCACGTTGAGAACCTCTCAGGAAATAAGGTTTATGAGGCTGATCTTGAGGCGCATCCAGCAGAACCTCGTTAAGAGA
ATATTGGTATAAGAAAGTTCAATTCCGATCTCGCTGCGAATTCTGAGAACAGAAGTCATAGGCAGCTAGATTAGGCGACTACTCCAAGGACACTCATCCAAACCGGTTACCGGTACA
AATAACATAAAAGAATGTAACCAAGCTTATTGGAAAAGCAACCCCAAAGATTGGGACAAAGCGATTAGCCGATTGAATAAGTTCTCAGCTGAGTTGGGTAAGAACGCGGAATGTATTG
TCACCATCTCAAATAAGTATTCTACAGTAGCAGCATAGCAAAGCAGCGCCAAACACCAGCAACTCCATCATATGAAATGGTTCAATGTCAAATTGAAACCCCTGAAAAAAAGAGTATG
AATCGAAATATAGCTGCTACACAAAATAGGCCAAGAACCAACAGATTGACCTAGTGGATAAAATCGGAATAACAGAACAAAACGCCAATTGGAGCAGAGATGCGATTAAAGTCGCAATTG
GATCGAGCAAGTTCGAAATTGACGTAACATGAAACCTATTACCGAACAGTGGAGAGCAACAAAAGTCCACAGGCCACCTAATTGACACCAACGGGTAATCTCCTGCTCAGGACCCCATAGTAACAC
AAAGAATGTCATAACTATTAGCAGGAGTAGAACCGCGCAGTTAGAAATTGCAAGCTTCAAATAGGAACCTGCCCATTGAGCTACCCATGGTATACCATGAAAGTTACAAAGGTTGACCAACCCCTAAAGCG
AAATAGGCACAAGGGAAAGAGCAATAGCCGGACAGCCTACAAAACGAAACCGCTTCACTAGCATTGAAACCTCCATCAATATCAAATAACCGTCTTGGTAATTCAGGCTATAGTCAGT
CTCCTATTCAACTATTGACCATTTGGAGCACCTCATAGCATTTGGGGCTTGGAGATTGATCATTCTGTATGATTCTCTGACTGCCCCACCCATGCAATTGGTTGAAGATAAAACCCCTAT
TGGCCATAACTCGCTTAGATAACTAAATTATTATTCTACTTAGTAAAGTATATGAAACCTCGAATTGCTTCTATGACCCATCAATGAGGATAGATGAAATATCTTCAAAGAAACT
ACAATCAATCCCCTCTCACTCCCAATGATCCTCAGACCTAACCCCCCTTGTCCATTAAATTATGTTAGCTGTTCATGAGGATTGAGAAAAGAAAGATATTATAAATTCTTTAAATAAATT
AAAGTATTATTATTAAATTCTTTCAATTAGCTTAGTTGTTAGTTCTCTCAGATAAAATCTAAACTCTGCAAAAGAAAAGCGAGAATTTTATTCTAAATTCA
TAAAATAAAATAGTGGAGACTAAAATGAAAGTATCTACACTTCAAAAGAAAATCGATGCAAAACATTGGTACATGAAGTCACCATGATAGATATACTAACATACTTATAGATAG
AAAGTAATCTGATCTATAATCAAGAGAGAGTGGAAATGGCTCTTATGACTGAAAGAACCTTCCCTGTGAAGGAACAGAACAGATTATTCTATAATAAATATAGAAAATCTAGGAACAAAGA
AGATTAATCGGAAATATCGACAAATTCTGCGAAGTCACAAAAAAATGAAATAAAAAAAAGATCAACTCTTCA

>843 [organism=*Uncaria tomentosa*] putative 26S ribosomal RNA gene, mitochondrial

GGATGCCGGGCATTGAGAAGGAAGGACGCTTCAGAGCGAAAGGCCATGGGAGATACCGTCTGTGATCCATGGATCTCGATCGGAAACCGTATCCAAGCTCCGTGGTAGTCTGCCTCTTGGACTTTCAA
ACTTAGCGAACTGAAACATCTGAGTAGCTAAAGGAAGGGAAATCACCGAGACCCGTTAGTAGCGGGAGAGCGGATTGGGGTTTGAAGAAAACACGAAGCTCGTCTCTCTTTAGCG
TACTCGTCTCTACCTCGTGTACTATTCTCGGAGGTTCTCGATTGTTGAGATTGGATGGAAACCCAGCAAGCTACGGCTCAAAGCTTACCTTATTATGAAAAGGAAAGGGCTTT
TATAGAAAGAGAGGTGAGTAAGGGGGGGCTGAAGAGCGAAGCGAGCCGCTAGCTATTACGTTTCTCAGCAGCAAGCTACGGCTAACGACCCCTAGTAGGTTGGGCAAAGCTCAAACACTAGGTT
CAAACCTTTAAATAATAAGGTAAGCTTCAAGCCTTCTTACTAGAAAAGCGCAGTGAACCTGAATTGAAAGATTGGAAGATCTGGCAAAGAGGTGATAGCCCTGAGATTG
GTTGATCCTCCAGTAAACCGACGTGTTGAATTCTGATCGTTTACCGAGAAAAGGGGACCCCTCTAAGCCTAACGATATTCTCAATGACCGTACAGTACCGTGGAGGGAAAGGTGAAAAGAAC
CCTATTAGGGAGTGAATAGAACCTGAGATCCGATGCGAACATCAGCGAAGGAGCGGAGCTTAGGCCTGACTTCTATTAGTAAAGCGCACTCACTAACGGCTACCTTTCGATGGTCA
GAGAACATGGGAGAGCGCTTAAGCATTAGGTGAGGCCCTTCAGAGGTGAATCTCTAGTTCTCTATTGACCCGAACCGATCGATCTAGCCATGAGCAGGTTGAAGAGAGCTCTAACGGCTTGGAGGAC
CGAACCCACGTTGAGGCAAAATACGGGATGACTGTGGCTAGGGTGAAGGCCAACCAAGATCGATATAGCTGTTCTCGCGAAATCTATTCACTAGTAGAGCGTATGTCGATGCCGAGGTAGAGCACTC
AAATGGCTAGGGGGCCCAATTGCGCTTACCAACCCCAAGGAAACTCCGAAACAGCCCTAGATCGTTGATCAGACAGACTTTGGGTGAAGATCCAAAGTCGAGAGGGAAACAGCCAGATCGCT
GTCCTAAAGCAATCACTAGTGGAAAAGGAAGTGTGAGCGATGACAACCCAGGGAGGGCTTGGAGCGAACCCATCTTGAAGAAAGCGTAATAGCTACGGTCTAGCTCATGGC
TCAAGTGTGATTCAACCGAAGCGACGAGACCTTGAAGCTGCTTCTCAAGTGTCACTAGCGGAACGTTCTGCAATCGAGAACGGTTTTGGTGAAGACCTGGAGATATCAGAAGT
AGAAATCCTGTGAAAACACGATCGCTGCCAGTGGAAAGGTTTCTGCGCTAGTCATCTACGCAAGTGAATCGTCTCTAACCGAAGGCCGAAAGGGCTCCGATGGTACACGAAAGTG
TTGACTACAGAACCATGCGCTGTGTTGGAGCGAATTGGATGATCGGGCCAGGGCTCCCCCTCTCCCTCACTCTCTTCAATATGAAACCTTGAGTCATCAAAGCTTCTG
CCCTACACGACTGGCGCTTCAAAAGCGAAACTCTCGCGTAGTTGGCGACCTATCTCACTAGGGCTTAGCTTGTGATTAGAGTAGGGTGGAGAGAGCAGAGCGTACCGCC
TGTGAGGAGAACCATGCGAAGGAACCGTAACCGGAAATTGGGAGGGCGACTCCCGGTGAACGTGACCGTACCCAAACCGACACAGGTGACAAGTAGAGTACTAGGGC
GCTTGAGGAGAACCATGCGAAGGAACCTCGGACAAATTGGGAGGAAGGGT

>4550 [organism=Uncaria tomentosa] putative psaA-psbB fragment, chloroplast

CCAGTATCTAATAAGTTTTGACTCACCTCTTTTATTCTATTGTATTTGATCTTGCTATTCATTTTAATTAGTTACATCAAAGTTGATTTGCTGATGGTATTGATTTTATTCACTTAAAGCAAAATAGGGTTGAAACAGGATTATTCAACATACCAACTAGTTAGAATCAAACCGCATTGATAGCCTCTACTCGTGCCTAGCTCGAAGAGCTAGATTGCTCAATTGTTGCTCTTCAGCTTTTCAAATTAGCTCCGCTATTCAAGAGTTGAGCTTGTGGATCAATGTCACTACCCCTCTCCGCCTATTACTAAACAGTGAATTGCTATTGCTATTCTAGCAAACACCACCATCAAAGCCA TCGTTAACCATGGTCTTAAGCCGATTCTCAAATACCTATATCTACAGCTGTGCCAATAGGGCATGGTTGGTAATACGCCAATTGACCACTATTAGTAGATAAAAATTATTCTTCACTTCTGAATCCCCAA CAATTGATTAGGGTCAGTACACAAAGATTAAAGGTCTTCAAATTGTTCTCCATTCTAAGTTCAAGTCTCATGCCCTCGCGTAGCTCGATATTACCTACCAAATAAAAGGCCCTGTCAGGAAGACCGCTAA TTCTCCGAAAGGATCAATTGAAATCCTCTAATTGTTCTGCTAGACCAACATATTCCCGGAGAACCGTAATACTCTGCTACGAAAAGGGTTGATAGAAACAGCTCAATTTCGCGCTCGTACGGTTAACAGATCCTCTCGGATAATTCTGTAACCCAAGGATAGCTATAUTGCTCTGAAGTCTTGTAAACTCTTGCGCAGTTCTCATATGTTCTCACCAACAAATCGGAGGTGAAGCATGGTGAATGTTGAATTAAGGATCTAGCTGGATAGATACCTTGGCAGCTAATCTTGTAGTACGGTAGTACGCATCAAATGTCAGGCCAGGGTCGGTAAATCGCTGAGGTACATA AACTGCTTGAATAGAAGTTAGGACCTCTTGGTGAAGATAATCCTTGTAAAGTACCCATTGGTACTCAGGGGGTTGGTAGCCCACAGCAGAAGGCATTCTACCAATAAGGCCAGACTCGGATCC TGCTTGACGAAACGGAAAATTGTCGATAAATAGAAGTACGTCTGGTCTTAACATCTCGGAATATTCCGCCATAGTTAGGGCAGTCAAACCAACTCTCATACGAGCTCTGGCGTTCATCTGACCGTA AACTAGAGCCACTTTGATTCTGCAATATTCTCTCATTAACCCCAGATTCTTCCATGTAAAGATCATTCTCGGAGTCGGTACCCACTCGCCAAATACGGATACGCCCCGTGAGCTTGGC AATATTGTTAATCCTCATAATGAGTACTGTTTACCCACCCCGCTCCCCGAAGAGTCTTATTCTCCACGGGATAAGGGCTAAAGAGTCTACTTAAATCCGTTTCAAAATGGATAATTGTT ATCTAACTGTATAAAGGCGGGCGAGATCTATGAATAGGAGATGTTGAGTATCTACAGGACCTAAATTACAGGCTCTCAACAGGCTTGGTAGAAATTGCTCCACCTACGGAAACGCTTAG AGGAGCTCTGTGTCATCCTTCATTCTCTCATTAGACCATCTGAGCACTCATAGCTACAGCTCTAGTACGGGAGTATTCTTAATAATTGCTGTACCTCACAAGTTACATTGATGACCAACAGTATCTG ACCTTAACTACTAGGGCGTATAAATATTAGGCATCTGGCCGGGAAAGCTGCATCTAGTACGGGACCGATGATTGGACATAACGCCAGGTTTTTCAAGCTGGAAACCCAGAACAGAGTAGT AGGATTATTCTCATATAATTAAAGAAAATATGTAATTGCAAATTGCGAAATTCTTCTTATTCAACCAATTGAAATTCAATCAACCTATTTCAAATTCAAGTGGATGACTAAGAATGTTCTTCAATTGCTATATAGACA ATCCCATCTATATTATATTCTATGGAACACCTGAACCCATTACGATTCTAGCCATTGGATTCTTTATTAGCATATCGATACGCCATCTTTTATTTAGCATATCGATACGCCATCTTTTATTTCTTTTATTTCTTTTATACCCCTTCATAGACGAATTCTG

>2 [organism=Uncaria tomentosa] putative 18S rRNA gene

GCACGTATTAGCTCTAGAATTACCTGGTGATCCTGCCAGTAGTCATGCTCTCAAAGATTAAGCCATGCATGTGAAGTATGAACTAATTCAAGACTGTGAAACTGCGAATGGCTCATTAAATCAGTTATAGTT TGTTGATGGTACCTGCTACTCGATAACCGTAGTAATTCTAGAGCTATACGTGAAACAAACCCGACTCTGGAGGGATGCATTATTAGATAAAAGGTCAGCGGGCTCTGCCGTTGCGATGATTCTG ATAACTCGACGGATCGCACGCCCTGTGCCGGCAGCAGCATATTCAAATTCTGCCCTATCAACTTCTGATGGTAGGGATAGGGGCTACCATGGTGGTAGGGAGAATTAGGGTCATTCCGGAGAGGG AGCTGAGAAACGGTACCCACATCAAGGAAGGCAGCAGGGCGCAAATTACCAATCTGACACGGGGAGTAGTACAAATAACAATACGGGCTCTCGAGTCTGTAATTGGAATGAGTACAATCTAAATC CCTTAACGAGGATCCATTGGAGGGCAAGTCTGGTGCAGCAGCCGCGTAATTCCAGCTCAATAGCTTAAAGGTTGCGAGTAAAGCTCGTAGTGGACTTGGATGGCCGGTCCGCTACGG TGTCACCGGTCGTTGTCCTCTGCCGCGATGCGCTCTGGCCTTAACTGGCCGGTCTGCGCTCCGGCGTGTACTTGAGAAATTAGAGTGTCAAGCAGCTCGTCTGGATACATTAGCATGGGA TAACATTATAGGATTGGTCCTTACGTTGCCCTCGGGATCGGAGTAATGATTAACAGGGACAGTCGGGGCATTGCTATTCTCATAGTCAGAGGTGAAATTCTGGATTATGAAAGACGAACACTCGAAGC ATTTGCGAAGGATGTTCTTACGAAACGAAAGTTGGGGCTGAGACGATCAGATACCGTCTAGTCTCAACCATAAACGATGCGGACAGGGATCGGGATGTTGCTTAAGGACTCCGGCCGACCTTA TGAGAAATCAAAGTTTGGGTTCCGGGGGGAGTAGTGGTGCAGGCTAAAGGATTGACCGAAGGGACCACCCAGGAGTAGGACCTGGCGCTGGCTTAATTGACCAACACGGGAAACTTACCAAGGTCCAGA CATAGTAAGGATTGACAGACTGAGAGCTTTCTGATTCTATGGGTTGGTGCATGCCGTTCTTGTGGTGGAGCGATTGCTGGTTAATTGCGTTAACGAACGAGACCTCAGCTGCTAACTAGCTATCGGG AGAACACTCTCCGCGACTGCTCTTAGAGGGACTACGCCCTTAAAGGCCGGAAGTTGAGGCAATAACAGGTCTGTGATGCCCTTAGATGTTCTGGGCCACGCGCGTACACTGATGTTACACGAGTCTAT AGCCTTGGCCGACAGGGCGGGTAATCTTGAATTGCGATGGGGATAGATCATTGCAATTGTTGCTTCAACAGGAAATTCTCTAGTAAGCGCGAGTCAGCTCGCTGACTACGTCCTGCCCTTGT ACACACCGCCCGCTCTACCGATTGAATGGTCCGGTGAAGTGTCCGGATCGCGGACGCGAGCGGGTCTGCTGCCGCGACGTCGCGAGAAGTCCACTGAACCTTATCATTTAGAGGAAGGAGAAGTCGTAACAA GGTTCCGTAGGTGAACCTGCCAGGATCATTGCAATCTGCCAACGCACGCCGAACCTGTGTGAACAATCGGGCGTCGGCGTAAAGGGAGACTAAGCCCTCATTCCACCCCGGTTCCCGCGCT TGTCGCGCGAAAACGTAACCAACCCGGCGCGAACGCCAACGAAACTCAATAGGACAGCCGGCCCTGATGCCCGTACCGGGTGTGCTGGGCCGCTGTCGTAACCAA